



T.C.  
BAYINDIRLIK ve İSKÂN BAKANLIĞI  
AFET İŞLERİ GENEL MÜDÜRLÜĞÜ  
DEPREM ARAŞTIRMA DAİRESİ

**DEPREM  
ARAŞTIRMA  
"BÜLTENİ"**

**25**



## Deprem Araştırma Bülteni (DAB)

Bulletin of Earthquake Research  
( Bull. Earthq. Res. )



Nisan [April] / 1979  
Cilt [Volume]: 6

# Sayı [Issue]: 25

Bayındırlık ve İskân Bakanlığı [Ministry of Public Works and Settlement]  
Afet İşleri Genel Müdürlüğü [General Directorate of Disaster Affairs]  
Deprem Dairesi Başkanlığı [Directorate of Earthquake Research]

## ARAŞTIRMA [RESEARCH]

Büyük Menderes Alçalımı ile Menderes Masifi Yükseliminin Sınırını Oluşturan Kuşağa Uygulanan Bir Deprem Öncesi Çalışması [A Pre-Earthquake Study Applied to the Belt Forming the Boundary of Büyük Menderes Graben and Menderes Massif Horst]

Selçuk SİPAHİOĞLU ..... 5-27

## ARAŞTIRMA [RESEARCH]

Batı Anadolu için Geliştirilmiş Deprem Büyüklüğü-Şiddet-Uzaklık İlişkisi [Developed Earthquake Magnitude-Intensity-Distance Relationship for Western Anatolia]

Demir KOLÇAK, Selçuk SİPAHİOĞLU ..... 28-47

## ARAŞTIRMA [RESEARCH]

Tsunami (Deniz Taşması) ve Türkiye Kıyılarını Etkilemiş Tsunamiler [Tsunami and Tsunamis Affecting Turkish Coasts]

Hüseyin SOYSAL ..... 48-56

## ARAŞTIRMA [RESEARCH]

Depremle İlgili Zaman Parametrelerinin Elde Edilmesinde Kullanılan Laboratuvar Deneyleri [Laboratory Experiments Used to Obtain Earthquake-Related Time Parameters]

Kemal ÖZÜDOĞRU ..... 57-69

**DEPREM  
ARASTIRMA  
ENSTITUSU  
BULTEMI**

**25**

# **DEPREM ARASTIRMA ENSTITUSU BULTENI**

# **25**

## **DEPREM ARAŞTIRMA ENSTİTÜSÜ BÜLTENİ**



**Üç Ayda Bir Yayınlanan  
Bilim ve Meslek Dergisi**



**Sahibi**

**İmar ve İskan Bakanlığı adına  
Oktay Ergünay**

**Deprem Araşturma Enstitüsü Başkanı**



**Yazılı İşleri Müdürü**

**Aysel Özil**

**Deprem Araştırma Enstitüsü  
Yayın ve Dökümantasyon Müdürü**



**Vönetim Yeri ve Yazışma Adresi**

**Deprem Araştırma Enstitüsü  
Başkanlığı Yüksel Cadde No. : 7/B**



**Yenisehir/ANKARA**

**Telefon : 18 66 29 — 17 69 55**



**Baylan Matbaası 30 24 87 — 30 24 93**



**İlânlar pazarlığa tabidir.**

## **Deprem Araştırma Enstitüsü Bülteni**

**YIL : 6**

**SAYI : 25**

**NİSAN : 1979**

### **BU SAYIDA**

Büyük Menderes Alçalımı ile Menderes Mafisi Yükseliminin Sınırını Oluşturan Kuşağa Uygulanan Bir Deprem Öncesi Çalışması .....

**Selçuk SİPAHİOĞLU**

Batı Anadolu İçin Geliştirilmiş Deprem Büyüklüğü-Siddet-Uzaklık İlişkisi .....

**Demir KOLÇAK**  
**Selçuk SİPAHİOĞLU**

Tsunami ve Türkiye Kıyılarını Etkilemis Tsunamiler .....

**Hüseyin SOYSAL**

Depremle İlgili Zaman Parametrelerinin Elde Edilmesinde Kullanılan Laboratuvar Deneysleri .....

**Kemal ÖZÜDOĞRU**

sayıda gerçekleşen depremler, 1900'ye kadar olan tarihi depremler ve 1900'den sonra gerçekleşen depremler olmak üzere üç kategoriye ayrılmaktadır.

## BÜYÜK MENDERES ALÇALIMI İLE MENDERES MASİFİ YÜKSELİMİNİN SINİRİNİ OLUŞTURAN KUŞAĞA UYGULANAN BİR DEPREM ÖNCESİ ÇALIŞMASI

Selçuk SİPAHİOĞLU (\*)

### ABSTRACT

This is a pre-earthquake study carried out for the boundary between the uplifted Menderes Massive and the subsided Büyükk Menderes River Valley. With this work, it has been tried to define the future seismic activity along the mentioned zone using geological and geophysical data obtained and/or gathered especially for the study.

The results obtained from this research were outlined as follow :

- i) In the catalogues, there were 28 historical earthquakes occurred before 1900 for the studied area. But, the 14 historical earthquakes were added to the formers by obtaining data from the new sources. Therefore, their total number, increasing 50 %, reached up to 42.
- ii) This study also brought some additional descriptions for the historical earthquakes which were given in the catalogues.
- iii) The seismotectonic character of the studied area was outlined as follow :
  - a. The boundary between the uplifted Menderes Massive and the subsided Büyükk Menderes River Valley is the candidate for a higher seismic activity in the future. Because, it is a zone in which the contrast tectonic movements take place in the present as it was generated in its past continuously.
  - b. Earthquakes, occurred in the past along this zone having greater intensity values than VIII or magnitute above 6.0, are related with the large surface faultings.

(\*) İstanbul Üniversitesi Yerbilimleri Fakültesi Jeofizik Mühendisliği Bölümü

- c. These surface faults generally show same peculiarities of Quaternary displacements.
  - d. Earthquakes which have occurred within this zone, are shallow and their depths of hypocenter generally vary from 0 to 60 kilometers.
  - e. Large earthquakes occurred within this zone, are related with either the faults which were formed before the events or a new segment were originated by each of large earthquakes.
  - f. Instrumental data of the earthquakes, occurred between 1913 and 1970, show that most of the were originated in the depths of hypocentral levels of 40, 0, 10, 30 km respectively.
  - g. This zone will probably show same seismicity pattern in the future as it has shown in its historical times. Because, there isn't any distinctive evidence about the changing in its tectonic regime of its past.
- iv) None of the historical and instrumental epicenter distribution for the studied area is available to define the current trends of faults. Therefore, geological data must be used necessarily to evaluate the future seismic activity.

## ÖZET

Bu araştırma, Büyük Menderes Alçalımı ile Menderes Masifi Yükselimi'nin sınırını oluşturan kuşağa uygulanan, bir deprem öncesi çalışmasına yönelik bulunmaktadır. Geçmişin jeoloji ve jeofizik verilerini kullanarak geleceğin deprem etkinliğini belirlemek amacıyla yapılmıştır.

### Yapılan bu araştırmaya :

- i) Bölgenin tarihsel depremlerinin sayısı, bugün kataloglarda var olanların % 50'si kadar artmıştır.
- ii) Bugün kataloglarda var olan depremlere ait daha ayrıntılı bilgiler elde edilmiştir.
- iii) Gerek tarihsel dönem (1900 öncesi) depremlerine ait gözlemler, gerekse aletsel dönemde (1900 sonrası) depremlerine ait aletsel verilere dayanan dış merkez dağılımlarının, bugün var olan faylanma ların konumlarını tanımlamaya yeterli olmadığı saptanmıştır. Bu nedenle, bölgenin gelecekteki deprem etkinliğini öğrenebilmek için, jeoloji verilerinin de kullanılmasının, gerekli, olduğu yargısına varılmıştır.
- iv) Bölgenin sismotektonik özellikleri belirlenmiştir.

## **1. GİRİŞ**

Dünyanın belirli deprem kuşaklarından biri üzerinde yer alan ülkemiz, hemen her yıl oluşan şiddetli bir depremle büyük mal ve can kaybına uğramaktadır. Son elli yılda, ülkemizde meydana gelen yirmi yıkıcı deprem, en az 50.000 kişinin ölümüne, 125.000 kişinin yaralanmasına ve 315.000'den fazla binanın yıkılmasına neden olmuştur. (M.J. Duard, 1975). Bu demektir ki yılda ortalama 2.500 kişi hayatlarını kaybetmekte, 6.300 ev de hasar görmekte veya yıkılmaktadır. Konuya bir başka yönden bakıldığında, aynı büyüklükteki depremlerin neden olduğu can ve mal kayıplarının, ülkemizin gelmişmişlik durumlarıyla da ilgili olduğu görülmektedir. Bu durum, ülkemizin doğusu ile batısı için bile söz konusu olabilecek bir özelliktir.

Gelişmiş ülkelerde can kaybının az olması, bir taraftan modern kurtarma ve acil yardım tekniklerine bağlanırken diğer taraftan da, deprem öncesi yapılan ve jeofizik - jeoloji kökenli çalışmaların yaygın olarak sürdürülmesi nediniyedir.

Ülkemizde bugün, maalesef, modern kurtarma ve acil yardım teknikleri beklenen düzeyde olmayıp, önemi bilinmekte birlikte, deprem öncesi çalışmalarına da gerekli ilgi gösterilmemektedir. Başka bir deyişle, hem jeoloji hem de jeofiziğin ilgili konularını içermek üzere, bugüne kadar yapılan çalışmaların sayısı, ne yazık ki çok azdır. Eğer ülkemizde, depremlerin getirdiği can ve mal kayıplarını en aza indirmek istiyorsak, yerbilimcileri olarak, uygulamaya dönük ürünlerimizi, biran önce, yararlanmaya sunmak zorunluluğundayız.

### **1.1. DEPREM ÖNCESİ ÇALIŞMALARININ NİTELİKLERİ**

Depremlerin neden olduğu can ve mal kayıplarını en aza indirme yolunda, yerbilimcilerin yapmakta olduğu çalışmalar, gelecekte oluşacak herhangi bir depremin;

- i) **Yerini,**
- ii) **Büyükluğunünü,**
- iii) **Zamanını**

saptamaya yönelik bulummaktadır. Bu nedenle, bir bölgenin neresinde, ne büyüklükte ve ne zaman deprem olabileceğini saptamak için yapılan, jeoloji-jeofizik kökenli her çalışma, bir deprem öncesi çalışması demektir.

Bugün elimizde, 1900'lerden bu yana, giderek daha da modernleştirilen, son derecede duyarlı deprem kayıt aletleri vardır. Fakat bunlardan elde edilen verilerle, yakın bir geçmiş kapsadıkları için, geleceğin depremlerini belirlemeye, yeterli ve güvenilir sonuçlara varma olasılığı azdır. Bu aletsel deprem verilerini, tarihsel (1900'den önceye ait) deprem verileriyle pekiştirmek yararlıysa da her bölge için, büyük bir geçmiş kapsayan kayıtları elde etmek, her zaman, olanaklı olamamaktadır.

Paleontolojik, jeokronolojik ve diğer yöntemleriyle, milyonlarca yıllık bir oluşum geçmişini yansıtabilen jeoloji de, bugün tek başına, geleceğin depremlerini, nicek değerler ölçüsünde, belirleme olanağına sahip değildir.

O halde, yukarıda sıralanan ve daha da çoğaltılmış olanaklı olan bu veri kaynakları yani jeoloji ve jeofizik kökenli veriler, bir yerin gelecekteki deprem etkinliğini belirlemeye, dolayısıyla deprem kayıp ve zararlarını en az indirme çalışmalarında, birlikte kullanılmalı ya da birbirleriyle pekiştirilmeli dir. Yalnız jeoloji ya da jeofizik konularıyla ilgili olarak yapılan çalışmaların ne denli yaniltıcı sonuçlar getirebileceğini, ülkemizden bir örnekle sunmayı yararlı buluyorum.

Sakarya Nehri ile Van gölü arasındaki bölümü yaklaşık 1150 km'yi bulan Kuzey Anadolu Fayının (KAF) geçtiği yerlerde, elimizdeki kataloglara göre, magnitüdü 5.5 ve daha büyük olan yıkıcı depremler (Liste 1), 1900'lerden başlayan aletsel döneminin 1939'dan sonraki ikinci 40 yıllık kısmında meydana gelmişlerdir. Büyük magnitüdü yıkıcı depremler yönünden, sakin geçtiği kabul edilebilen ilk 40 yılın sonunda fakat 1939 Erzincan depreminden önce, bir araştıracı, birinci 40 yılın aletsel verilerine dayanarak, geleceğin depremlerini belirlemek için bir çalışma yapsayıdı, ikinci 40 yılın da sakin gececeği sonucuna varabilecekti. Oysa, ikinci 40 yılda yani 1939'dan günümüze dek, adı geçen kusakta 9 yıkıcı deprem meydana geldi.

Bu örnekteki gibi bir yanlışlığa düşmemek için, aletsel deprem verilerinin yanında, tarihsel deprem verilerini de araştırma, değerlendirme ve bunları geleceğin depremlerini belirlemeye çalışmalarında kullanma zorunluluğu, kendiliğinden ortaya çıkmış oluyor. Tarihsel kaynakları son derecede bol olan ülkemizde, tarihsel depremlerle ilgili çalışmalar, henüz sonuçlanmış değildir. Tarihsel depremler için her geçen gün yeni kaynaklar bulunmakta ve bunların sayları, yeni oluşan depremler gibi, hızla artmaktadır. O halde, geleceğin depremlerini belirlemeye, aletsel ve tarihsel deprem verileri yanında, başka verilerin de araştırılması gerekmektedir.

Bugün, biliyoruz ki depremlerin büyük bir yoğunluğu, yerkabuğunun sürekli olmayan tektonik gelişimine paralel olarak olmaktadır. Bunun sonucu

TARİH	ADI	MAGNİTÜD	FAY BOYU (km)	GÖZLENEN MAKSİMUM YATAY ATIM (m)
27.12.1939	Erzincan Depremi	7.9	340	3.70
20.12.1942	Erbaa-Niksar Depremi	7.0	40	1.75
27. 11. 1943	Kastamonu-Samsun Depremi	7.2	280	1.50
1. 2. 1944	Bolu-Gerede Depremi	7.2	160	3.50
31. 5. 1946	Varto-Üstükran Depremi	5.7	30	?
13. 8. 1951	Kurşunlu Depremi	6.9	12	?
26. 5. 1957	Abant Depremi	7.1	40	1.60
19. 8. 1966	Varto Depremi	6.9	?	?
22. 7. 1967	Adapazarı-Mudurnu Vadisi Depremi	7.2	60 (80)	1.90

Liste 1. Kuzey Anadolu Fayı boyunca 1939 yılından sonra oluşmuş yıkıcı depremler. Listedeki magnitüd değerleri E.Alsan, L.Tezuçan, M.Bath (1975)'den ve fay boyalarıyla gözlenen maksimum yatay atım değerleri İ.Ketin (1969)'dan alınmıştır.

olarak, deprem dişmerkezlerinin dağılımlarıyla faylanmalar arasında birtakım ilişkiler şekillenmektedir. Örneğin, her yıkıcı depremde bir faylanmanın gözlenmesi ya da bu tip depremlerin, var olan bazı fayların genglemeleriyle ilgili bulunmaları gibi. Öyleyse, depremleri oluşturan ve yüzeyin biçimsel görünümüne, büyüklükleri oranında, birtakım değişiklikler getiren tektonik gelişimin incelemesine, büyük bir önem verilmelidir.

Günümüzün tektonik etkinliği, kuvaterner ile başlayan ve halâ devam eden gelişimin bir parçası olduğundan, geleceğin deprem etkinliği de büyük bir olasılıkla kuvaterner yedi faylarla, daha eski fakat kuvaternerde genglemiş faylar boyunca olacak olacaktır. Bu nedenle, geleceğin depremlerini belirlemek, dolayısıyla deprem kayıp ve zararlarını en aza indirmek istiyorsak, öncelikle, ülkemizin kuvaterner tektonik gelişimiyle ilgilenmek, bu geilimi iyi tanımak ve tanımlamak zorundayız.

Geçmişte olumlu depremlerin dişmerkez dağılımı ve söz konusu depremlerle birlikte meydana gelen faylanmalar, tanımlamanın temelini oluşturmak tadırlar. Faylanmaların yapı taşları olan deprem dişmerkezlerinin gerçek dağılımını ortaya koymak için günümüzden geriye, olabildiğince uzun bir geçmişe inebilen ve standart ölçülerde hazırlanmış deprem kataloglarına gereksinim duyulmaktadır. Çünkü, gelecekte, üzerinde etkinlik olabileceğine karar verebileceğimiz fayları tanımlamak ve onlar için Fay Haritaları (strip map) yapabilmek, ilk aşamada, ancak, oluşlarıyla büyük kayıplara neden olmuş depremlerin büyüklik ve dişmerkezlerinin bilinmesiyle olanaklı olabilmektedir.

Ülkemizin depremlerden zarar görmüş bölgelerinin tümü hakkında, aynı açıklıkta tarihsel bilgilere sahip değiliz. Fakat uzun bir geçmişle ilgili ve oldukça zengin bilgiler sahip olduğumuz bölgelerde, depremlerin dişmerkez dağılımlarıyla faylanmalar arasında kurabileceğimiz ilişkiler ve bu faylanmaların fizyografik özellikleri, tarihsel geçmişleri karanlık olan başka bölgelerdeki aynı fizyografik özellikleri gösteren faylanmaların, gelecek için ne denli tehlilikli olabileceğini anlamada, bize büyük yararlar sağlayacaktır.

Bu araştırma, geçmişte alt deprem verileri elverişli olan veya ek çaba göstererek kolayca elverişli duruma gelebilecek bir bölgenin, gelecekteki deprem etkinliğini belirlemeye yönelik bulunacaktır. Bu nitelikteki bölgelerin, ya da büyük etkinlikler göstermiş fay kusaklarının öncelikle inceleme, bunlardan elde edilecek sonuçların, deprem verileri elverişli olmayan bölge veya fay kusaklarına uygulanması; deprem öncesi çalışmalarının amacını oluşturmaktadır.

## 1.2. UYGULANAN YÖNTEM

İlk aşamada, elimizdeki tüm kataloglardan yararlanarak, seçilen bölgenin, aletsel ve tarihsel deprem verileri çıkarıldı. Bundan sonra, tarihsel kaynaklardan, tarihsel dönem depremlerine ait verilerin cogaltılp cogaltılamayacağı araştırıldı. Daha sonraki aşamalarda ise, hava fotoğraflarıyla bölge için yapılmış önceki jeolojik ve jeofizik araştırmalar incelendi. Çalışma bölgesinde yer alan her yerleşim merkezi, tek tek dolasılarak, buralarda oturan yerli-yedi kişilerin depremler ve bunlara bağlı olarak meydana gelen faylanmalarla ilgili gözlemleri elde edildi. Bu gözlem sonuçları, sahada jeolojik özellikleri izlenen faylanmanın belirlenmesinde kullanıldı.

Tüm bu aşamalardaki çalışmalar, jeoloji ve jeofiziğin, bilinen, geleneksel yöntemlerinin uygulanmasıyla sürdürüldü.

## **2. BÜYÜK MENDERES ALÇALIMININ KUZEY SINIRINA UYGULANAN BİR DEPREM ÖNCESİ ÇALIŞMASI**

### **2.1 BÖLGENİN SEÇİM ÖLÇÜTLERİ**

Geçmişin deprem etkinliğini değerlendirip, bir ölçüde, geleceğin, depremlerini ve sismotektonik özelliklerini belirlemek amacıyla, bu çalışma için, Batı Anadolu'da Büyük Menderes Alçalının Kuzey sınırı seçildi. Burası, ilerde de değinileceğ gibi, kuvâterne yer değiştirmelerine sahip ve sunuda "Aydın - Nazilli Fay" olarak geçecek fayın oluşturduğu doğal bir sınır kusağıdır. Söz konusu fay (ya da fay sistemi), yükselmekte olan Menderes Masifi ile alçalan Büyük Menderes Vadisi arasında yer alarak, hem yaşadığımız yüzyılda hem de daha önceleri, şiddetli depremlerin meydana geldiği (Liste 2, 3 ve 4'e bakınız) ve gelecekte de bu nitelikteki depremleri üretme olasılığı bulunan bir fay özelliklerini taşımaktadır.

Bu nedenleki, içinden adı geçen fayın geçtiği ve Doğu-Batı doğrultusunda ise 5-10 kilometre uzunluğunda olan bir saha, bu çalışmaya konu olarak seçildi.

### **2.2 BÖLGENİN DEPREMSELLİĞİNİ BELİRLEYEN ÖGELER**

#### **2.2.1 TARİHSEL DEPREM VERİLERİ**

Bölgede, 1900'den önce oluşmuş tarihsel depremleri belirlemek için, bugün elimizde var olan kataloglarla İl tarihçileri, Osmanlı kaynakları ve seyahatnamelere başvuruldu.

Çalışmaya başlamadan önce, yayınlanmış deprem kataloglarında, bölgede oluşmuş 28 tarihsel depreme ait bilgi vardı. Yapılan kaynak araştırmasıyla,  $37^{\circ}50-38^{\circ}50$  K enlemiyle  $27^{\circ}-29^{\circ}$ D boylamlarının sınırladığı bir alanda M.O. 1400 - M.S. 1908 yılları arasındaki 3308 yıllık sürede oluşmuş tarihsel depremlerin sayısı, % 50 artarak, 42'ye ulaştı (Liste 2 ve Harita 1). S. Calvi tarafından, derlenmesi 1941'de bitirilen fakat yayınlanmamış bir deprem kataloğu, Kâtîp Çelebi Seyahatnamesi, Nâima-Tarihi ve G. Dikmen'in bir yazısı, bu artışın nedeni oldu.

Bölge ile ilgili eski Vilâyet Salnameleri, Vekâyînâmeler, Yıl Takvimleri, Fermanlar ve diğer Osmanlı kaynakları da tarandığında, bölgenin tarihsel depremlerinin sayısı ve bunlara ilgili bilgilerimiz daha da artabilecektir.

#### **2.2.2 ALETSEL DEPREM VERİLERİ**

Bölgemin, 1900'lerden sonra oluşmus depremlerine ait aletsel verilerini belirlemek için yayınlanmış deprem kataloglarına başvuruldu. Burada, öncelikle, bu katalogların büyük bir emek ve araştırma ürünü olduğunu belirtmek gereklidir. Ancak, söz konusu kataloglardaki verileri, kendine temel kabül eden diğer araştırmalar için bu kataloglarda yer alan ve aşağıda sıralanan noktalar, çözümü gereken sorunlar olarak ortaya gılmaktadırlar.

- i) Kataloglarda yer alan depremlerin sayısı, belirli bir bölge ve aynı bir zaman boyutu için, birinden diğerine, farklılıklar göstermektedir. Yani birinde yer alan bir deprem, diğerinde bulunmamaktadır.

（原刊于《中国青年报》，2008年1月2日，有删节）

Introducing a new addition to the family, the sleek and modern *Scion iQ*. This compact car offers a unique blend of style, performance, and efficiency. With its distinctive three-door hatchback design, the *iQ* is perfect for urban driving or navigating tight city streets. The interior is spacious and well-appointed, featuring high-quality materials and advanced technology. Under the hood, the *iQ* is powered by a 1.3-liter engine that provides impressive fuel economy and responsive handling. Whether you're looking for a reliable daily driver or a fun weekend companion, the *Scion iQ* is sure to impress.

## **İNCELEME ALANININ TARİHSEL DÖNEM DEPREMLERİ**

## LISTE 2

Sıra No.	Tarih	Gözlemler Koordinatları	Siddet 1.	Gözlemler Koordinatları	Kaynak
1	M.Ö. 1400	(37.93 - 28.35)	( IX )	Nazilli ovasında çok büyük hasar	GD
2	M.Ö. 100	(37.86 - 28.06)	( VIII )	Bölgelerde büyük hasar	GD
3	M.Ö. 40	(37.86 - 28.06)	( VIII )	Bölgelerde büyük hasar	GD
4	M.Ö. 31/30	(37.85 - 27.84)	( VIII )	Aydın'da tahrifat	SC, GD,
5	M.Ö. 26	(37.85 - 27.84)	( VIII )	Aydın'da tahrifat, Sakız adasına kadar duyuldu	SC
6	M.Ö. 12/11	37.84 - 27.84	( VIII )	Aydın'da tahrifat	İTÜ, SC
7	17. 1. 1847	37.85 - 27.3	( X )	İzmir,Efes,Aydın,Manisa ve Alâsehir'de tahrifat	İTÜ
8	17. 1. 1847	38.2 - 27.4	( VIII )	Manisa ve Efes	İTÜ
9	68	37.74 - 27.4	( VII )	Milet ve Söke yöresi	İTÜ
10	238	(37.86 - 28.06)	( VIII )	Aydın,Nazilli yöresi	GD
11	244	(37.86 - 28.06)	( VIII )	Aydın,Nazilli yöresi	GD
12	262	(37.86 - 28.06)	( VIII )	Aydın,Nazilli yöresi	GD
13	747	(37.86 - 28.06)	( IX )	Bölgelerde 600 şehir tahrip olmuş	GD
14	23. 2. 1653	(37.93 - 28.35)	( IX )	Liste 2'nin açıklamalarına bakınız	SC, GD, NT, KC
		38.2 - 28.2	( X )	Batı Anadolu	İTÜ
15	1744	(37.93 - 28.35)	( VIII )	Nazilli tamamen yıkıldı	GD
16	29. 6. 1847	(38.0 - 27.8 )	( VI )	Aydın,Tire	İTÜ, SC
17	7. 7. 1847	(38.0 - 27.8 )	( VI )	Aydın,Tire	SC
18	1848	37.84 - 27.8	( V )	Aydın,İzmir	İTÜ
		(37.85 - 27.84)	( VI )	Aydın	SC
19	9. 7. 1850	(37.85 - 27.84)	( VI )	Aydın'da, şiddetlice	SC
20	9. 7. 1850	(37.85 - 27.84)	( VI )	Aydın'da, şiddetlice	SC
21	9. 4. 1878	(38.0 - 27.50)	( VI )	Aydın,İzmir	SC
22	1880	39.08 - 27.75	( VII )	Tire	İTÜ
23	? 6. 1885	37.85 - 28.2	( V )	Nazilli, Bozdağ	İTÜ
24	? 1. 1887	38 - 28	( VI )	Urla ,İzmir, Denizli	İTÜ
25	? 8. 1887	38.1 - 28.2	( VII )	Muğla,Köyceğiz,Cine,Denizli,Menemen,Gördes ve Kula'da duyuldu.	İTÜ
26	? 11. 1887	37.74 - 27.6	( VI )	Cesme ve Muğla	İTÜ
27	? 10. 1888	38.22 - 28.0	( VII )	İzmir, Aydin, Odemis	İTÜ
28	20. 8. 1890	38.0 - 28.0	( VI )	Izmir ve Denizli	İTÜ
29	14. 12. 1890	37.85 - 27.25	( VI )	Selçuk	İTÜ
30	15. 2. 1891	37.9 - 27.4	( VI )	Selçuk,İzmir	İTÜ
31	18. 9. 1891	37.74 - 27.4	( VI )	Söke	İTÜ
32	20. 8. 1895	(37.85 - 27.84)	( IX-X )	Aydın (Liste 2'nin açıklamalarına bakınız)	SC, İTÜ
33	14.11.1895	37.84 - 27.8	( V )	Aydın	İTÜ
34.	1896	37.84 - 27.8	( V )	Aydın	İTÜ
35	? 2. 1898	37.9 - 28.0	( VI )	Aydın	İTÜ
36	20. 9. 1899	37.9 - 28.1	( IX )	Nazilli (Liste 2'nin açıklamalarına bakınız)	GD, İTÜ, SC
37	? 2. 1900	38.22 - 27.65	( V )	Bayındır	İTÜ
38	23. 2. 1901	37.9 - 28.00	( VI )	Aydın, Kışık	İTÜ
39	? 3. 1901	38.22 - 27.65	( VI )	Bayındır, L	İTÜ
40	? 4. 1901	37.8 - 29.0	( VI )	Denizli,Çal,Karacasu	İTÜ
41	21. 6. 1902	37.75 - 28.1	( VI )	Aydın, Nazilli, Germencik	İTÜ
42	1903	38.0 - 28.5	( VI )	İzmir, Denizli, Sarıköy	İTÜ

the first time in history that the United States has been compelled to make a formal admission of its responsibility for the conduct of its agents in the conduct of the war.

## LİSTE 2 İLE İLGİLİ AÇIKLAMALAR

- A. Sıra No. 6'dan sonraki depremler Milattan sonra olmuşlardır.
- B. Liste'de, parantez içinde yer alan bilgiler, bu çalışma gereği, yazar tarafından yapılan saptamaları göstermektedir.
- C. Liste'nin Kaynak kolonundaki kısaltmalar :

GD : G. Dikmen (1952) ..... (Kaynakça'ya bakınız)

SC : S. Calvi (1941) ..... » »

İTÜ : K. Ergin, Z. Uz, U. Güçlü (1967). » »

NT : Naima Tarihi » »

KÇ : Kâtip Çelebi » »

- D. Liste'nin "Gözlemler" kolonuna ait açıklamalar :

### Sıra No. 14 23.2.1653 Aydın Depremi

SC'ye göre, bu depremde, Aydın'ın yarısı yıkılmış, 3000 kişi ölmüş, Nazilli ve Denizli'de de büyük tahribat meydana gelmiştir. Bu deprem Tire, Didim ve Sultançayırı' da içine alan büyük bir alan da duyulmuştur.

GD'ye göre, can ve mal kaybı oldukça çok (1000 kişi). Evler ve camiler yıkılmış. Meydana gelen yarık ve çatlaklardan sular fışkırmış. Deprem, Nazilli'nin merkez ve köylerinden başka, Sultanhisar ve Kuyucak'da da büyük hasar yapmış.

NT ve KÇ'ye göre, bu depremin merkezi Güzelhisar. 3000 kişinin olduğu bu depremde Tire, Nazilli ve Kösk'de de hasar meydana geldi, yer yarılmaları ve su fışkırmaları oldu.

### Sıra No. 32 20.8.1895 Aydın Depremi

SC'ye göre, depremde Aydın oldukça büyük hasar görüldü. SC'deki bilgiler, Philppson'un saha gözlemlerine dayanıyor. Buna göre, şehrin ova kısmında alçalmalar olmuş. Demiryolunu kesen bir kırık nedeniyle raylarda kırılmalar meydana gelmiş. Şehrin doğusunda gözlenen bir alçalmanın değeri 1 m'ye ulaşmıştır. Bu düşme, D-B gidişli olup yüzlerce metre gözlenmiştir. Rehberinin gözlemciye verdiği bilgilere göre bu kırığın bir kısmı bir önceki depremde oluşmuş. Aynı kırık Tahtacıköy'de de izlenmiştir. Maksimum düşey yerdeğistirme 4 m'ye yaklaşır ve bu değer doğuya doğru 100 m izlenebilir.

### Sıra No. 36 20.9.1899 Nazilli Depremi

GD, SC ve İTÜ'deki bilgileri özetleyeceğ olursak, diyebiliriz ki bu depremin merkezi Nazilli'dir. Deprem, büyük mal ve can kaybına neden olmuştur.

Nazilli'de Ağa ve Çarsı camileri de yıkılmıştır. Aydın'da bu depremde yıkılmış olan sebil ile eski Yeni Cami arasında DGD-BKB gidişli 400 m uzunlığında, 1 m genişliğinde bir yarık açılmıştır. Bu depremde, Aydın ve Nazilli arasındaki köyler büyük hasar görmüş ve pek çok kişi ölmüştür. Büyük Menderes çukuruğunun ekserinine paralel, toplam uzunluğu 50 km'yi bulan kırıklar oluşmuş, güney blok 1.5 m alçalmıştır. Deprem, bütün Ege yöresinde şiddetlice duyulmuştur, Buldan'da ağır, Uşak'da hafif hasar meydana gelmiştir.

- ii) Kataloglarda, bazı es depremlere ait aletsel *dış* merkez koordinatları arasında, derece mertebesine ulaşan farklılıklar gözlenebilmektedir.
- iii) Bir katalogda yer alan depremlerden bazlarının gözlemezel *dış* merkez koordinatlarıyla bu koordinatları belirlemek için verilen yer adları arasında büyük uyugmazlıklar bulunmaktadır.
- iv) Katalogların çoğunda, depremlerin büyüklükleri (magnitüddeler), tekdüze olmayıp değişik magnitüd skalalarında verilmektedir.
- v) Magnitüddelerin farklı cinsde oluğu veya kataloglama yapılırken, bunların tekdüzeleştirilmemis olması nedeniyle, her katalogda, bazen aynı bir depremin değişik magnitüd değerlerine rastlanılmaktadır.
- vi) Kataloglarda çoğu depremin *icmerkez* derinlikleri ya hiç belirtilmemiş, ya da farklı tekniklerle saptamış şekilleriyle verilmiş bulunmaktadır. Örneğin, bu derinlikler kimi katalogda 17, 22, 35, kiminde 10 ve 10'un katı ile gösterilen, yuvarlatılmış sayılar şeklinde belirtilmiştir. Bu sayılar, bazı kataloglarda, saptama hatası ile birlikte yer almaktadır. Ancak, bazı depremlerin *icmerkez* derinliklerinin bulunmasında saptanan hata paylarının, derinlik değerinin de oldukça üstünde olduğu görülmektedir. Belki de kullanılan teknığın bir gereği olarak böyle durumlarla karşılaşılmaktadır ama, örneğin bir depremin, derinliğinin  $\pm$  31 km hata payı ile 5 km olarak belirtilmesi, uygulamadaki değeri yönünden, pek anlamlı gözükmemektedir.

Depremlerle ilgili ve kataloglama aşamasından sonra yapılan çalışmaların tümünde, sağlıklı ve güvenilir deprem verilerine gereksinim duyulduğundan, yukarıda özet olarak değerlendirilen sorunlar, genellikle, uygulamada birtakım boşluklar yaratmaktadır. Bu nedenle, eldeki aletsel dönem kayıtlarıyla, ülkemizde 1970'lerden sonra sayıları artmakta olan deprem istasyonlarının kayıtlarından da yararlanarak, yayınlanmış katalogların yeniden gözden geçirilmesine, büyük bir gereksinim duyulmaktadır.

Bu araştırmaya birlikte, aletsel dönem verileri için, yeniden bir katalog derlenmesine gidilmedi. Ancak, yukarıda ayrı ayrı değerlendirilen sorunları en az düzeye tutabilmek amacıyla, ülkemiz için hazırlanan ve 1913-1970 dönemini kapsayan en son yayından yararlanma yeğlendi. Adı geçen katalogdan (E. Alsan, L. Tezuçan, M. Bath - 1975),  $37^{\circ}00' - 38^{\circ}50'$  K enlemleri ile  $27^{\circ}00' - 29^{\circ}50'$  D boyamları arasında kalan bir alanda, olusmuş 136 deprem ayırtlandı. Bunalardan 28'inin (Liste 3) büyüklüğü  $M \geq 5$ , geri kalan 108'inin (Liste 4) büyüklüğü de  $M < 5$  olarak belirlendi.

Liste : 3 ve Liste : 4'de sıralanan depremlerin *dışmerkez* dağılımları, Harita 2'de verilmiştir.

### **2.2.3 TEKTONİK ETKİNLİĞİ BELİRLEYEN VERİLER**

#### **2.2.3.1 VERİ KAYNAKLARI**

Bölgemin tektonik etkinliğini belirlemek için :

- i) Bölge ile ilgili, daha önceleri yapılmış, jeoloji ve jeofizik kökenli çalışmalar,

- ii) Hava fotoğraflarına (alçak ve yüksek),
- iii) Sayın Doç. Dr. Hüseyin Soysal'ın, tarihsel depremler ile ilgili araştırmalarına,
- iv) Aydin İl Kitaplığı, Müzesi, İmar Müdürlüğü, Belediye Fen İşleri Müdürlüğüne,
- v) Çevre köylerinin muhtar ve öğretmenlerine,
- vi) Yerlesme birimlerinin yerli-yagli kişilere,
- vii) Saha çalışmalarına bagvuruldu.

**İNCELEME ALANININ ALETSEL DÖNEM DEPREMLERİ (M ≥ 5)**

1913 - 1970

**LİSTE 3**

Oluş Sıra No.	Tarih	Dışmerkez koordinatları		Magnitude	Derinlik (km)	Gözlemlenme Yeri
		Enlem (K)	Boylam (D)			
1	16. 1. 1918	38.34	29.48	5.7	10	Kuşadası
2	13. 11. 1918	37.5	27.5	5.5	10	
3	1. 5. 1920	37.0	28.7	5.0	10	
6	28. 9. 1920	37.89	28.35	5.7	10	Seferihisar
7	27. 11. 1920	37.5	27.5	5.3	10	
8	22. 5. 1921	37.0	28.7	5.2	10	
11	7. 8. 1925	37.91	29.33	5.9	80	
12	16. 8. 1925	37.44	28.77	5.0	10	
13	1. 3. 1926	37.03	29.43	5.1	50	
15	24. 3. 1926	38.24	27.07	5.4	10	
18	15. 7. 1928	38.05	27.02	5.8	10	Torbali
20	9. 1. 1941	38.03	27.40	5.6	70	Torbali
21	23. 5. 1941	37.07	28.21	6.2	40	Manisa, İzmir
23	23. 5. 1941	37.13	28.38	5.7	40	Muğla, İzmir
24	23. 5. 1941	37.32	28.80	5.0	40	Muğla
25	23. 6. 1941	37.95	27.81	5.1	10	
26	21. 9. 1941	37.50	28.29	5.3	70	
27	13. 12. 1941	37.13	28.06	6.1	30	
31	1. 5. 1954	37.08	27.39	5.0	30	Söke yöresi
32	1. 5. 1954	37.77	27.12	5.5	40	Söke yöresi
34	16. 7. 1955	37.65	27.26	7.0	40	Söke yöresi
36	28. 8. 1955	37.40	27.16	5.3	20	Söke
49	21. 6. 1961	37.87	28.77	5.4	60	
52	11. 3. 1963	37.96	29.14	5.5	40	
62	2. 3. 1965	38.47	28.33	5.6	42 ± 5.5	Salihli
85	4. 5. 1966	37.74	27.71	5.2	37 ± 5.3	Koçarlı
87	7. 5. 1966	37.75	27.79	5.3	9	Koçarlı
96	26. 10. 1967	37.22	29.05	5.1	46 ± 4.5	

• 37°00 - 38°50 K enlemleriyle, 27°00 - 29°50 D boyamlarının sınırladığı alanın.

INCELEMƏ ALANININ ALETSEL DÖNEM DEPREMLERİ ( M<5 )

1913-1970

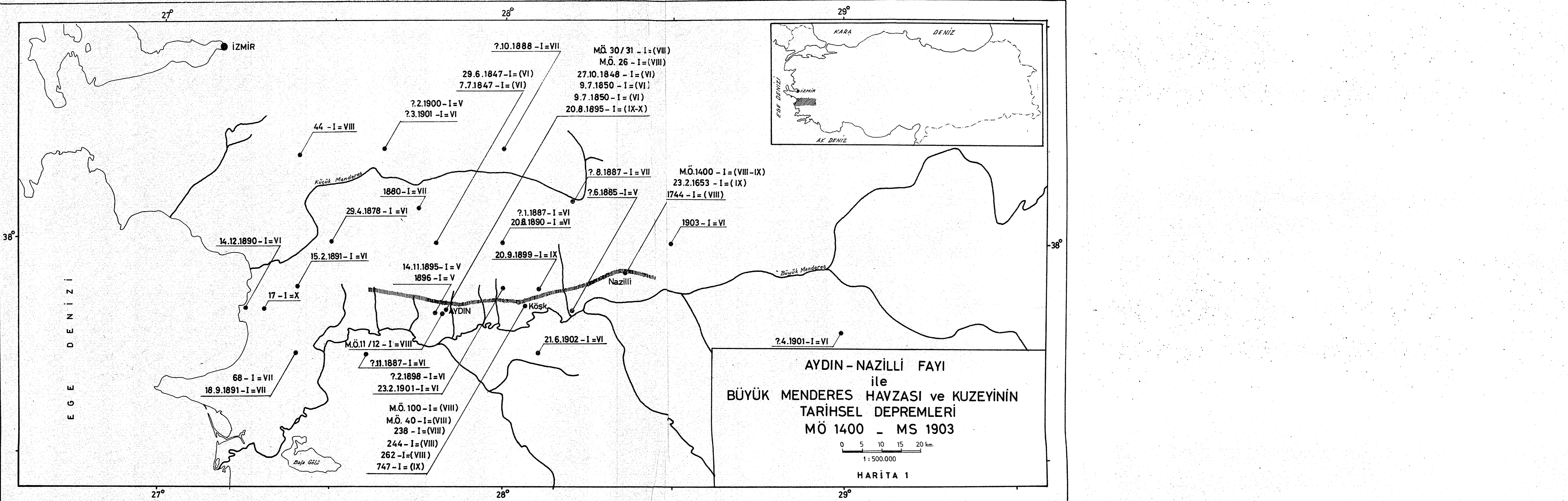
LİSTE 4

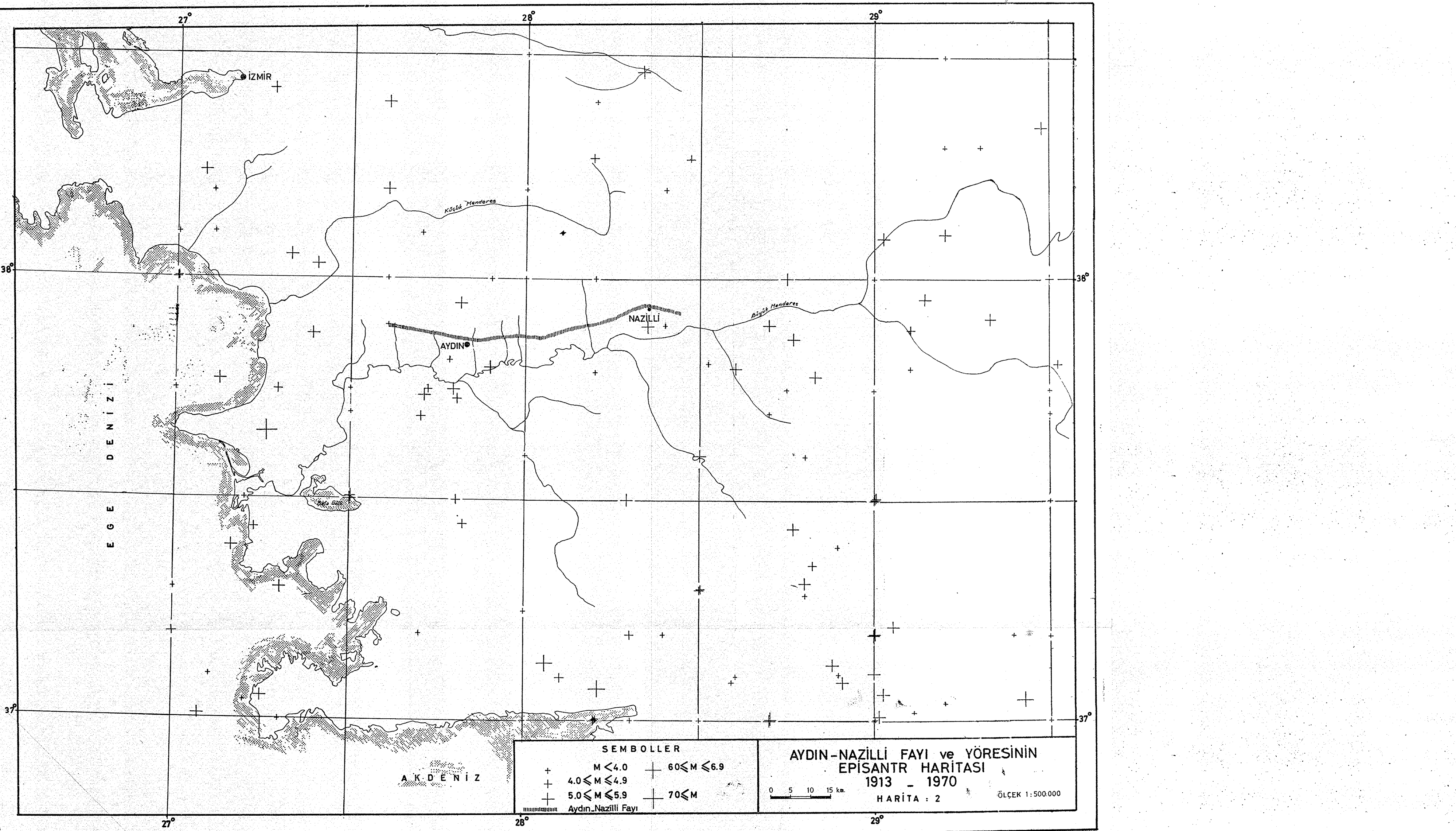
Oluş Sıra No.	Tarih	Dişmerkez koordinatları		Magnitude	Derinlik ( km )
		Enlem ( K )	Boylam ( D )		
1	12. 1. 1920	37.5	29.0	4.9	10
4	4. 7. 1920	37.5	29.0	4.9	10
5	4. 7. 1920	37.5	29.0	4.9	10
9	20. 11. 1922	37.5	29.0	4.8	10
10	11. 9. 1923	38.0	29.5	4.9	10
14	21. 3. 1926	37.89	29.10	4.9	10
16	19. 2. 1927	37.0	28.7	4.9	10
17	20. 5. 1927	37.5	27.5	4.6	10
19	17. 8. 1933	37.36	28.82	4.6	60
22	23. 5. 1941	37.2	28.3	4.9	10
28	15. 9. 1952	37.45	27.82	4.8	40
29	13. 4. 1953	38.0	27.0	4.7	10
30	3. 9. 1953	37.0	29.5	4.0	10
33	1. 5. 1954	37.75	27.29	4.2	60
35	18. 7. 1955	37.75	27.72	4.9	40
37	10. 11. 1955	37.44	27.23	4.6	10
38	5. 5. 1956	37.0	28.2	4.4	10
39	3. 9. 1958	38.27	28.19	4.6	10
40	19. 12. 1958	37.7	29.5	4.0	10
41	25. 1. 1959	38.2	28.0	4.0	10
42	17. 1. 1960	37.02	29.11	4.0	40
43	25. 1. 1960	37.5	29.5	4.0	10
44	28. 1. 1960	37.0	29.0	4.0	10
45	10. 4. 1960	37.73	27.80	4.8	40
46	12. 4. 1960	37.69	27.70	4.6	40
47	28. 6. 1960	37.82	27.78	4.0	10
48	12. 8. 1960	37.50	27.2	4.0	10
50	22. 6. 1961	37.8	29.1	4.0	10
51	18. 10. 1961	38.0	28.2	4.0	10
53	19. 5. 1963	38.5	28.0	4.0	10
54	29. 5. 1964	38.3	29.3	4.0	10
55	29. 1. 1965	37.0	28.0	4.0	10
56	29. 1. 1965	37.01	29.4	4.0	10
57	12. 2. 1965	38.4	28.2	4.0	10
58	13. 2. 1965	37.2	29.4	4.0	10
59	16. 2. 1965	38.1	27.0	4.0	10
60	16. 2. 1965	38.0	27.6	4.0	50 ± 23
61	17. 2. 1965	38.1	27.1	4.0	10
63	3. 3. 1965	38.27	28.47	4.5	42 ± 9.6
64	3. 3. 1965	38	29.1	4.0	10
65	14. 3. 1965	38	27	4.0	10
66	17. 3. 1965	38.1	28.1	4.0	33
67	20. 3. 1965	37.04	29.2	4.0	33
68	25. 3. 1965	38	27	4.0	10
69	27. 3. 1965	38.5	29.2	4.0	10
70	2. 4. 1965	38.1	27.7	4.0	33
71	26. 4. 1965	37.2	29.5	4.0	33
72	17. 6. 1965	37.6	28.6	4.0	33
73	26. 6. 1965	37.7	27.75	4.0	33
74	13. 7. 1965	37.5	27.8	4.4	35 ± 22
75	4. 10. 1965	37.75	29.0	4.0	10
76	22. 11. 1965	37.2	27.0	4.4	10
77	28. 11. 1966	37.75	28.75	4.0	10
78	8. 12. 1965	37.3	28.5	4.7	10

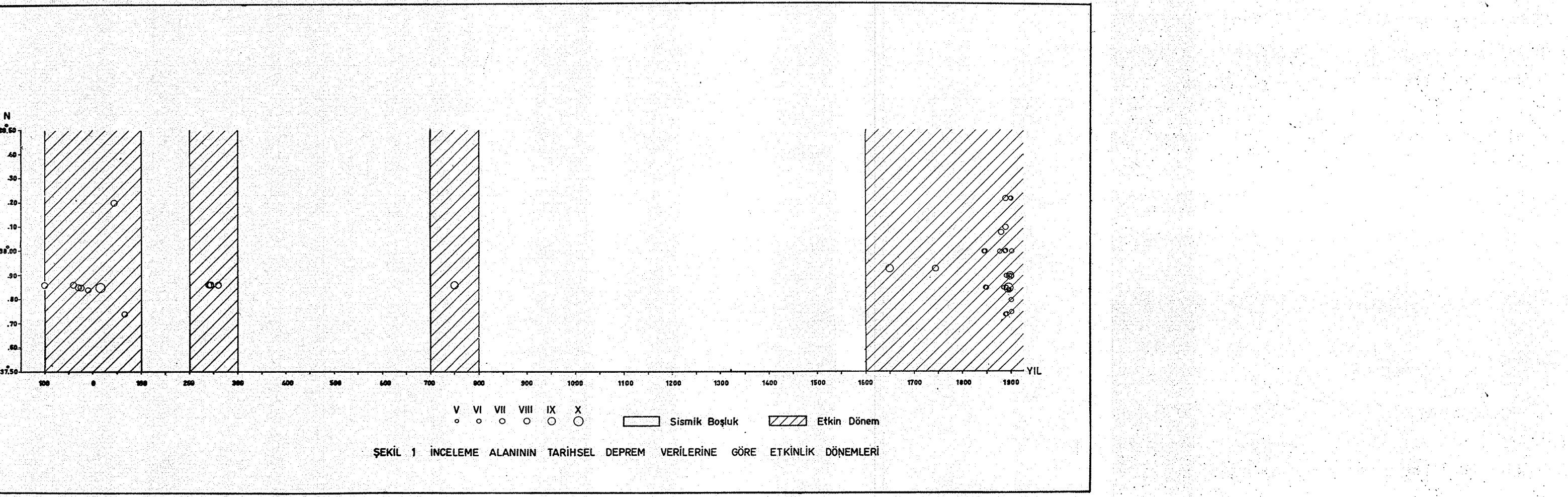
\* 37°00'-38°50' Enlemleriyle 27°00'-29°50' D boyamlarının sınırladığı alanın

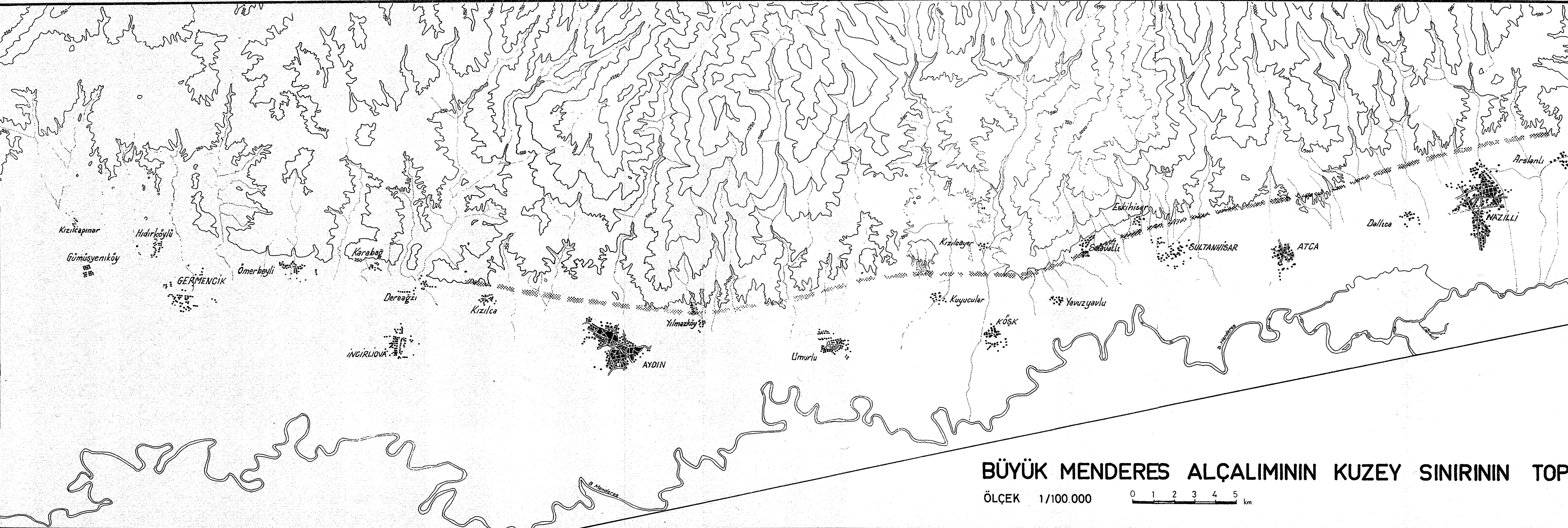
LİSTE 4'ÜN DEVAMI

Oluş Sıra No.	Tarih	Dışmerkez koordinatları		Magnitüd	Derinlik
		Enlem(K)	Boylam(D)		
79	10. 12. 1965	37.2	29.0	4.0	
80	22. 12. 1965	37.1	28.1	4.7	
81	30. 1. 1966	37.0	27.3	4.0	70 ± 66
82	15. 3. 1966	37.4	28.9	4.0	0
83	29. 3. 1966	38.0	28.75	4.9	
84	4. 4. 1966	38.2	27.1	4.0	
86	4. 5. 1966	37.8	27.9	4.5	
88	17. 7. 1966	37.05	27.25	4.2	
89	28. 7. 1966	37.75	27.1	4.0	
90	20. 9. 1966	37.0	29.0	4.0	
91	3. 10. 1966	37.0	28.3	4.0	0
92	12. 1. 1967	37.70	28.70	4.0	45 ± 18
93	9. 5. 1967	37.75	29	4.0	
94	25. 7. 1967	37.8	28.6	4.3	75 ± 19
95	25. 7. 1967	37.9	28.7	4.5	101 ± 35
97	7. 11. 1967	37.1	28.9	4.0	
98	13. 11. 1967	37.78	28.83	4.5	34 ± 11
99	21. 1. 1968	37.2	27.7	4.0	
100	22. 3. 1968	37.29	28.8	4.0	0
101	14. 4. 1968	37.75	27.50	4.0	
102	11. 6. 1968	37.3	27.3	4.0	
103	7. 10. 1968	37.2	28.4	4.0	
104	8. 11. 1968	37.3	28.5	4.0	
105	12. 11. 1968	37.6	28.5	4.4	
106	17. 11. 1968	37.25	28.50	4.0	
107	12. 1. 1969	37.81	28.52	4.0	0
108	22. 1. 1969	38.0	28.0	4.0	40 ± 28
109	19. 2. 1969	37.79	28.2	4.0	0
110	23. 3. 1969	37.9	27.6	4.0	
111	28. 3. 1969	38.0	27.9	4.0	0
112	28. 3. 1969	38.09	29.02	4.1	29 ± 17
113	14. 4. 1969	38.1	28.1	4.0	0
114	14. 4. 1969	37.9	28.4	4.0	0
115	14. 4. 1969	38.2	28.4	4.0	0
116	3. 8. 1969	37.0	29.0	4.0	57 ± 32
117	23. 10. 1969	38.2	27.6	4.2	0
118	24. 10. 1969	38.4	27.6	4.2	0
119	23. 1. 1970	37.01	27.07	4.1	0
120	26. 1. 1970	37.0	28.5	4.0	0
121	21. 2. 1970	37.1	28.6	4.0	
122	3. 3. 1970	37.0	28.2	4.0	0
123	9. 3. 1970	38.43	27.27	4.0	35 ± 4.4
124	28. 3. 1970	37.2	29.0	4.2	
125	28. 3. 1970	38.1	29.2	4.8	33
126	30. 3. 1970	38.3	29.2	3.4	
127	19. 6. 1970	37.3	27	4.0	
128	12. 8. 1970	37.1	27.1	3.8	0
129	28. 8. 1970	37.0	28.2	4.0	0
130	28. 9. 1970	37.09	28.59	3.8	24 ± 16
131	19. 10. 1970	37.01	29.01	4.1	11 ± 22
132	23. 10. 1970	37.6	28.0	3.8	43 ± 31
133	28. 12. 1970	37.06	29.02	4.4	7 ± 8.7
134	28. 12. 1970	37.09	28.91	4.2	23 ± 19
135	30. 12. 1970	37.04	27.2	3.8	0
136	31. 12. 1970	37.11	29.0	4.2	38 ± 12









rülebileceği gibi, 250 m topoğrafik eşyüselsim eğrisinin konumu ile Aydın-Nazilli fayı arasında yakın bir ilişki bulunduğu saptanmıştır. Şöyle ki, 250 m eğrisi, İncirliova'nın kuzeyinde yaklaşık 15 km ve Sultanhisar'ın kuzeybatısında yaklaşık 10 km'lik bir kesimde, düzgün bir çizgisellik görülmektedir. Fayın bu kesimlerinde, genç malzemeyi kesmediği fakat konumu ile topoğrafayı kontrol ettiği söylenebilir. Bunun yanında, bazı hava fotoğraflarında, Aydın civarından geçen ve alüvyonu kesen, büyük olasılıkla Holosen yaşı, bir kırıçın izlenmesi de olanaklıdır. Ayrıca, Menderes Masifinin yükselmesi ya da Büyük Menderes Vadisinin açılması ile oluşan terasların korunabilmiş olanları, fayın sahada izlenimini kolaylaştırmaktadır (Resim 1, 2, 3).

Yerleşme birimlerinde, yerli-yaşılı kişilerle yapılan anket sonuçlarıyla arazi gözlemleri, aşağıdaki gibi özetlenebilir.

**KARABAĞ KÖYÜ** (Aydın'ın 12 km BKB'sında) : Bu köy halkı, 1899 depreminin köye duyulmuş olduğunu söylemelerine karşın, köy ve arazisinde o depremde oluşmuş yerdeğiştirmeler hakkında kesin bilgi verememişlerdir. Aydın-Nazilli Fayı, gözlemlerimize göre, köyün hemen kuzeyinden geçmektedir. Bu köy, deprem yönünden, tehlikeli kuşak üzerinde yer almaktadır.

**KIZILCAKÖY** (Aydın'ın 6-7 km B'sında) : Bu köy ve arazisinde yapılan gözlem sonuçları Karabağ köyündekinin aynıdır. Burası da tehlikeli kuşak üzerinde yer almaktadır.

**AYDIN** : Burası, sismolojik ve jeolojik verilere göre, en büyük deprem etkinliğine sahip olmuş bir yerleşme birimi olarak gözükmeektedir. Fakat, ne İl İmar Müdürlüğü ne de Belediye Fen İşleri Müdürlüğü, şehir ve çevresinin deprem durumu hakkında yeterli bilgi verememişlerdir. Yalnız, Fen İşlerin-

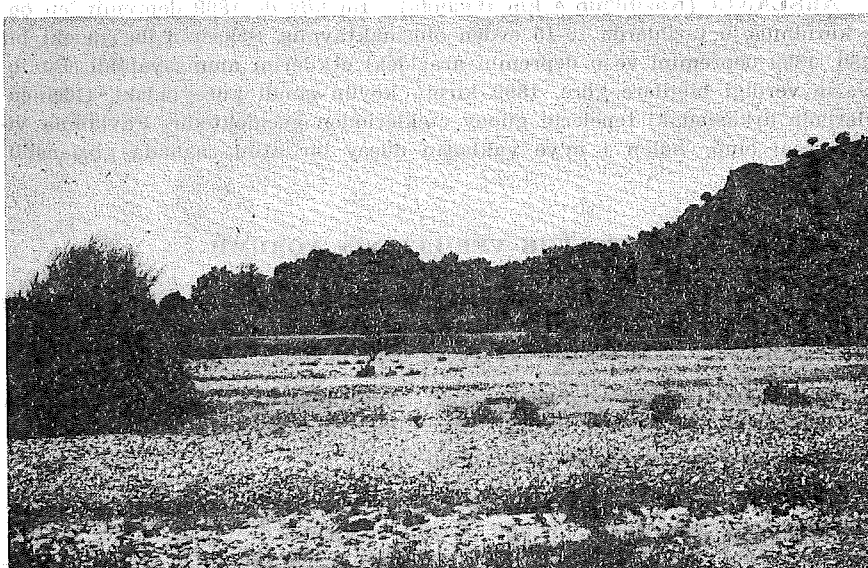


Resim 1. Yılmaz Köy doğusu. Keçiyolunun sağında 1899 kırıçısı ile ilgili fay sevi. Resim batıya doğru çekilmiştir.

den bir görevli, şehirde, 1899 depremi nedeniyle, düşeyliğinden yaklaşık 20° ayrılmış tarihi bir çesmenin kısa bir zaman önce yıkılmış yerine apartman yapıldığını belirtmiştir. Çesmedeki bu hasar, 1899 depreminin, Aydın'da en az VIII şiddetinde duyulduğunu göstermektedir. Aydın-Nazilli Fay'ı ise şehrin 2 km kadar kuzeyinden geçmektedir. Aydın İl Kitaplığı ve Müzesinden, tarsihsel depremlerle ilgili, elverişli bilgiler elde edilebilmiştir.



**Resim 2.** Yılmaz Köy yolundan doğuya bakış. Yakın planda teras halinde Neojen.



**Resim 3.** Kösk Çayı'ni kesen 1899 fayı üzerinden batıya bakış

**YILMAZKÖY** (Aydın'ın 4 km D'sunda) : Bu köy, 1899 depreminden önce birkaç evden olusmamış. Yaşı seksenin tizerinde olan bir ihtiyarın anlatıklarına göre, sözkonusu depremde oluşan kırıklar 2 km doğudaki İmamköy'den Yılmazköy'e gelip oradan da Aydın'a doğru ilerlemektedir. Bu kırık üzerinde düşey yerdeğistirme, yer yer 1.5-2.0 m'ye erişiyormuş (G blok alçalan). Bu tanımlamaya göre kırık, İmamköyüstü Tepe'nin eteklerinden başlayıp (ilgili harita : Aydın - M 19 b3), batiya doğru, diğer tepelerin de eteklerinden ve Yılmazköy'ün ortasından geçerek daha batıdaki Çatalçitlik Tepe eteklerine doğru uzanmaktadır. Bugün, İmamköyüstü Tepe eteklerinde ve Yılmazköy'ün ortasında 0.5-1.0 m arasında bir düşey atım gözlenebilmektedir. Bu köy de tehlikeli kuşak üzerinde bulunmaktadır.

**KUYUCULAR KÖYÜ** (Aydın-Nazilli arasında) : Burası, 1899 depreminin düşmerkez bölgесine çok yakın gözükmektedir. O tarihte birkaç evden oluşan köy, depremi oldukça şiddetli hissetmiş. Edinilen bilgilere göre, G blok 1-2m alçalmış. Bu kırık, köyün kuzeyindeki tepelerin eteklerinden geçmektedir. Bu tanım, şimdı, ova ile terasların sınırını göstermektedir. Burası da tehlikeli kuşak üzerinde bulunmaktadır.

**KÖŞK** (Aydın-Nazilli arasında) : Kösk'ten kuzeye, Baklaköye giden yolun solunda, güneye akan Kösk çayıının fayla kesildiğine dair veriler vardır (Bk. Resim 3). Burası da 1899 depreminden etkilenmiştir. Yaşlılarla yapılan konuşmalar da bu kanıtı doğrulamıştır. Aydın-Nazilli Fayı, Kösk'ün 4-5 km kadar kuzeyinden geçmektedir.

**NAZİLLİ** : 1899 depreminin düşmerkezine en yakın olan Nazilli, o zaman depremden oldukça büyük mal ve can kaybına uğramış. Aydın-Nazilli Fayının, Nazilli'nin 2 km kadar kuzeyindeki tepelerin eteklerinden geçmeye oluşu nedeniyle burası, tehlikeli kuşak üzerinde bulunmaktadır.

**ARSLANLI** (Nazilli'nin 4 km D'sunda) : Bu köy de 1899 depreminden önce kurulmuş, o tarihlerde 10-15 evden olusmamış. Seksenin üzerindeki bir yaşı, 1899 depremini ve o depremin arazideki etkilerini anımsabildi. Bu ihtiyarın verdiği bilgilere göre, 1899 kırığı, köyün şimdı kuzeyindeki, Göğmen-evleri'nin arkasındaki tepelerin güney eteklerinden geçmektedir. Faylanma yine normal olup, halen 1 m'ye yaklaşan düşey bir atım, sahada gözlenebilmektedir.

### 3. JEOLOJİ VE JEOPHİZİK VERİLERİNİN YORUMU

Daha önce de belirtildiği gibi, başlangıçta, inceleme alanı içinde oluşmuş en şiddetli depremin, 20.9.1899 Nazilli depremi olduğu biliniyordu. Bu nedenle, saha çalışmasının çıkış noktası adı geçen deprem oldu.

Oysa, yapılan kaynak araştırmasıyla, söz konusu depremden başka ve en az o büyülükte iki şiddetli tarihsel depremin, bölgeye büyük mal ve can kayipları getirdiğine ait bilgiler elde edildi.

Bunlardan biri 23.2.1653 depremidir. Bu depremde Aydın'ın büyük bir kısmının yıkıldığı, 3000 kişinin ölümü, Nazilli ve Denizli'de büyük yıkımların olduğu ve ayrıca depremin Tire, Didim, Sultançayır, Muğla, Ula, Söke ve Bodrum'da da duyulduğu S. Calvi'nin yayınlanmamış katalogundan öğrenilmiştir.

Diğer taraftan G. Dikmen (1952), bu depremde ev ve camilerin yıkıldığını, ölü sayısının bin'i aştığını, arazide meydana gelen kırıklardan sular fışkırdığını belirtmektedir. Naima Tarihi ve Kâtip Çelebi'nin Fezleke'sinde de bu depremden bahsedilerek ölü sayısının üçbin'evardığı, yeryarılmaları ve su fışkırmalarının meydana geldiği rapor edilmektedir. Bu bilgilerden, 22.2.1653 depreminin gözlemsel dîşmerkezinin, bugünkü Aydın şehrinde ya da çok yakınında bulunabileceği, burada şiddetin VIII-IX olabileceği anlaşılmaktadır. Bu şiddetteki bir depremin de, Aydın-Nazilli Fayı'nın batıdaki bir kesimini oluşturabileceği düşünülebilir.

İkinci şiddetli deprem ise 20.8.1895 depremidir ki S. Calvi, bu deprem hakkında yazlarını, Philippson'un saha gözlemlerine dayandırmaktadır. Bu saha gözlemlerine göre depremin gözlemsel dîşmerkezi Aydın olup burada büyük hasar meydana gelmiş ve boyu yüzlerce metreye ulaşan doğu-batı gidişli ve şehrin ova tarafının 1 m alçalmasına neden olan bir kırık olmuştur. Bu kırık, o zaman, bugünkü Yılmazköy'de de izlenmiş olup orada bazı yerlerde düşey atım 4 m'ye ulaşmıştır. 20.8.1895 depreminin, kaynaklara göre, Aydın ve yöresini IX şiddetinde etkilediği düşünülebilir. Bu deprem, büyük bir olasılıkla, Aydın-Nazilli Fayı'nın, Aydın'ın doğusundaki bir kesiminin oluşmasına olanak sağlamış olabilir.

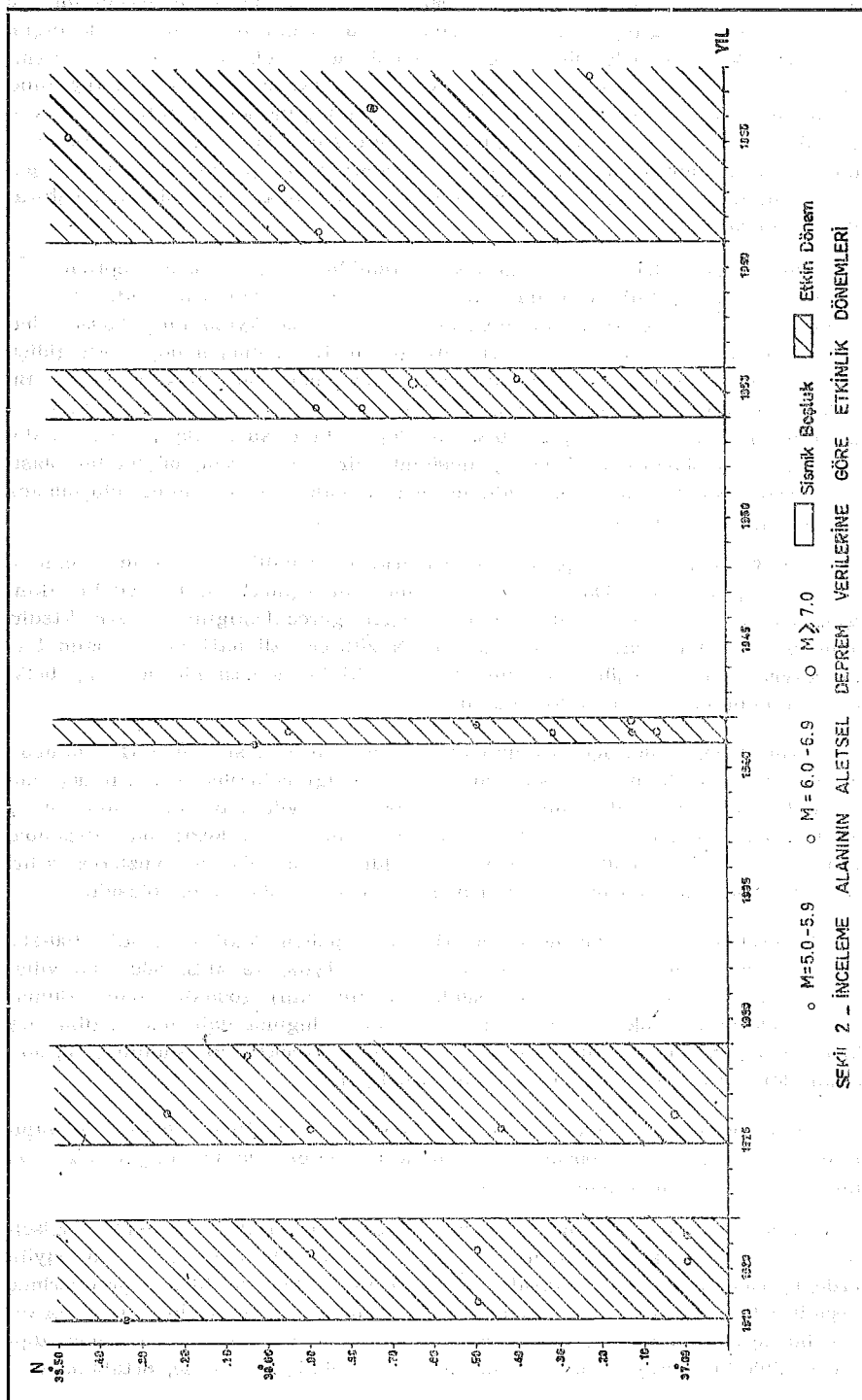
20.9.1899 depreminden gözlemsel dîşmerkezin Nazilli ve Yöresinde olduğu bilindiğine göre 1653, 1895 ve 1899 depremlerinin dîşmerkezleri, faydaki etkinliğinin, zaman sürecinde batıdan doğuya doğru gerçekleştiğini göstermektedir. Bunu bir varsayımlar olarak kabul eder ve Nazilli-Denizli hattındaki yoğun termal kaynakları da düşünecek olursak, gelecekteki şiddetli bir deprem, belki de Nazilli'nin doğusunda etkin olabilecektir.

Tarihsel depremler için yapılan kaynak araştırması sırasında G. Dikmen'den (1952) öğrendiğimiz ve 600 şehri tâhrip ettiği belirtilen 747 yılı depremi hakkında bilgi elde edilememiştir. Ancak bu denli yıkıcı bir depremin, en az IX şiddetinde olması gereklidir. Adı geçen depremin dîşmerkezi; bu çalışmada, hernekadar Aydın-Nazilli arasında dünşüntüldiyse de, bölgede yüzlerce şehri (Köy, kasaba v.b) tâhrip etmesi nedeniyle, denizde olması da olasıdır.

Tarihsel deprem verilerinden yararlanarak çizilen Şekil 1'de, M.S. 100-200 yılları arasında yüz, M.S. 300-700 arasında dört yüz, ve M.S. 800-1600 yılları arasında sekiz yüz yıllık birer boşluk (seismic gap) gözükmeektedir. Bunların, gerçekten mi yoksa veri yokluğundan mı olduğuna dair herhangibir sey söylemek durumunda değiliz. Ancak, surası bir gerçekdir ki, şimdilik, Aydın-Nazilli Fayı'nın sakin dönemlerini göstermektedir.

Aletsel verilerle, aletsel dönem için benzer karşılaştırma Şekil 2'de yapılabilir. Şekildeki sismik boşluk ve etkinlik dönemleri, yalnız magnitüdü 5 ve daha büyük depremler için geçerlidir.

Gerek bölgenin hava fotoğrafından (Resim 4) görülen görkemli çizgiselilik gereksiz arazideki gözlemler (Resim 1, 2, 3 ve 5), şimdi var olan büyük yerdeğiştirmenin, yalnız, yukarıda değinilen 1653, 1895 ve 1899 depremlerinde olusabilecek kadar ve basit olmadığını göstermek için yeterlidir. Oysa, söz konusu bu üç depremde bile, 1653-1899 yılları arasındaki yaklaşık 250 yılda, toplam 6 m'lik bir düşey yerdeğiştirmeye meydana gelmiştir. Bu ise, ortalama ola-



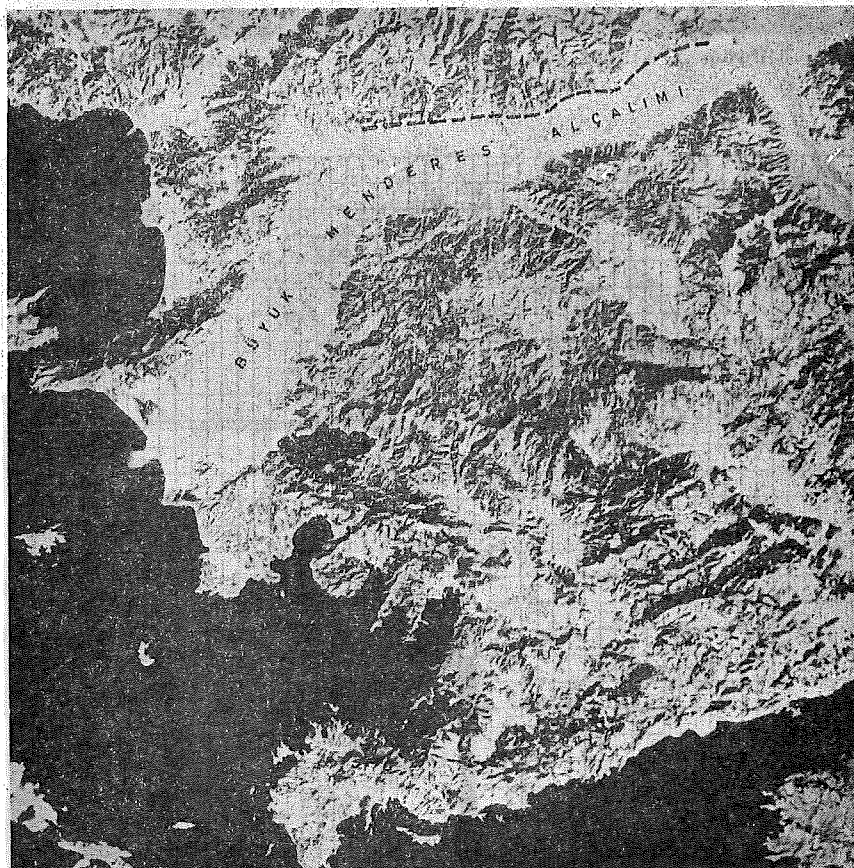
rak 2.4 cm/yıl'lık bir devinim hızını gösterir ki hiç de küçümsenecek bir değer değildir ve bize, Menderes Masifinin büyük bir hızla yükselmekte olduğunu kanıtlamaktadır.

Bölgede oluşan depremlerin aletsel verilerine bakıldığından, 1913-1970 yılları arasında oluşan 136 depremden sadece birkaçının derinliğinin 80-100 km arasında, geri kalanların derinliklerinin ise 0'la 60 km arasında değiştiği görülmüştür. O halde bölgede oluşan depremlerin çoğunun kaynağı kabuk içinde bulunmaktadır.

Yukarıda sözü edilen ve 1913-1970 yılları arasındaki 57 yıllık bir dönemde ait olan bu 136 deprem bir grafiğe işlendiğinde (Şekil 3) görülür ki :

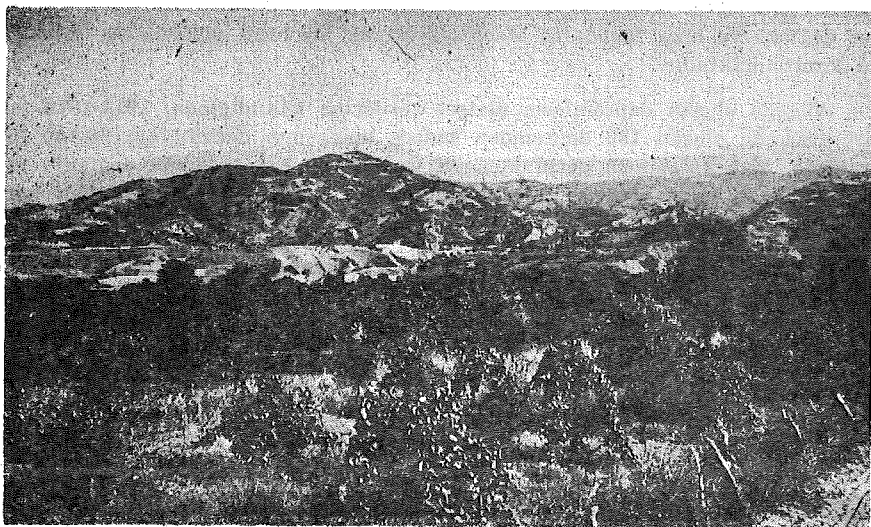
1913-1952	yılları	arasındaki	39	ylda	27,
1952-1970	»	»	18	»	109.

deprem oluşmuştur. Bu çeşit sayısal değerlendirmeler, depremlerin zaman içindeki dağılımlarını yansıtma iseler de gerek ülkemizde ve gerekse öteki ül-

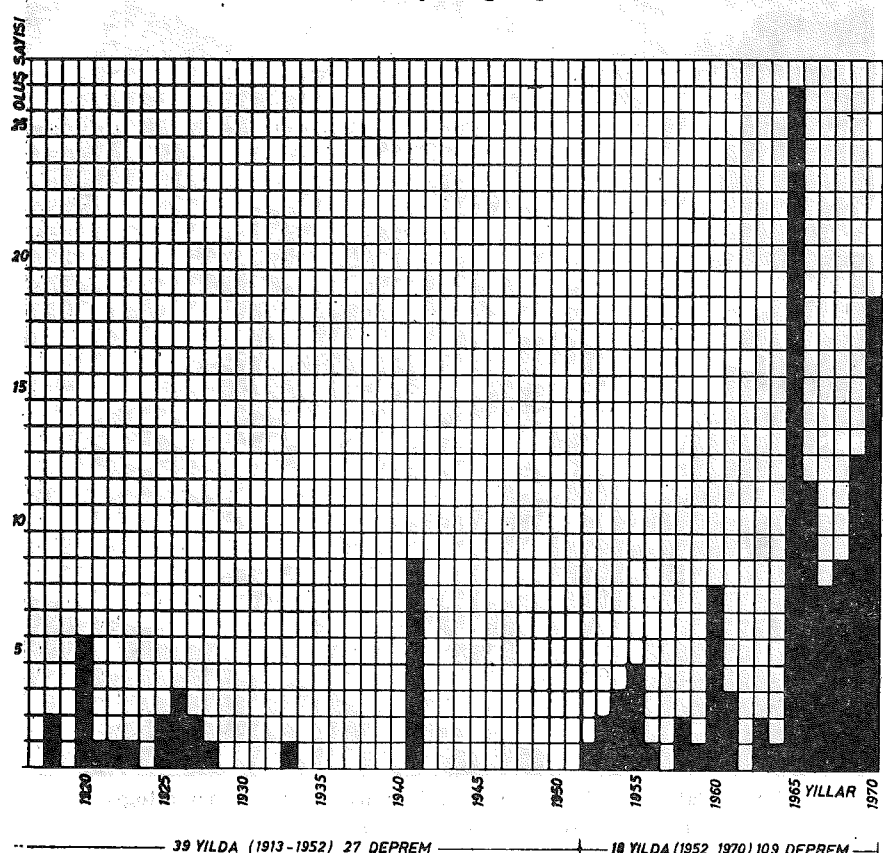


Resim 4. Çalışma Bölgesi ve Yöresinin uydudan alınmış fotoğrafı.

NASA ERTS MSS 5 15.11.1972 SUN EL 29.



Resim 5. Yılmaz Köy yolundan Neogen Teraslarına bakış.  
Resim, NWya doğru çekildi.



Şekil 3. 1913-1970 SÜRECİNDE OLUSAN DEPREMLERİN YILLARA GORE DAĞILIMI

kelerde, alet ağının, sözkonusu dönemlerde, gereksinimleri yanıtlayabilirliği de tartışma konusu olabilir. Daha 1970'lere kadar, ülkemizde depremleri kaydeden 4-5 istasyon varken 1970'den sonra bu sayı 20'ye yaklaşmış ve pek çok deprem dışmerkezinin belirlenmesine olanak sağlamıştır. Bu nedenle, Şekil 3'de verilen ve depremlerin yıllara göre oluşlarını gösteren durumu, sadece var olan verilerin değerlendirilisi şeklinde yorumlamak, yerinde olacaktır.

### 3.1. BÖLGENİN SİSMOTEKTONİK ÖZELLİKLERİ

Buraya kadar verilmiş olan verilerin yorumu, bölgenin sismotektonik özelliklerini aşağıdaki gibi özetlemeye olanak sağlamıştır.

- i) Büyük Menderes Alçalımı ile kuzeyindeki Menderes Masifi arasındaki sınır zonu, düşey tektonik hareketlerin devam ettiği bir zon olduğundan, gelecekte yine yüksek sismik etkinlige aday bir kusak olma özelliğini korumaktadır (S. Sipahioğlu, 1975).
- ii) Bu kusak boyunca, geçmişte meydana gelmiş depremler (özellikle şiddetleri VIII'in ya da magnitüdleri 6'nın üzerinde olanlar), yüzeye mostra verebilen faylarla ilişkilidirler.
- iii) Bu faylar genellikle, Kuvaterner faylanmalari olup ya 2-3 bin yıllık yakın bir geçmişte, ya holosen'de veya bunlardan eski fakat yine Kuvaterner içinde oluşmuş ya da Kuvaterner'de genleşmiş fayların özelliklerini taşımaktadırlar.
- iv) Bölgede oluşan depremler, büyük çoğulukla, sig deprem niteliğinde olup içmerkez derinlikleri 0 ile 60 km arasında değişmektedir.
- v) Bu depremlerin şiddetli ve yıkıcı olanları, ya olaydan önce var olan bir fay ile ilişkilidir veya her şiddetli depremde, bugün arazide izleyebileğimiz fayların bir bölümü meydana gelmiştir (C.R. Allen, 1974)
- vi) 1913-1970 dönemi aletsel verilerine göre, en çok deprem oluşturan içmerkezler, sırayla; 40, 0, 10 ve 30 km derinlikli seviyelere aittir.
- vii) İnceleme alanı, geçmişinin belirlediği sismik etkinlik örneğini, gelecekte de aynen sürdürme eğilimindedir. Çünkü, tektonik devinimliğinin özellik ve gelişimde, geçmişe göre, büyük bir değişiklik olduğunu belirleyecektir.

### 3.2 SONUÇLAR

Yapılan bu çalışma ile, inceleme alanı hakkında aşağıdaki sonuçlar elde edilmiştir.

- i) Bölgenin tarihsel depremlerinin sayısı, bugün kataloglarda var olanların % 50'si kadar artmıştır.
- ii) Bugün kataloglarda var olan depremlerden bazlarına ait ayrıntılı bilgiler elde edilmiştir.
- iii) Gerek tarihsel dönem depremlerine ait gözlemsel dışmerkez dağılımının ve gerekse aletsel dönem depremlerine ait aletsel verilere daya-

- nan dismerkez dağılımlarının, var olan faylanmaların konumunu tanımlamaya yeterli olmadığı saptanmıştır. Bu nedenle, bölgenin gelecekteki deprem etkinliğini öğrenemek için, jeoloji verilerinin de kullanılmasının zorunlu olduğu yargısına varılmıştır.
- iv) Bölgenin sismotektonik özellikleri belirlenmiştir.

### 3.3 BÖLGE İÇİN YAPILMIŞ ÖNCEKİ ÇALIŞMALAR

Bu günde kadar, gerek meydana gelmiş depremlerle ve gerekse faylanmalarla ilgili olarak, Batı Anadolu için çok jeoloji ve jeofizik kökenli çalışma yapılmıştır. Bu araştırmaya konu olan bölgeyi de içine alan, geniş kapsamlı çalışmalarla beliren görüşler çeşitlidir. Kendi sonuçlarımıza bir karşılaşturma olanağ sağlamak için bu görüşler hakkında birkaç örnek vermek yerinde olacaktır.

E. Arpat, E. Bingöl (1973), Ege Bölgesinin merkezi kısmının, yani masif bölgesinin kitle halinde yükseldiğini, D-B doğrultulu hatların KD-GB ve KB-GD doğrultulu hatlardan genç olduğu görüşündedirler.

R.E. Wallace (1972), D-B doğrultulu horst ve grabenlerin, başka doğrultuya sahip olanlardan genç ve etkin olduğunu, son yıllarda meydana gelen depremlerin de bu yargıyı kuvvetlendirdiği görüşünü savunmuştur.

C.R. Allen (1974), Menderes Masifinin normal faylarla sınırlanılmış büyük bir fay bloğu olduğunu, McKenzie'nin (1972) fay düzlemi çözümlerinin de bu yargıyı doğruladığını belirtmiştir.

Yukarıdaki görüşler, araştırma sonuçlarımızla uygunluk göstermemektedirler. Ancak, bu araştırmamın sonuçları, E. İlhan'ın (1976), K-G hatlarının D-B hatlarından genç olduğu görüşüyle uygunluk göstermemektedir.

### KAYNAKÇA

- M. Jean Duard (1975)  
Türkiye'de Acil Kurtarma ve Yardım Teşkilatı  
T.C. İçişleri Bakanlığı Sivil Savunma İdaresi Başkanlığı
- E. Alsan, L. Tezuçan, M. Bath (1975)  
An Earthquake Catalogue For Turkey For the Interval  
1913-1970
- i. Kettin (1969)  
Kuzey Anadolu Fayı Hakkında  
Maden Tetskik ve Arama Enstitüsü Dergisi, No. 72
- G. Dikmen (1952)  
Nazilli Tarih ve Coğrafyası  
Aydın İl Kitaplığı

- W.S. Calvi (1941)  
Erdbebenkatalog der Turkei und Einiger Benacharbler Gebiete  
Almanca, Yayınlanmamış
- K. Ergin, Z. Uz, U. Güçlü (1967) Türkiye ve Civarının Deprem Kataloğu (M.S. 11 - 1964)  
İ.T.Ü. Maden Fakültesi Arz Fiziği Ens. Yayın No. 24
- K. Ergin, U. Güçlü, G. Aksay (1971)  
Türkiye ve Dolaylarının Deprem Kataloğu (1965-1970)  
İ.T.Ü. Maden Fakültesi Arz Fiziği Ens. Yayın No. 28
- Naima Tarihi, Zelzele ve Hüsuf  
Cilt V, s. 272-273
- Kâtip Çelebi  
Fezleke
- N. Öcal (1968) Türkiye'nin Sismisitesi ve Zelzele Coğrafyası (1850-1960)  
M.E.B. İstanbul Kandilli Rasathanesi Sismoloji Yayınları No. 8
- C.R. Allen (1972) Tentative Suggestions concerning the Seismotectonic Map of Turkey. Rapor.  
Tarih : 18.7.1972. MTA'ya verildi.
- C.R. Allen (1974) Geological Criteria for Evaluating Seismicity  
Geo. Soc. of Am. Bull., V. 86, s. 1041-1057, Ağustos 1975
- S. Sipahioglu (1975) Sismotektonik ve Metodları  
M.E.B. İstanbul Kandilli Rasathanesi Sismoloji Yayınları No. 49
- E. Arpat, E. Bingöl (1973) Ege Bölgesi Graben Sisteminin Gelişimi Üzerine Düşünceler  
Maden Tetskik Arama Enstitüsü Dergisi No. 69, Ankara
- R.E. Wallece (1972) Report on Unesco-UNDP Balkan Seismotectonic Map Project  
Balkan Projesi Ofisi, Skopje
- McKenzie (1972) Active Tectonics of the Mediterranean Region  
Royal Astron. Soc. Geophys. Jour. v. 30, s. 109-185
- E. İlhan (1976)  
Türkiye Jeolojisi  
ODTÜ Mühendislik Fakültesi Yayın No. 51

# BATI ANADOLU İÇİN GELİŞTİRİLMİŞ DEPREM BÜYÜKLÜĞÜ - ŞİDDET - UZAKLIK İLİŞKİSİ

Dr. D. Kolçak — S. Sipahioğlu (\*)

## ABSTRACT

The relation among the intensity-magnitude-distance were investigated with the well known statistical methods by utilizing the isoseismal maps of earthquakes occurred in the west part of Anatolia within the period of 1964-1970.

In the calculations,  $R$  (hypocentral distance) was used instead of  $\Delta$  (epicentral distance, and the  $a$ ,  $b$ ,  $c$ ,  $d$  coefficients in the equation of

$$I = a + bM + cR + dMR \quad (1)$$

were found from the data of above mentioned thirteen shallow focus ( $h = 30$  km) earthquakes. Thus, following equation (2) was obtained :

$$I = 0.1506 + 1.2372 M - 0.0332 R + 0.00198 MR \quad (2)$$

Then, the intensity values were calculated from the equation of (2) and these were compared with the original isoseismals.

Meanwhile, for the relations between magnitude ( $M$ ) — surface of  $I = VI$  and  $I = IV$ , following equations were obtained :

$$\log A_{VI} = -0.9076 + 0.8384 M \quad (3)$$

$$\log A_{IV} = 1.905 + 0.5042 M \quad (4)$$

## ÖZET

Batı Anadolu'dan seçilen bir bölge için, 1964-1970 yılları arasında oluşmuş ve Eşsizlik Haritaları bulunan depremler yardımıyla

$$I = a + bM + c\Delta + dM\Delta \quad (\text{Milne, Devenport 1969})$$

(\*)İstanbul Üniversitesi Yerbilimleri Fakültesi Jeofizik Mühendisliği Bölümü

Şiddetin de siddetinin sıklıkla **ne şekilde** verilen bağıntının katsayıları ve dolayısıyla, depremlerin **siddet-büyüklük-uzaklık ilişkileri**; bilinen **sayılama yöntemleriyle** incelemiştir. **Siddet-uzaklık ilişkilerinin saptanmasında**, derinliğin de **ne şekilde etkin olabileceğini** öğrenmek amacıyla, işlemlerde  $\Delta$  (dişmerkezden uzaklık) yerine R (icermezen uzaklık) kullanılmıştır.

**Hepsi sıç derinlikli ( $h \leq 30$  km)** olan on üç depremin verilerinden yararlanarak, söz konusu bölge için **a, b, c ve d katsayıları** saptanmış ve sonuca :

$$I = 0.1506 + 1.2372 M - 0.0332 R + 0.00198 MR$$

seklinde bir bağıntı bulunmuştur. Daha sonra, bu bağıntıdan saptanan şiddet değerleri, gözlenen şiddet değerleriyle karşılaştırılarak farklılık nedenleri araştırılmıştır.

**Ayrıca, bazı eşsizdeğerlerin sınırladığı alanlar ile deprem büyüklüğü arasında, ne şekilde bir bağıntı olabileceğini** araştırılmış (Muramatsu, 1969) ve sonuca söz konusu bölge için,  $I = VI$ -eşsizdeğerlerin sınırladığı alanla, büyülüklük (M) arasında :

$$\log A_{VI} = -0.9076 + 0.8384 M$$

**ve duyulma amalya büyüklük arasında :**

$$\log A_{IV} = 1.905 + 0.5042 M$$

seklinde birer ilişki olduğu saptanmıştır.

**GİRİŞ**  
Bilindiği gibi, depremlerin neden olduğu değer kayipları, zaman zaman, çok büyük boyutlara ulaşmakta, gelişen ya da gelişmekte olan ülkeler için sorun, daha da büyük bir önem taşımaktadır.

Deprem zararlarını azaltma yönünde sürdürulen araştırmaları, depremi önceden kestirme (earthquake prediction) ve depreme dayanıklı yapılm teknikleri geliştirme çabaları olarak iki ana grupta toplamak olanaklıdır. Kanimizca, depreme dayanıklı yapılm tekniklerinin geliştirilmesi, tüm değerleri koruma açısından, ülkemiz ekonomisi için çok yararlı sonuçlar verebilecektir. Bu nedenle, yapı tasarımcılarına gerekli verileri sağlamak, yerbilimcilerine düşmektedir.

Bir deprem sırasında olusabilecek en büyük şiddet ve ivme değerlerinin bilinmesi, depreme dayanıklı yapı sorununun çözümü için gereklidir. Ancak, ülkemizde, henüz yeterli bir ivme-çizer ağı oluşturulmadığından, daha önce oluşmuş depremlere ait, şiddet ile ilgili verileri, sayılama yöntemleriyle inceleyerek yararlı bazı sonuçlar elde etme olanağı vardır.

Bir bölgede, deprem riski saptanırken gerekli verilerden biri de şiddetin uzaklıкла değişiminin bilinmesidir. Yeterli sayıda güvenilir veri bulunabildiğinde, sözü edilen ilişki saptanabilemektedir. Kuşkusuz, saptanacak bu ilişkinin, aletsel olanaklar gelisse bile, tarihsel depremlerin (1900 yılı öncesinde oluşmuş) değerlendirilmesindeki yararı büyük olacaktır.

Deprem etkinliğinin saptanmasında karşılaşılan bir sorun da aletsel verilerin, 1900'lerden sonraki zaman sürecini kapsamasından dolayı, sadece bu verilerden yararlanılarak yapılacak çalışmaların yaniltıcı sonuçlar verebilme olasılığının bulunmasıdır. Bugün, tarihsel deprem verilerinden bilmekteyiz ki aletsel dönemde, deprem etkinliği olmayan ya da çok az olan bazı bölgelerde, daha önceki büyük depremler olmuştur. Gerçekci bir değerlendirme yapmak istediginde, tarihsel depremlerle ilgili, sağlanabilen tüm niteliksel bilgileri de nicel büyüklükler dönüştürmemiz gerekmektedir.

## UYGULAMA YERİ, VERİLER

Sayılama (istatistik) yöntemleri kullanılarak yapılan araştırmalarda sonuçların geçerliliği, doğrudan doğruya, veri sayısının çokuğu ve güvenilirliği ile ilgilidir. Bu kosulu sağlayabilmek amacıyla, Türkiye'de oluşan depremler incelenmiş ve Batı Anadolu'nun, diğer bölgelere göre, verilerinin daha elverişli olduğu görülmüştür. Bu nedenle, uygulama yeri olarak Batı Anadolu'da,  $37.5^{\circ} - 40.5^{\circ}$  N enlemleriyle,  $27.0^{\circ} - 30.0^{\circ}$  E boylamlarının belirlendiği bölge seçilmiştir.

Uygulamada kullanılan veriler, Balkan Bölgesi Sismisite Çalışmaları sırasında hazırlanan "Atlas of Izoseismal Maps, 1974" den alınmıştır. Adı geçen atlastaki esşiddet (izoseist) haritaları, tüm veriler yeniden gözden geçirilerek çizildiğinden üniform bir veri kaynağı özelliğini taşımaktadır.

## YÖNTEM, UYGULAMA

Çalışmanın ilk aşamasında, Atlas'taki haritalardan yararlanılarak, Batı Anadolu'da oluşan, sıç derinlikli, on üç depreme (Çizelge 1) ait esşiddet eğrilerinin, uzun ve kısa eksenleri ile bunların ara eksenleri doğrultularında, dişocak (episantr) tan olan uzaklıklar ( $\Delta$ ) ölçüldü.  $\Delta$  ve içocak (hiposantr) derinliklerinden ( $h$ ) çok iyi bilinen

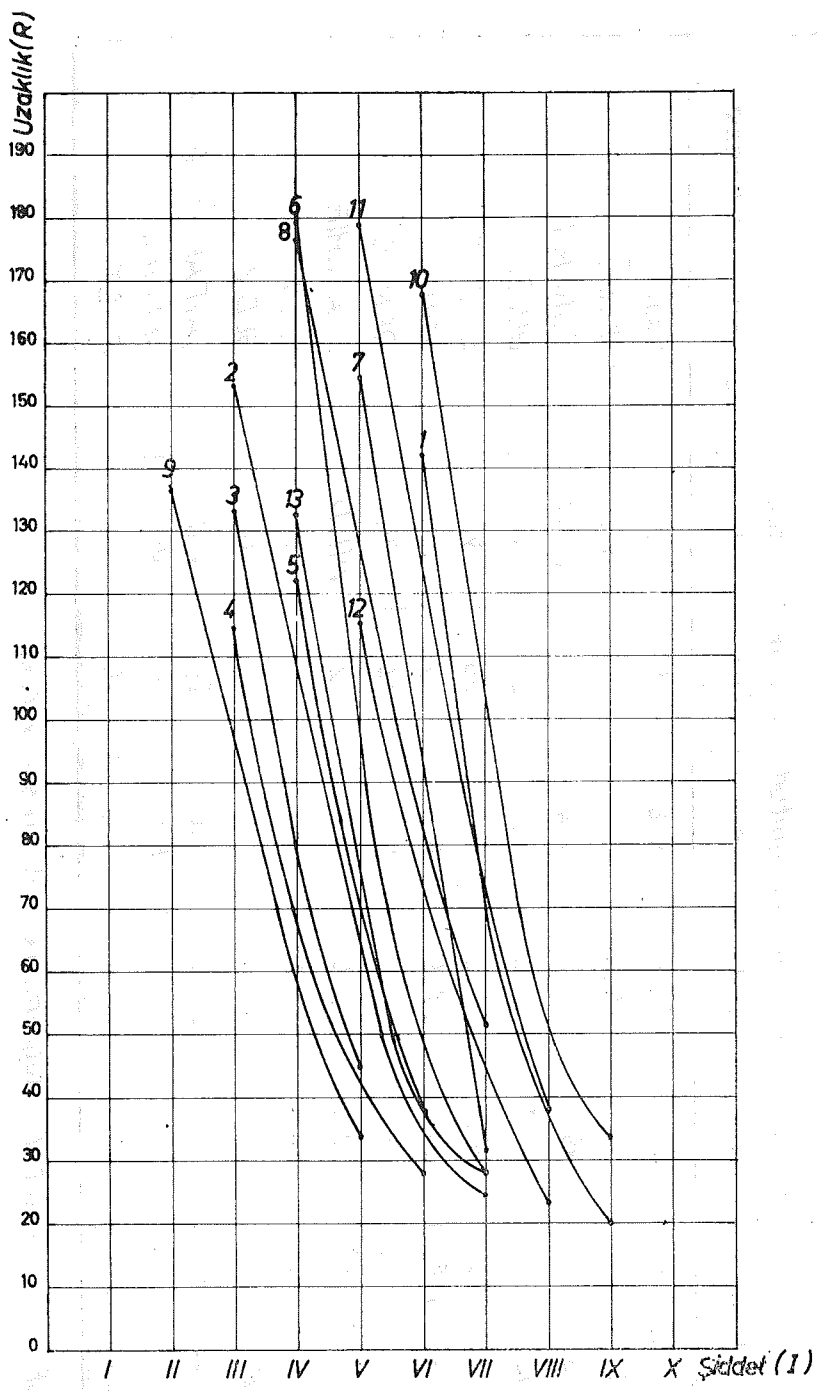
$$R = (\Delta^2 + h^2)^{1/2} \quad (1)$$

bağıntısı yardımıyla, esşiddet eğrilerinin içocaktan olan uzaklıkları ( $R$ ) saptanmıştır. Daha sonra, bulunan  $R$  değerlerinden yararlanarak, her deprem için, şiddet ( $I$ ) ve uzaklık ( $R$ ) grafikleri çizildi (Şekil 1). Çizilen eğrilerin herbiri, değişik deprem büyülüklerine (magnitüdine =  $M$ ) ait olduğundan, bu kez,  $R$ 'nin belirli değerleri ( $R = 40,50 \dots$ ) için her eğriden  $I$  değerleri okundu (Çizelge 2). Başka bir deyişle, her  $M$  için, segilen  $R$  değerlerine bağlı olarak,  $I$ 'nın aldığı değerler belirlenmiştir (Şekil 2). Bu aşamada  $I$  ve  $M$  değerlerine, her bir  $R$  değeri için, en küçük kareler yöntemi uygulanarak en uygun  $I-M$  doğrularının eğim ve kesme değerleri saptanarak Çizelge 3'de verilmiştir.

Son aşamada ise her  $R$  değeri için çizilen  $I-M$  grafiklerinin eğim ( $E$ ) ve kesme ( $K$ ) değerlerini,  $R-E$  ve  $R-K$  grafikleri biçimine kayabilmek ama-

## ÇİZELGE 1. İncelenen depremlere ait tıkkisel veriler

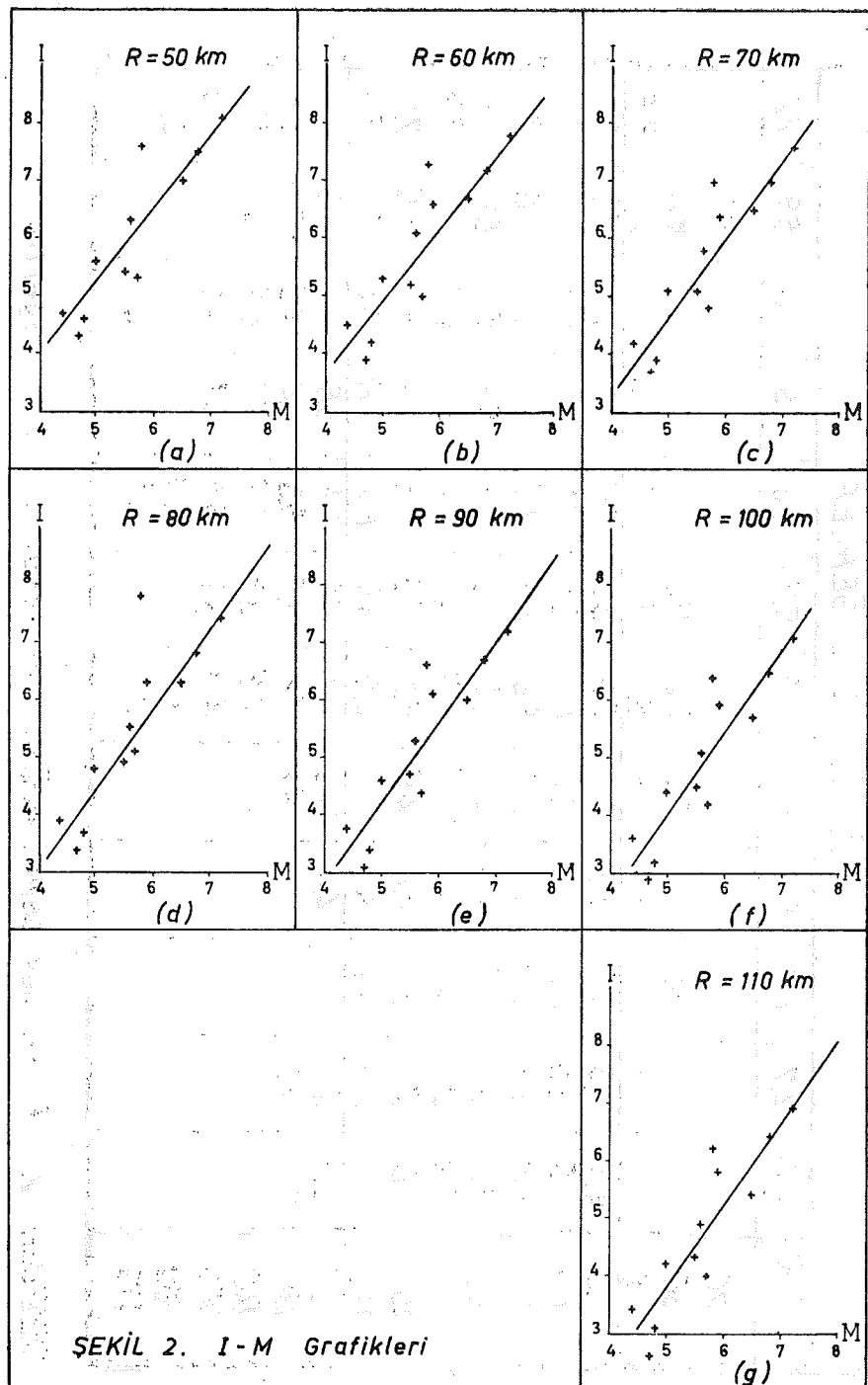
Sıra No.	Tarih	Enlem (N)	Boylam (E)	Magnitüd (M)	Derinlik (h) km	Şiddet I	Gözlemevi Dışmerkez
1	6.10.1964	40.1	28.0	6.6	15	IX	MANİAS
2	12. 6.1965	37.8	29.3	5.7	21	VII	HONAZ
3	9. 5.1967	39.2	27.2	4.4	30	V VI	EDREMIT
4	19. 7.1967	38.1	28.9	4.8	24	VI	BULDAN
5	3. 11.1968	30.6	28.9	5.0	25	VI	SELENDİ
6	3. 3.1969	40.1	27.5	5.6	7	VIII	GÖNEN
7	23. 3.1969	39.2	26.5	5.9	14	VIII	DEMİRCİ
8	28. 3.1969	38.3	26	6.5	12	VIII IX	ALAŞEHİR
9	14. 8.1969	39.5	27.9	4.7	22	VI	BALIKESİR
10	28. 3.1970	39.1	29.4	7.2	23	IX	GEDİZ
11	13. 4.1970	39.0	29.8	5.8	24	VIII	ÇAVDARHİSAR
12	23. 6.1970	39.2	28.8	5.6	16	VIII	DEMİRCİ
13	20.12.1970	39.3	29.2	5.5	25	VII	EMET



**SEKİL 1.  $I - R$  Grafikleri (Grafiklerdeki sayılar, Çizelge 1'deki 13 depremin sıra numaralarını göstermektedir.)**

R(km)	ÖLÇÜLEN İ DEĞERLERİ							
	4.4	4.7	4.8	5.0	5.5	5.6	5.7	5.8
20	5.8	6.6	7.2	8.3	7.9	6.9	6.7	7.0
30	5.1	5.9	5.8	6.7	5.7	7.5	6.7	7.0
40	4.7	5.1	5.6	5.4	6.3	5.3	7.3	7.5
50	4.8	4.3	4.6	5.3	5.2	6.1	5.0	6.6
60	4.5	3.9	4.2	3.9	5.1	5.8	4.8	7.0
70	4.2	3.7	3.7	4.8	4.9	5.5	4.6	6.8
80	3.9	3.4	3.7	4.6	4.7	5.3	4.4	6.6
90	3.8	3.1	3.4	4.6	4.6	5.1	4.2	6.4
100	3.5	2.9	3.2	4.4	4.5	5.1	4.2	6.2
110	3.4	2.6	3.1	4.2	4.3	4.9	4.0	5.8
120	3.2	2.4	4.1	4.2	4.7	3.8	6.1	5.6
130	3.1	2.2		4.1	4.6	3.5	5.9	5.4
140					4.5	3.3	5.7	5.3
150					4.3	3.1	5.5	5.1
160					4.2	5.3	5.3	4.3
170					4.1	5.1	4.2	4.2
							9.0	8.4
							7.8	8.6
							7.5	8.1

ÇİZELGE 2.  $R$ 'nın her belirli değeri için "I" ölçülerin "I" değerleri.



**SEKİL 2. I-M Grafikleri**

$R$ (km)	EĞİM	KESME
50	1. 3269	- 1. 4083
60	1. 3524	- 1. 8359
70	1. 3754	- 2. 1908
80	1. 4143	- 2. 6357
90	1. 4248	- 2. 9035
100	1. 4333	- 3. 1520
110	1. 4412	- 3. 3881

**CİZELGE 3. I-M Grafiklerinin eğim ve kesme değerleri**

çıyla, yine en küçük kareler yöntemi uygulanarak, bu değerlere en iyi uygunluk sağlayan doğru denklemlerinin (Şekil 3a, b) eğim ve kesme değerleri bulundu. Bu değerler;

$$R - E \text{ grafiği için } E_E = 0.00198 \text{ (Bağımsızlık katsa.} = 0.97) \\ K_E = 1.2372$$

$$R - K \text{ grafiği için } E_K = -0.0332 \\ K_K = 0.1506 \text{ (} \quad \gg \quad \gg \text{ } = 0.99)$$

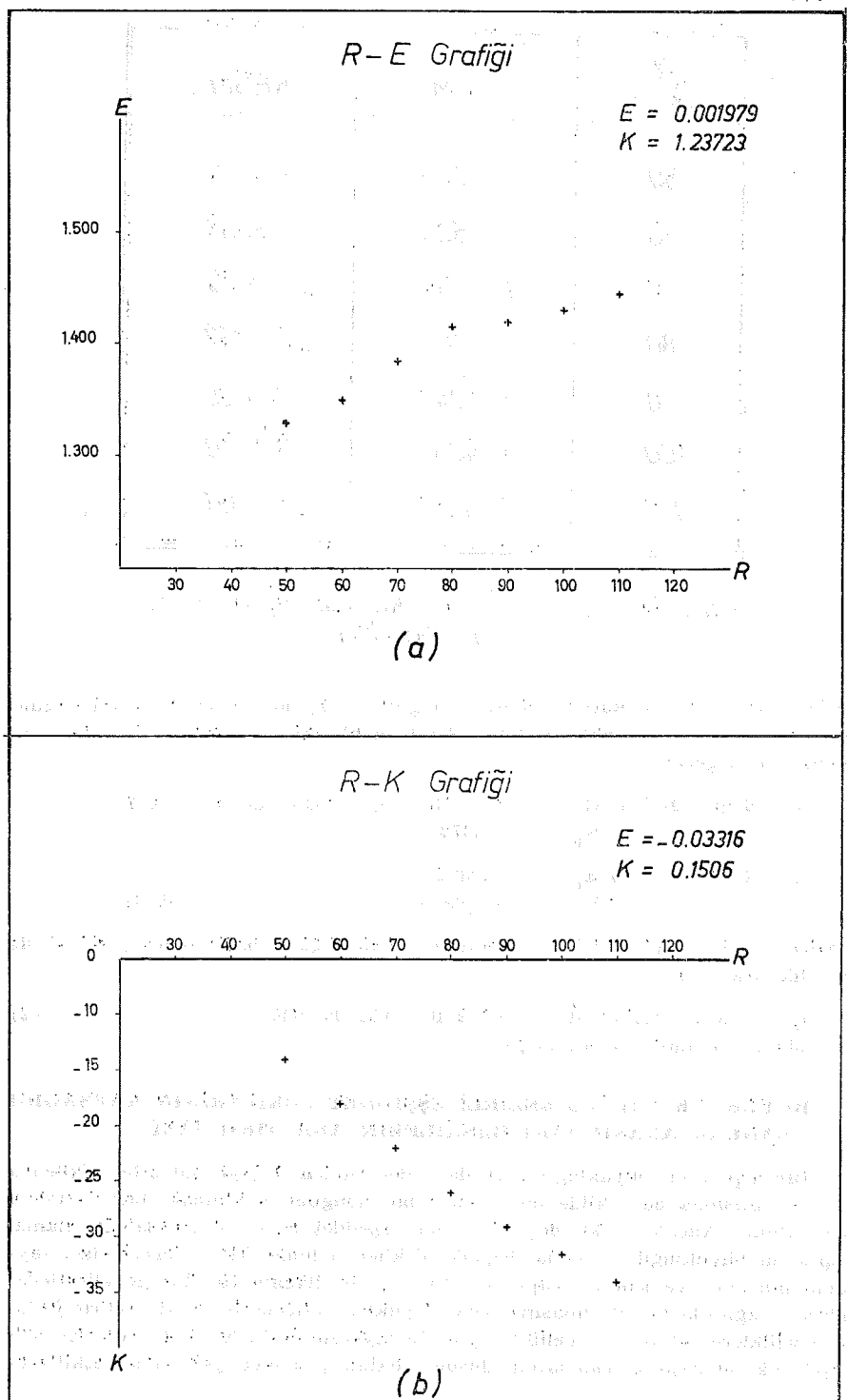
Böylece, Batı Anadolu için, depremlerin büyüklüğüne bağlı olarak, şiddet ile uzaklık arasında,

$$I_R = 0.1506 + 1.2372 M \rightarrow 0.0332 R + 0.00198 MR \quad (2)$$

ilişkisinin bulunduğu saptanmıştır.

#### **BÜYÜKLÜK (M) İLE BELİRİLİ EŞİDDET EĞRİLERİNİN KAPSADIĞI ALANLAR ARASINDAKİ İLİŞKİLERİN ARAŞTIRILMASI**

Bir depremin büyüklüğü (M) ile o depremden değişik giddetle etkilenen alanlar arasında ne şekilde bir bağlantı bulunuğunu saptamak, her durumda olanaklıdır. Ancak, farklı değerdeki her eşiddeğ eğrisinin kapsadığı alanla, depremin büyüklüğü arasında değişik ilişkiler bulunacaktır. Hernekadar, faylanmanın cinsi ve jeolojik yapı farklılıklarını, bir ülkenin tümüne genelleştirilebilecek bağıntıların kurulmasına bazı güçlükler getirmekte ise de belirli jeolojik özelliklere sahip ve genellikle aynı tip faylanmaların oluşturduğu bölgeler için yapılacak bu çeşit çalışmalarda düşülen hatalar, sonucu pek fazla etkilemeye



ŞEKİL 3. Eğim (a) ve Kesme (b) değerleri grafikleri.

mektedir. Başka bir deyişle, bu şekilde bulunan bağıntıların, ülkemizin depremlerden etkilenen bölgelerin tümü için değil fakat bölgesel olarak, ayrı ayrı saptanması durumunda ve yalnız saptanan bölgeler için gerekli olması gerekeceği kanısındayız.

Yukarıda açıklanan nedenlerin işiği altında, Batı Anadolu'da, 1964-1970 yılları arasında oluşmuş on üç depreme ait verilerden yararlanarak, önce, hemen her depremde çizilmesi olanaklı  $I = VI$  eğrisinin kapsadığı alanla büyük-lük ( $M$ ) arasında, nasıl bir ilişki olduğu araştırıldı. Bunun için, Çizelge 1'de verilen on üç depremin esigidet haritalarından,  $I = VI$  eğrilerinin kapsadığı alanlar saptanıp logaritmaları bulundu. Magnitüd ile doğrusal bir ilişkisinin var olup olmadığını saptamak için, bunlara en küçük kareler yöntemi uygulandı ve sonuçta :

$$\log A_{VI} = -0.9076 + 8384 M \quad (3)$$

şeklinde bir ilişkinin bulunduğu anlaşıldı.

Aynı işlemler, bir kere de, depremlerin  $I = IV$  esigidet eğrilerinin belirlediği "Duyulma Alanları" için yinelendi ve sonuçta :

$$\log A_{IV} = 1.905 + 0.5042 M \quad (4)$$

ilişkisi saptandı. Saptanan bu ilişkiler  $A_{VI}$  için Şekil 4 ve  $A_{IV}$  için Şekil 5'de grafiklenmiştir.

## SONUC

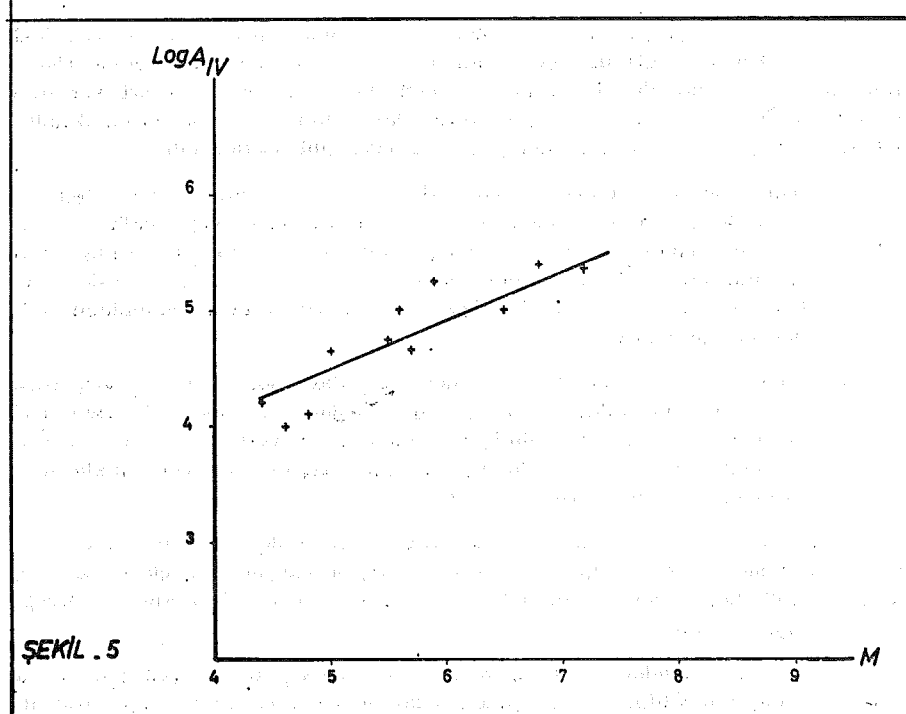
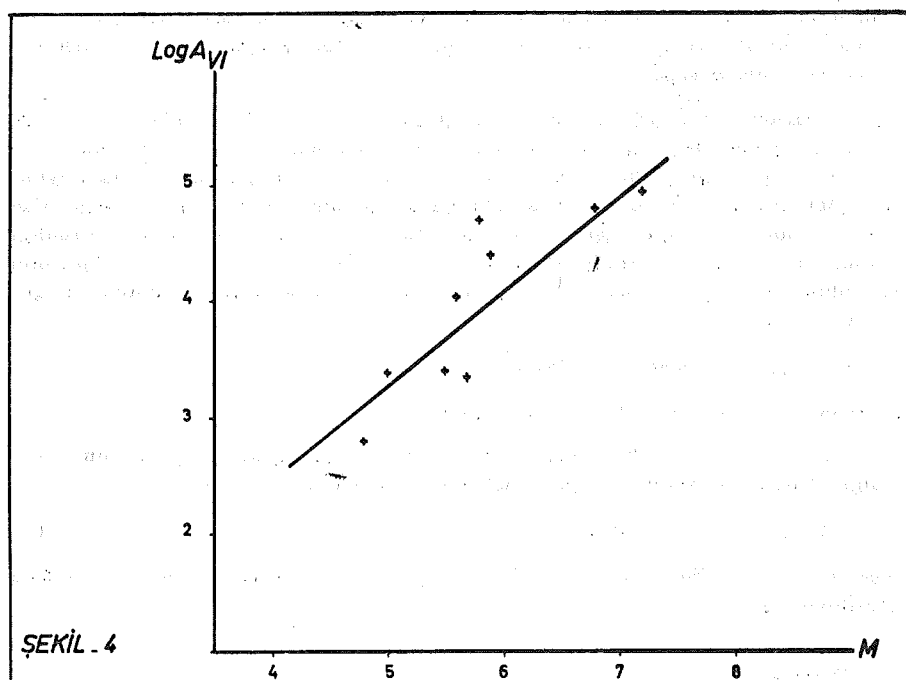
Yukarıda, bu çalışmaya konu olduğu belirtilen depremlere ait Eşsiddet Haritaları (Harita 1-13) üzerine, saptanan sayısal değerler çizildiğinde (haritalarda ..... şeklinde gösterilmiştir) bunlarla gözlemlenmiş değerleri yansitan esigidet eğrileri arasında birtakım farklılıklar bulunduğu göze çarpmaktadır. Bu farklılıkların nedenleri, kanımızca, aşağıdaki gibi özetlenebilir.

- i. Daha önce söz konusu edilen Atlas'dan, olduğu gibi alınan Eşsiddet Haritaları, depremlerden sonra, depremi hissedilen bölge halkına gönderilen anketlerin, yine bu bölge halkı tarafından doldurulup geri gönderilmesinden sonra çizilmiş bulunmaktadır. Bu tür işlemlerde, aynı lokasyon için bile değişik kişisel değerlendirmelerin bulunduğu bilinen bir geçektir.
- ii. Bu çalışmaya konu olan Eşsiddet Haritaları, söz konusu anketlerden yararlanılarak fakat yerel jeolojik koşullarla, tektonik özelliklerini gözönüne alınmadan çizilmiş bulunmaktadır. Ayrıca, Eşsiddet haritalarındaki, alınan anket lokasyonlarının dağılımı da coğulukla üniform bir görüntü vermemektedir.

Çalışmamıza kaynak olan Eşsiddet Haritalarının derlenme özellikleri yukarıda özetlendiği gibi olduğu için, tarafımızdan, bu çalışma sonuçları üzerinde, yerel jeolojik koşulların ve tektonik özelliklerin, ne derecede etkin olabileceği ayrıca araştırılmamıştır.

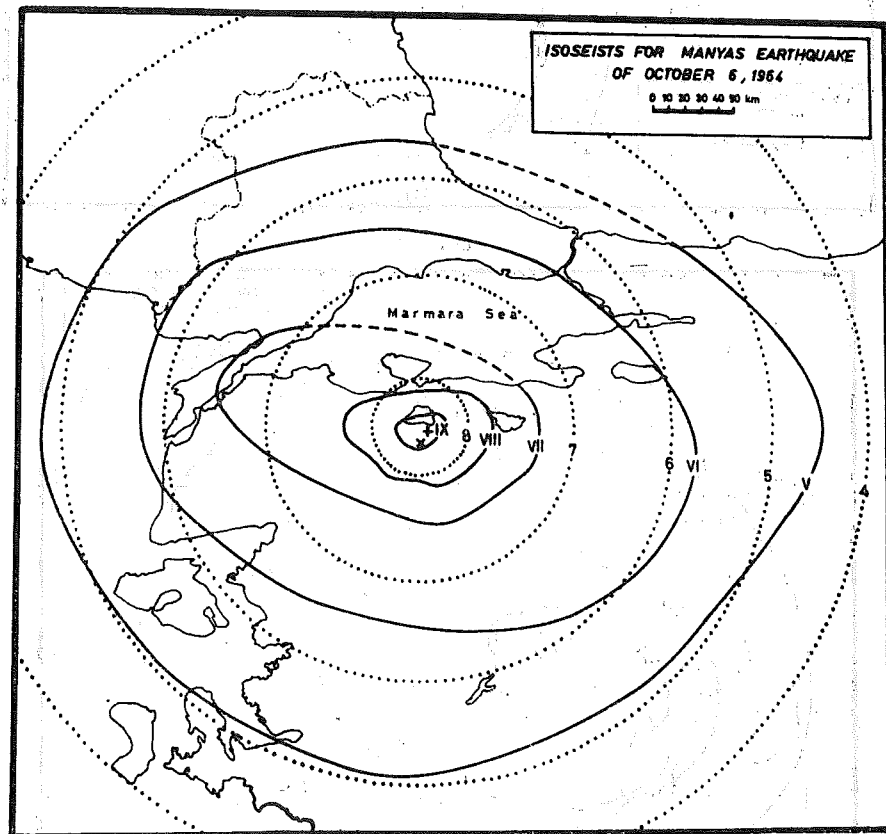
Yararlanılan Eşsiddet Haritalarındaki eğrilerle saptanan eğriler arasında, beliren biçimsel farklılık, bu çalışmada ortamin, homojen ve izotrop varsayı-

Yazılım ve Uygulamalarla İstatistiksel Analizler - 2019/2020 - 1. Dönem - Sayısal İstatistik

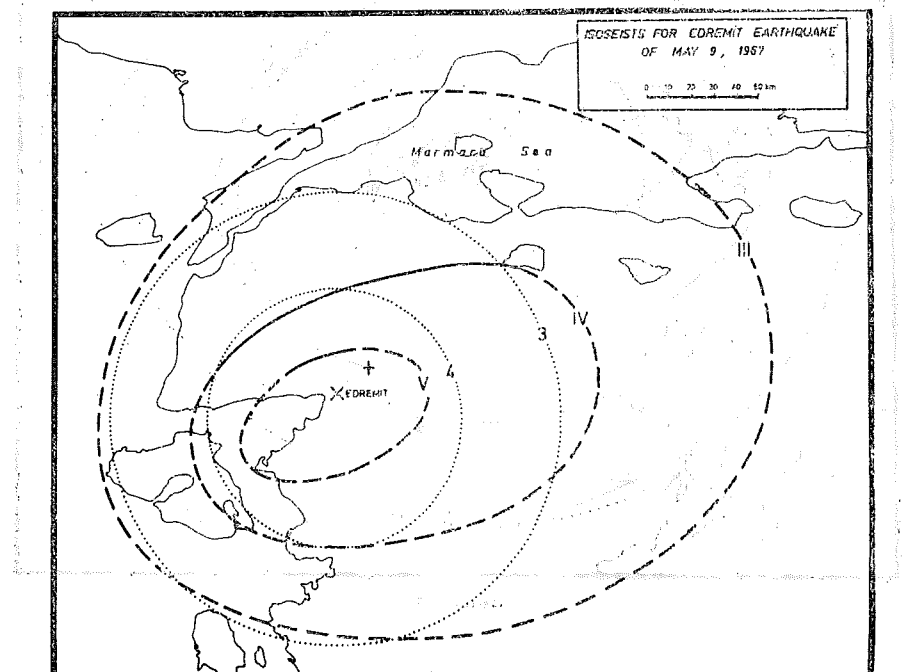
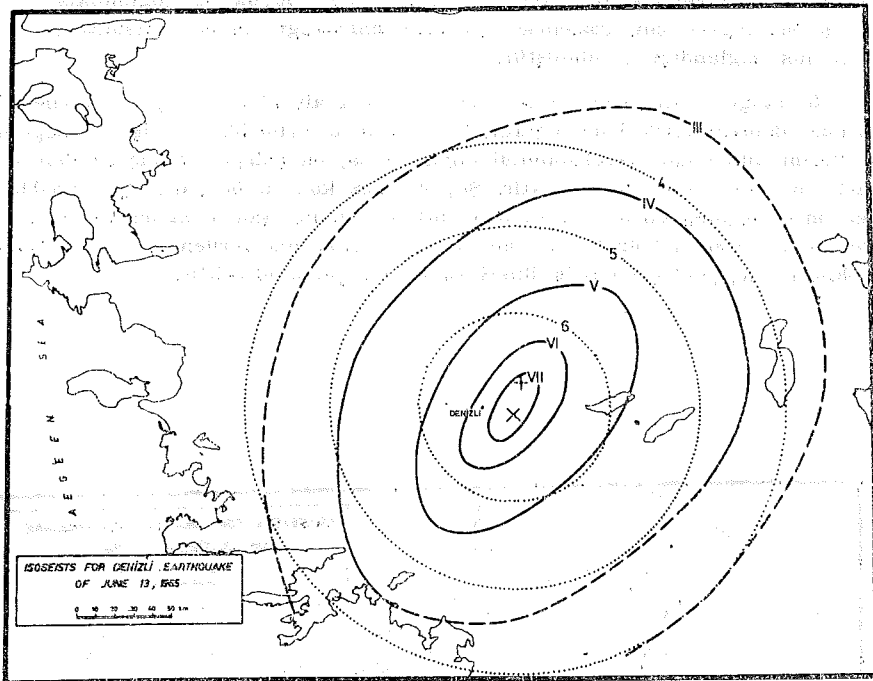


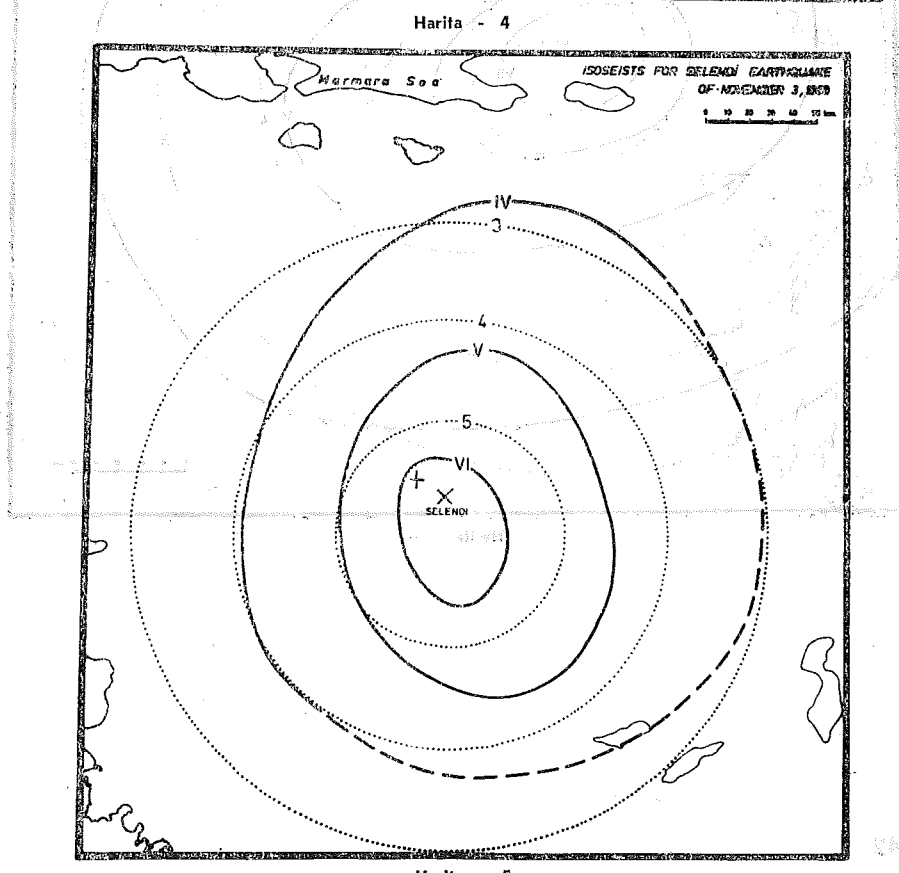
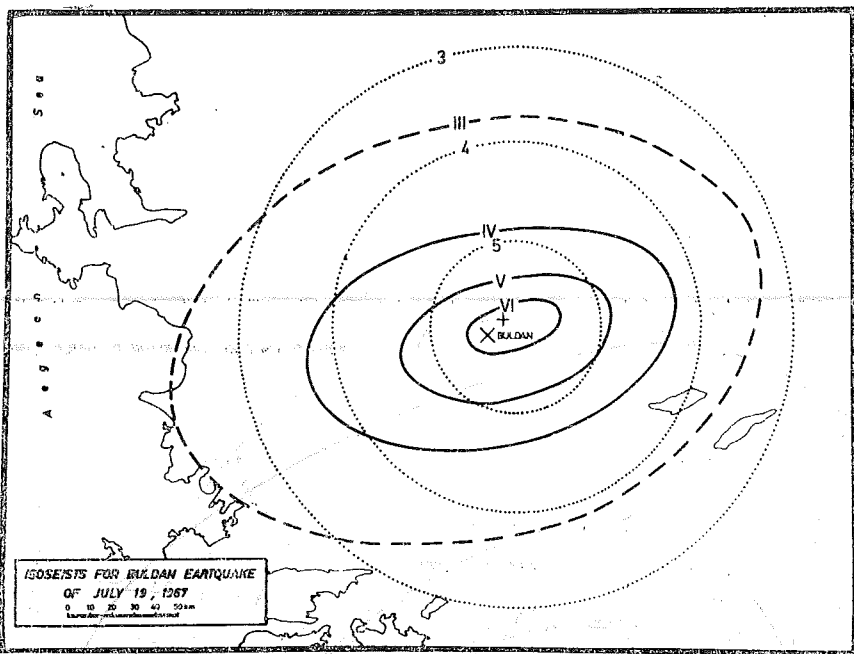
masından ileri gelmektedir. Ancak, çok azı haric, büyük bir çoğunlukla, aynı bir şiddet değeri için, gözlemlsel eğrilerin sınırladığı alanlar arasında iyi bir uygunluk sağlandığı görülmüştür.

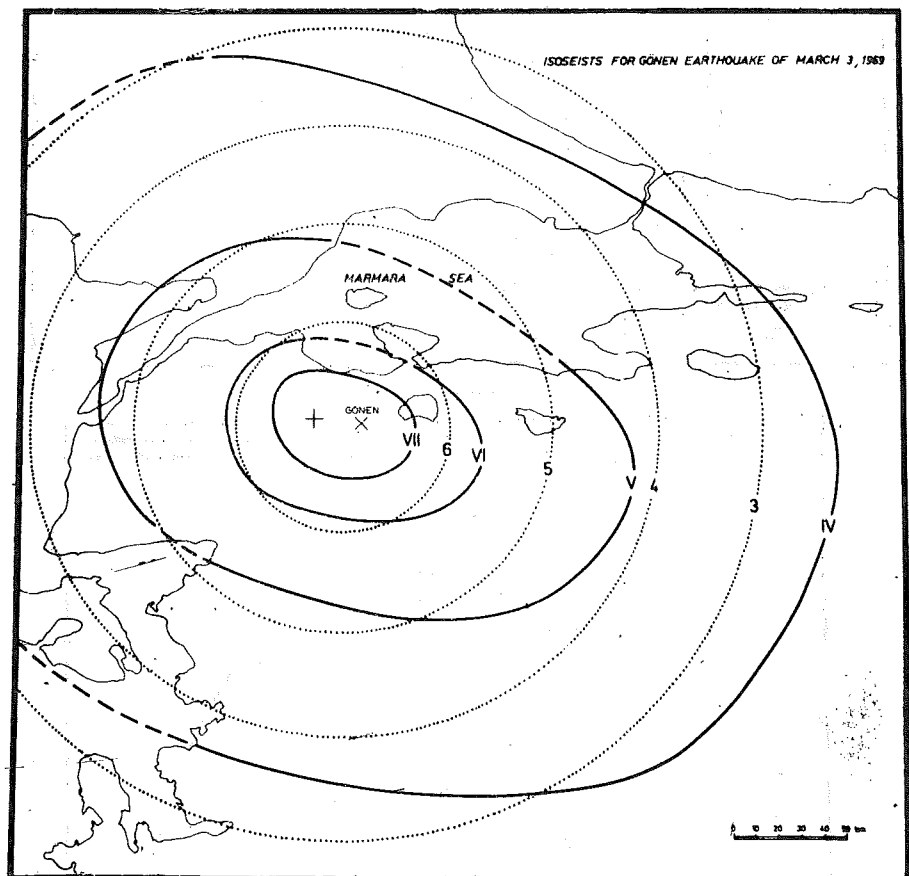
Herhangibir araştırıcı, 1900'lerden sonraya ait aletsel deprem verilerini, tarihsel deprem verileri ile çoğaltmak ya da daha uzun bir geçmisi ait deprem verilerini kullanmak gereksinimini duyduğunda, bu çalışma sonuçlarından yararlanma olanağını bulabilecektir. Şöyleki, söz konusu bölgede, eğer 1900'lerden önce oluşmuş tarihsel depremlere ait maksimum şiddet ya da VI veya IV şiddetinde sarsılık bölgeler saptanabiliyorsa, yukarıda verilen 2, 3 ve 4 No.lu ilişkilerle, depremlerin büyüklükleri ( $M$ 'leri) saptanabilecektir.



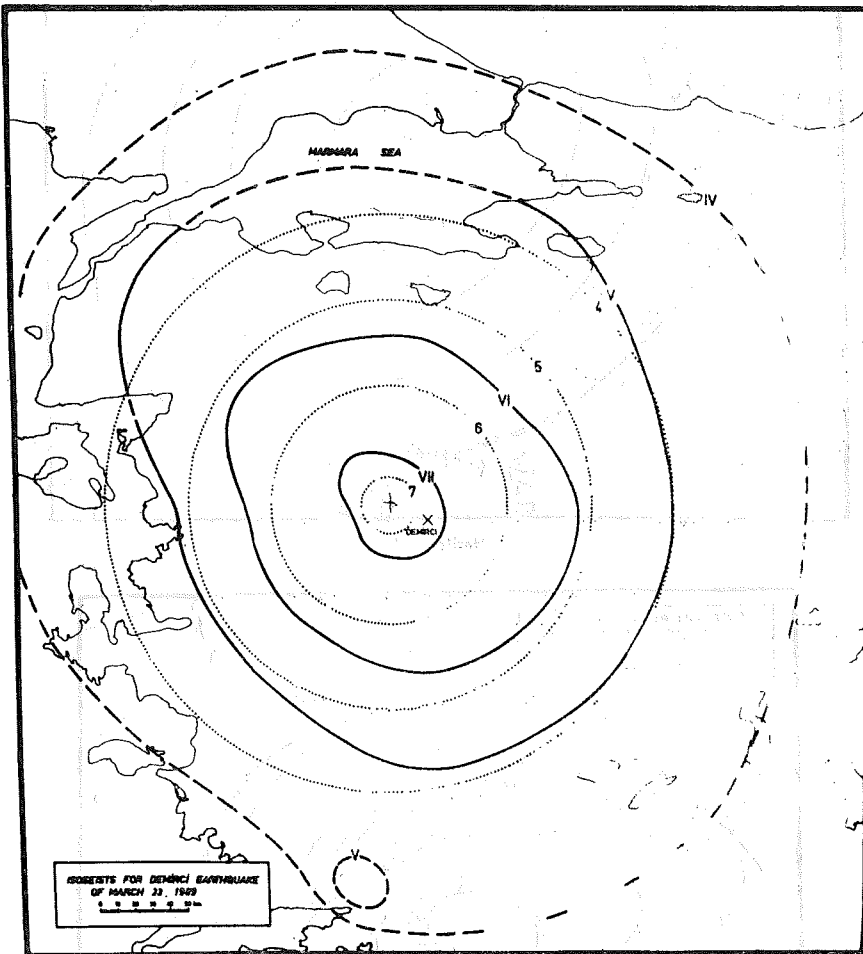
Harita - 1



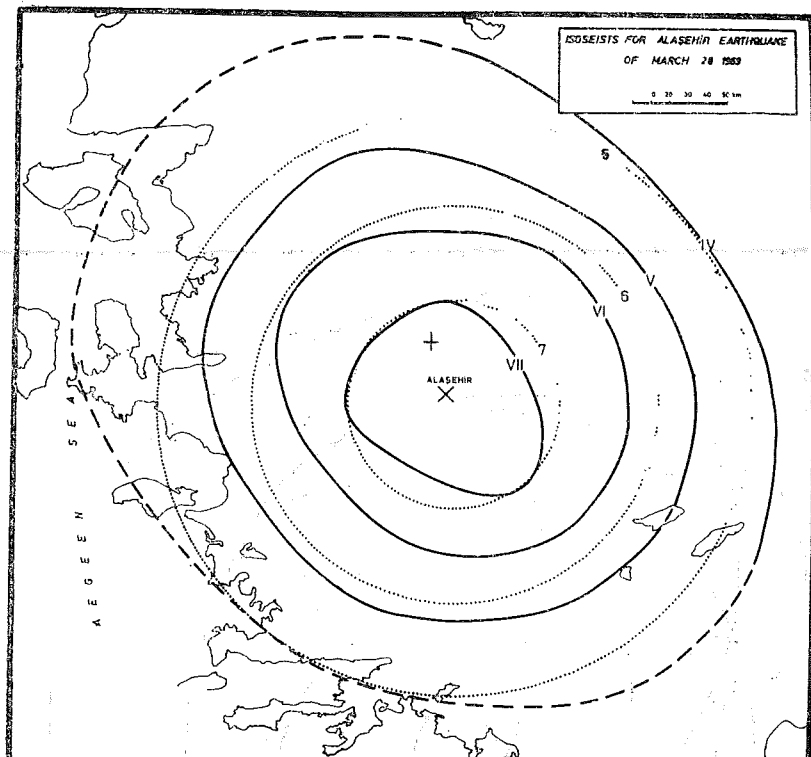




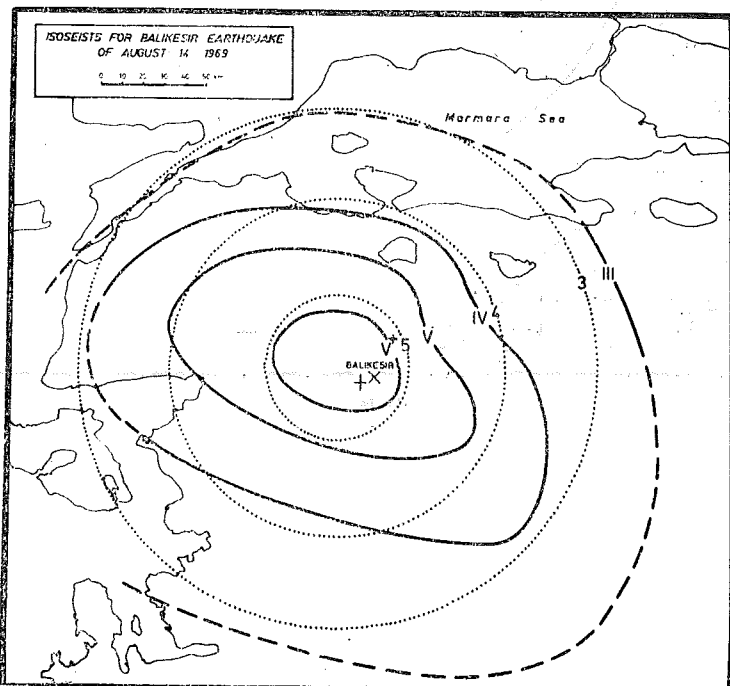
Harita - 6



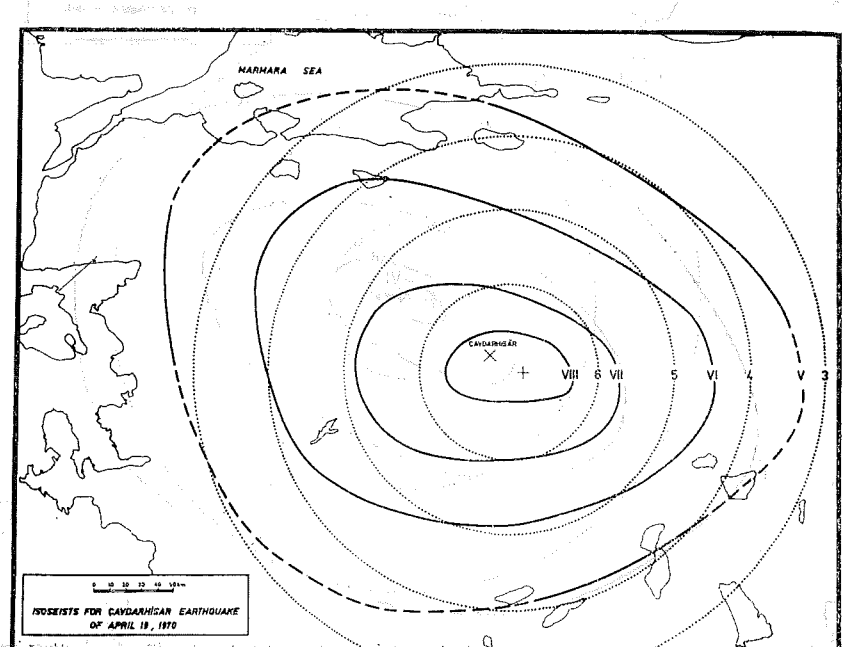
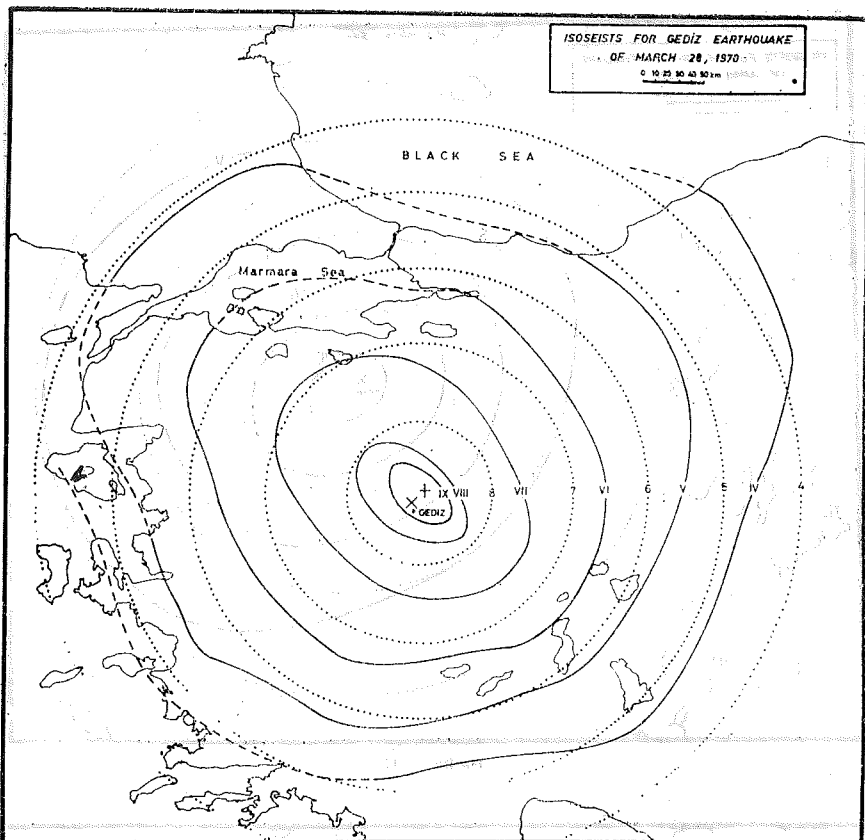
Harita - 7

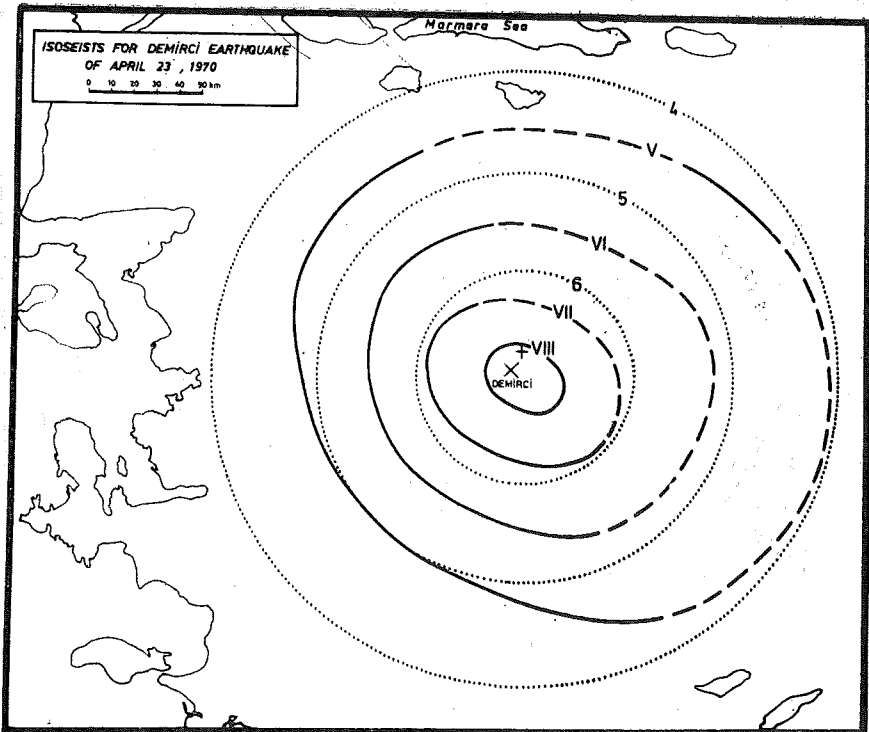


Harita - 8

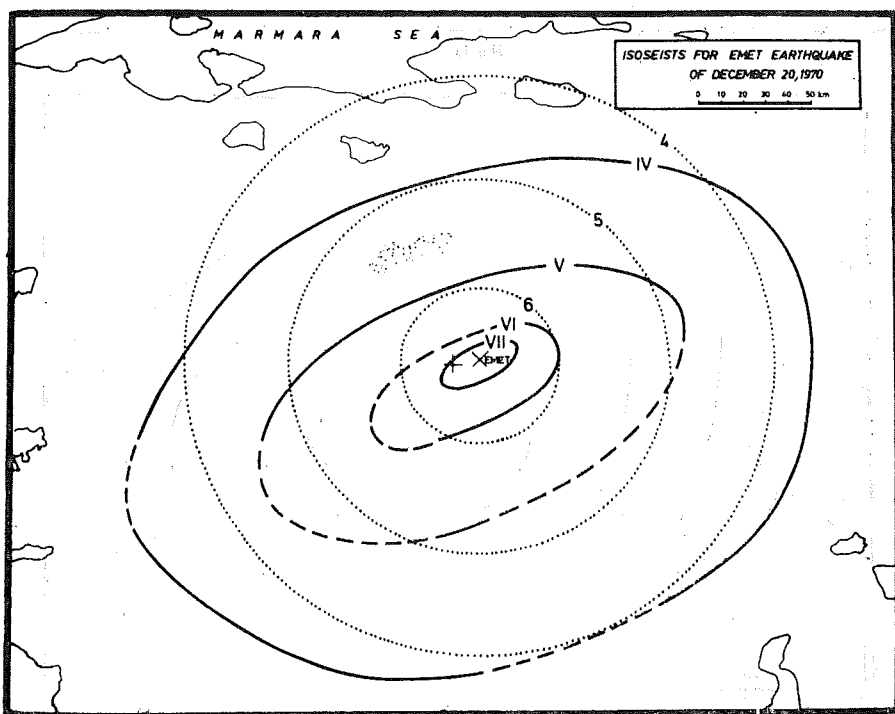


Harita - 9





Harita - 12



Harita - 13

**KAYNAKLAR**

## Atlas of Isoseismal Maps

- UNDP-UNESCO Survey of the Seismicity of the Balkan Region UNESCO,  
Skopje, 1974

W.G. Milne, A.G. Davenport (1969)

- Distribution of Earthquake Risk in Canada  
BSSA, Vol. 59, No. 2, pp 729-754

**I. Muramatsu (1969)** described a large body cavity in *Argulus* and *Lepeophtheirus*.

- Relation between the distribution of seismic intensity and the earthquake magnitude.

**Sci. Rep. Fac. Educ., Gifu Univ.** 4, pp. 168-176.

## TSUNAMİ (DENİZ TAŞMASI) VE TÜRKİYE KİYILARINI ETKİLEMİŞ TSUNAMİLER

Doç. Dr. H. SOYSAL (\*)

### GİRİŞ

Denizin, rüzgar veya AY-Güneş kökenli devinimleri dışında, düzenli akıntıları olduğu gibi, az rastlanan taşmalarına da tanık olunmaktadır.

Doğu Akdeniz ve ülkemiz kıyılarında dörtbin yıldan beri bilinen ve deniz taşıması olarak adlandırılan olay, Güney Amerika'nın batı ve Japonya'nın doğu kıyılarındaki körfezlerde sık gözlenen, bazen deprem kadar korkunç boyutlara erişebilen doğal olaylardan biridir.

Beklenmedik bir anda, rüzgar veya AY-Güneş kökenli devinimlerden bağımsız olarak deprem, volkan veya kıyı heyelani v.b. olaylardan sonra, denizin önce çekiliş (bazen çekilmeksiz) ve bir süre sonra otuz metreyi aşabilen yükseklikte, su duvarı gibi, dalgalar halinde saldırısı, ülkelere göre değişik sözcüklerle nitelenmiştir; Amerika'da Deniz Gel-Git Dalgası, Depremsel Deniz Dalgası; Uzak Doğu'da Katil dalga, Liman Dalgası, Japonya'da Tsunami; Doğu Akdeniz'de Deniz Taşması. Olayın günümüzde, Uluslararası bilimsel terimi de Tsunami'dır. Japon dilinde tsu = liman ve nami = dalga sözcüklerinden türetilmiş olan bu kavram, limana baskın yapan büyük dalga anlamını kapsamaktadır.

Bu incelemenin amacı, Tsunami'yi ve tarihsel belgelere göre, kıyılarımıza gözlenmiş tsunamileri tanıtmaktır. Özellikle Calvi (1941), Francis (1947), Ambraseys (1962), Antonopoulos (1972) kaynaklarından yararlanılmıştır.

### TSUNAMİ İLE İLGİLİ GÖZLEMLER

Ugarit ve Ras Şamra (Orta Doğu)'da bulunmuş yazıtlar, M.Ö. 2000 - M.Ö. 1370 yılları arasında, Suriye kıyılarında gözlenmiş tsunamileri belgeliyecek niteliktedir (C.F.A. Schaeffer, 1948). M.Ö. 1600 - M.Ö. 1500 yılları arasında, Giriş'te Minoan kültürünün, Santorin (Thera) volkan püskürmesinin oluşturduğu, deniz taşması, ile yıkıldığı iddia olunur (Marinatos, 1939). 21 Temmuz 365'de Doğu Akdeniz Depreminden sonra gözlenmiş deniz taşması İskenderiye'de 5.000 kişinin ölümüne ve Sicilyadan Suriye kıyılarına kadar olan alanda büyük hasara neden olmuştur (Ambraseys, 1962). 14 Aralık 557 depreminden

(\*) İstanbul Üniversitesi, Yer Bilimleri Fakültesi Jeofizik Bölümü

sonra taşan denizin, İzmit Körfezinde, kıyıdan üç mil (beş kilometre) ilerlediği gözlenmiştir (I. Francis, 1947). 14 Eylül 1509 İstanbul Depreminde Marmara kıyısı surlarının yıkılmasında, deniz taşmasının payı depremden az değildir S. Calvi (1941), Collection Académique (1761). 1 Kasım 1755 Lizbon depremini izleyen tsunami Portekiz, İspanya, Kuzey batı Afrika kıyılarında onbinlerce ölü saptanır ve Lizbon'da 5 m. yüksekliğinde dalgalar gözlenir. 9 Temmuz 1956 Ege denizi depreminde Patmos, Girit, Milos adalarında 80'den çok kırılı ufkaklı tekne parçalanır; özellikle Amorgos adası kıyılarında 25 m. yüksekliğinde dalgalara tanık olunur (Bolt 1978).

## ÖNEMLİ TSUNAMİLER

Miladi 358 yılında doğu Akdeniz'in plajlarını, kıyı ovalarını süpüren bir tsunami İskenderiye'de kalyonları çatılara çıkarır Ambraseys (1962). Aynı bölgede, aynı derecede, önemli ikinci tsunami 21 Temmuz 365 yılında izlenmiştir. 1586 yılında, Peru kıyılarında 28 m.ye erisen dalgalar Callao kenti ve çevresini süpürür; limandaki gemileri kıyıdan 4 km. uzağa sürüklüyor. 1703 de Japonya'da Awa ve 1868'de yine Callao dev dalgalarla süpürülür. Ağustos 26, 27 1883 Karakatao (Sumatra, Java adaları arasında) volkan patlamasının sonucu, 30 m. yükseklikte erisen dalgalar, 163 köyü, kentleri süpürmüştür, trenleri parçalamış, gemileri karaya sürükləmiş veya batılmış (5 bin gemi harap olur), limandaki bir Hollanda harp gemisi kıyıdan 3,5 km. içeriye ve deniz düzeyinden 10 m. yüksəğe sürüklənmiştir. Bu olay nedeniyle saptanan ölenlerin sayısı 36417'dir.

Kıyılarda gözlenen tsunamilerin listesi tablo 1'de sergilenmiştir. Görüleceği gibi en çok tsunami etkisinde olan körfez İzmit körfezidir. S. Calvi (1939, 1940) ve Francis (1947) belgelerine göre İzmit körfezinde denizin, 100 m. çekildikten sonra, baskın yapan dalgaların kıyıdan 2-3 km içeriilere ilerlediği, zamanın gemilerini sürüklendiği ve çok can kaybına sebep olduğu anlaşılmaktadır.

14.9.1509 İstanbul depreminden deniz öylesine tasarı ki Galataba su basar; dalgalar Marmara surlarını aşar ve binlerce kişi kaybolur.

## TSUNAMI İLE İLGİLİ GÖRÜŞLER

Her kıyı toplumunun denizle ilgili efsanesi ve destanı vardır. Bunların bir kısmı da tsunamiyle ilgilidir.

Tsunaminin oluşumu hakkındaki ilk yaklaşımlar, eski Yunan bilgelerinden Thucydides, Anaxagoras, Democrites, Aristotle, Strabon, Latin Pliny ve orta çağ işlem bilgini İbni Sînâ'ya aittir. Bunlar, tsunamilerin, genellikle, deprem sonucu oluşturduğu görüşündedirler. Yakın geçmişi (XIX. yüzyılda) konu ile Darwin ve daha çok Japon araştırmacıların ilgilendiği görülmektedir.

Bütün gözlemeş, deneysel ve kuramsal çabalar, bunlardan korunma ile birlikte, tsunami'nın oluşum nedenlerini belirleme amacını gütmektedir. Bu nedenle erişilen aşamayı belirleme ve bu aşamanın güvenilirliğini tartışmadan önce, olayın özelliklerini tanımk gereklidir.

## **TSUNAMİNİN ÖZELLİKLERİ**

Tarih boyunca yapılan gözlemler sonucu sağlanan bilgilere göre tsunami-lerin özellikleri aşağıdaki gibi özetlenebilir :

1) Denizde veya kıyı bölgesinde, 50 km'den sıçradıktan ve 6 Richter magnitüdünden büyük depremlerin olusundan, yanardağ patlamalarından veya denizaltı nükleer patlamalarından, derin ve dik kıyılarda, çok büyük bir kütlenin (Kaya, buzul, heyelan v.b.) denize düşmesinden bir süre sonra (bu süre; Marmara ve Ege gibi kıyılarda birkaç dakika, Pasifik kıyılarında ise birkaç saatte güne kadar değişir) oluşan bazen denizin çekilişinden sonra, bazen de çekilmeksızın aniden, su duvarı olarak nitelenebilecek, dalgaların baskını olan bir olaydır.

2) Tsunami dalgalarının Pasifik'in bir uça (Güney Amerika-Japonya) asabildiği, açık denizde sezilemeyecek nitelikte olan bu dalgaların U veya V biçiminde bir körfeze eristiğinde, 35 metreye kadar yükseltilmiş gözlenmiştir. Tsunamilerin meydana getirdiği dalga yüksekliği, körfez tabanının tofografyası ve dalgayı oluşturan kaynağın gücü ile, körfeze göre konumuna bağlıdır.

3) a. Tsunami öncesinde, kuyu sularının belirli biçimde yükseldiği veya çekildiği; denizde, beklenmedik renkli ışıkların görüldüğü ve gürültülerin, (gök gürlemesi, ya da top sesi gibi) işitildiği belirlenmiştir.

b. Tsunami sonrasında, olayın geçtiği kıyılarda bilinmedik, değişik türde deniz canlılarının kıyıya sürüklendiği saptanmıştır.

c. Dünyadaki tsunamilerin % 10'unun Akdeniz, % 10'unun Atlantik ve % 80'inin de Pasifik kıyılarında olustuğu bilinmektedir. Karadeniz ve benzeri iç denizlerde de tsunamiler gözlenmiştir.

4) Tsunamilerde meydana gelen deniz dalgalarının firtına nedeniyle olan dalgalarдан ayrıcalığı :

a. Fırtınalar, okyanuslarda, ortalama 15-20 metre yüksekliğinde dalgalar oluştururken, tsunamilerde meydana gelen deniz dalgalarında, bu değer 35 m.ye erişir. Akdeniz'de rüzgar kaynaklı dalgalar 5-6 metre yüksekliğe erişirken, Tsunami dalgaları 10 metreyi aşmaktadır. Her iki tip dalganın peryot, uzunluk ve yayın hızları için gözlenmiş değerler aşağıdaki tabloda gösterilidir, Jida (1958).

Dalga Cinsi	Peryot	Dalga Uzunluğu	Yayın Hizi
Rüzgar Dalgası	15 sn	300 m	20 m/sn
Tsunami Dalgası	7-20 dak	300-400 km	250-300 m/sn

b. İlerleyen su dalgalarının özellikleri :

Genellikle sularda iki tip dalga gözlenir :

— Duran dalgalar —————— (yazılımının ortasındaki çizgi, dalganın birer durağıdır)

— İlerleyen dalgalar —————— (yazılımının ortasındaki çizgi, dalganın birer ilerleyicidir)

Tsunamiler, rüzgar'ın ilettiği gibi ilerleyen dalgalarıdır. Bu tür dalgalar ağırlık kuvvetinin etkisinde olduklarıdan ağırlık (gravite) dalgası adını alırlar ve ilerleme hızları yerçekimi ivmesi, su derinliği ve dalga boyunun karmaşık fonksiyonu olarak saptanır. Su derinliği ( $h$ ) ile dalga boyunun ( $L$ ) büyükliklerine göre ilerleyen dalga, belirgin iki özellik gösterir :

— Sığ sularda, su derinliği dalga boyuna göre küçük olduğundan ilerleyen dalga uzun,

— Derin sularda ise, öncekinin aksine, olduğundan, ilerleyen dalga kısa dalga olarak adlandırılır. Uzun dalgaların hızı, sadece su derinliği ile yerçekimi ivmesinin; kısa dalgaların hızı ise sadece dalga boyu ile, yerçekimi ivmesinin fonksiyonu olurlar. Bütün uzun dalgalar aynı hızla yol alırlarken, bütün kısa dalgalar dalga boyuna bağlı olarak değişik hızlarla ilerlerler.

Öz olarak :

— Sığ sularda dalgalar  $H_{uz}^2 = gh$  hızı ile

— Derin sularda dalgalar,  $H_k^2 = gL/2\pi$  hızı ile ilerler.

Tsunami dalgasının peryodu ise  $T_p^2 = 4L/gh$  olarak saptanır.

1 : Körfez uzunluğu (m)

$h$  : körfezin ortalama derinliği m

$g$  : yer çekimi ivmesi olmak üzere saptanır.

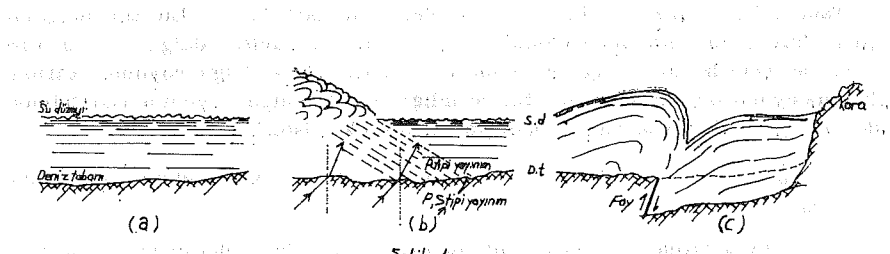
Açık denizden bir körfeze yaklaşan dalga, derin su dalgasından sığ su dalgasına dönüşür. Körfeze doğru su derinliği giderek azalıyorsa, dalga hızı da azalır. Bu değişime, dalganın kırılmasını sonuclandırır. Açık denizde ilerleyen dalga, koy ve nehir ağızlarında duran dalgaya dönüşerek şekil 2 de görüntüldüğü gibi su duvarı şeklinde bir dalga olarak kıyıyla erişir ve benzer dalgalar birbirini izler.

Dalga yükseklikleri ve kıyıyla etkileri, belirli körfezlerde, körfezin geometrisine bağlı olarak değişir. Olayın gelişimi bir rezonans olayı olarak nitelenir. Tsunaminin maksimum dalga yüksekliği ile, deprem enerjisi arasında deneysel bir ilişkiden yararlanarak, tsunami yüksekliği ve benzer biçimde şiddeteti ve enerjisi yaklaşık olarak saptanabilmektedir Jida (1958).

## TSUNAMİLERİN OLUSUMU

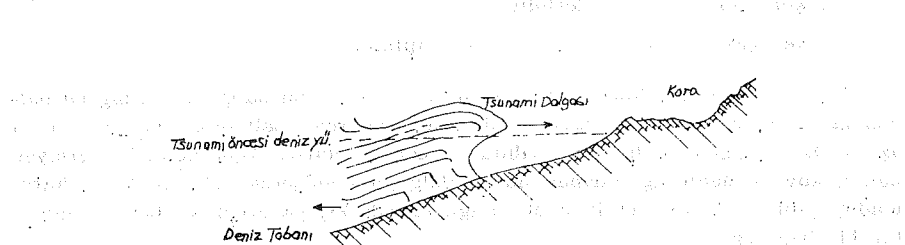
Bütün gözlemsel, deneysel ve kuramsal uğraşlar sonunda birçok değişik mekanizmanın veya onların bileşkelerinin, tsunamileri oluşturabileceği, görüşü yaygınlaşmıştır. Kisaca denebilir ki her tsunaminin kendi karakteristikleri ve üretici nedenleri olabilir. Japon araştırcılara göre, genellikle tsunamilerin, eğim ataklı faylanmalarla ilişkili olduğu kanısı yaygındır.

Dolaylı veya dolaysız olarak tsunamiyi oluşturan nedenlerden biri depremdir. Türkiye kıyılarında gözlenen tsunamilere, genellikle depremler neden olduğundan, burada, kısaca ayrıntılarla girmek gerekli görülmüştür.



## Sekil - 1 - Deprem dalgasi

Şekil 1 de görüleceği gibi, deprem dalgasının deniz tabanına erişmesi (b) veya tabanda bir fay oluşumu sonucu (c) durumu belirir; (b)'de dalga cephesinin, (c)'de ise âni kopmanın etkisi ile su kütlesi de denge konumunu değiştirdi, dalgalanmaya başlar. Harekete başlayan su kütlesi sıç ve geniş kıyılarda dağılıp sâkinleşir. Açıkdenizden U veya V şeklindeki körfeze yaklaşan dalga, derin su dalgasından sıç su dalgasına dönüşür; körfeze doğru su derinliği azalıka dalga hızı da azalır; böylesine hız azalması dalga boyunun azalmasını ve dalgaların kırılmasını gerektirir. Üst üste binen dalgalar (Şek. 2), bir duvar şeklinde yükselsir ve tsunamiyi oluşturur.



-Sekil-2-

Kırılgık üstüste yığılan dalgalar

## TSUNAMI HASARININ ÖZELLİKLERİ

Söz konusu hasar; tsunami dalgasının yüksekliği, peryodu ve kıyı arazisinin topoğrafyasına bağlı olarak değişik özellikler gösterir.

#### Tsunami dalgaları :

- 1) Kırıp parçalamak,
  - 2) Süpürüp götürmek ve
  - 3) Karaya baskın nitelğinde hasarlar yaparlar. Bunlardan birincisi V şekländeki körfezlerde kısa peryodlu tsunami dalgalarının oluşturduğu hasarlardır. Bunda, suyun çarpmasının yıkıcı etkisi büyüktür. Sürükleyip götürme, çok kere suyun eklebilir araziye zarar vermesi şeklinde sonuçlanır. Bu nedenle meydana gelen bataklıkların temizlenmesi de ayrı bir sorun olur.

## **TSUNAMIYE KARŞI KORUNMA ÇARELERİ VE ÖNERİLER**

Korunma konusunda en önemli etken tsunamiyi önceden tahlidir. Bu nün igin, olan bir depremin episantırı ve büyülüğünü en kısa sürede belirleyip tsunami oluşturma olasılığı gözönüne alınarak, etki alanındaki halkı uyarmaktır. Diğer bir yöntem deniz düzeyinin değişimlerini izlemektir. Çünkü Tsunami öncesi deniz su düzeyinde ani çekilme ve yükselmeler gözlenmektedir.

Önemi gereğince, özellikle Pasifik kıyılarının sakinlerini Tsunamiye karşı koruma amacı ile uluslararası danışma merkezine (Honolulu'da) haber iletme için, 24 sismik istasyon, 53 deniz düzeyinin dezinimini değerlendiren (máreograf) ve 52 de haber istasyonu kurulmuştur.

Gel-git (Med-cezir) etkisiyle deniz düzeyi değişiminin incelenmesinde kullanılan aletler, örneğin mareograf v.b., bulunduran istasyonlardan Karadenizde 9 SSCB ve Ege denizinde birkaç Yunanistan istasyonu vardır. Üç yanı deniz olan ülkemizde bu konuya da gerekten önemini verildiği söylemeyez.

Güncel bilim ve teknoloji, eski verileri gözönlüne alarak bir körfezin batimetrik ve konum özelliklerine göre, gelecekteki Tsunamilerin erişebilecekleri yükseklikleri saptamaya ve önleyici dalgı kırın yapmaya ve benzeri önlemleri almaya olanak sağlayabilmektedir.

Eklı liste ve haritadan anlaşılabileceği gibi, Marmara, Ege ve Akdeniz kıyısı körfezlerimizde önemli tsunamilerin gözlemediğini tarihsel belgeler kanıtlamaktadır. Karadeniz kıyılarında da az olmakla beraber tsunamiler gözlenmiştir. Eldeki verilere göre tsunami bakımından en tehlikeli yöreler İzmit ve Gökova körfezleridir. Sonuncu ile ilgili verinin olmayışı, bu yörede önemli yerleşme merkezinin yokluğu ile açıklanabilir. Çünkü benzer tarihsel verilerin sağlanabilmesi, yörenin yerleşim yoğunluğu sürekliliği ve toplumun kültürel düzeyi ile ilişkilidir.

Bütün vurdumduymazlıklara karşı aşağıdaki öneriler gerekli görülmüşür.

1) Kıyılarımızda oldukça uzun süreden beri önemli tsunami gözlemedimiştir. Ancak bunun hiç olamayacağı, anlamına da alınması gereklidir. Hiç deşilse, körfezlerimizdeki yurttaslara, sorumlulara ve yetkililere denizin geldiği görüldüğünde, olabildiği kadar çabuklukla, yüksek yerlere kaçılmasıının gerekliliği duyurulmalıdır.

2) Bu nedenle aynı zamanda Gölcük tersanesinde çalışan personelin ve körfezlerdeki toplu işyerlerinde çalışanların önemlice deprem hissedildiğinde, birkaç dakika içinde yüksek yerlere kaçmaları zorunlu kılınmalıdır.

İzmit Körfezinde, çekilen denize yürüyen meraklılarla, bunları seyredenlerden beşbin kişinin boğulduğunu kanıtlayan belgeler gerektiriyor bu uyarıyı.

## **TÜRKİYE KIYILARINI ETKILEMİŞ TSUNAMI LISTESİ**

Bu liste S. Calvi, 1941; J. Francis 1947; Ambraseys, N.N. 1962; Moreira, V.S. 1971; Antonopoulos, J. 1972 referanslarından derlenmiştir. İncelenen yukarıda araştırmalarda birbirleriyle çelişkili bigilere rastlanmıştır. Şimdilik sa-

dece değişik kaynaklardan sağlanan tsunamilerin tarih ve yerlerini belirlemekle yetinilmiştir. Söz konusu tsunamilerle ilgili özgün kaynakların incelemesinden sonra dalga yükseklikleri ile, oluşturdukları zararlar konusuna TUBİ TAK projesi olarak geliştirilmekte olan Türkiye Depremleri katalogunda degililecektir.

<b>Tarih</b>	<b>Bölgesi</b>
1) 1.Ö. 1300	Çanakkale yöresi, Truva
2) 76-78	Kıbrıs, Larnaka, Baf, Salamis
3) 142	Fethiye Körfezi
4) (261-262)	Anadolunun Güney Kıyıları
5) 325	İzmit K.
6) 342	Kıbrıs, Larnaka
7) 344	Çanakkale yöresi
8) 24.8.358	Kocaeli Körfezleri
9) Kasım 447	Marmara Kıyıları, İstanbul
10) Ocak 450	Marmara Kıyıları, İstanbul
11) 26.9.488	İzmit K.
12) 525	Anadolunun Güney kıyıları
13) Kış 529	Marmara'nın Trakya kıyıları
14) Kış 542	Batı Trakya kıyıları, Bandırma Körfezi
15) 6.9.543	Edremit Körfezi
16) 15.8.553	İstanbul, Kocaeli Körfezleri, Deniz 2 mil ilerlemiştir.
17) 15.8.554	Güney Batı Anadolu Körfezleri
18) 15.16.855	İstanbul ve İzmit Körfezi
19) 14.12.557	İstanbul, İzmit Körfezi, Deniz 3 mil ilerlemis, 5 bin ölü.
20) 715	İstanbul, İzmit Körfezi
21) 26.10.740	Marmara Kıyıları İzmit Körfezi
22) 19.12.803	İskenderun Körfezi
23) 26.10.975	İstanbul, Marmara'nın Trakya kıyıları
24) 989	İstanbul, Marmara kıyıları
25) 990	İstanbul, Marmara kıyıları
26) Ocak 1039	İstanbul, Marmara kıyıları
27) 23.9.1064	İstanbul, Bandırma Körfezi
28) 5.1222	Kıbrıs : Limasol, Baf
29) 12.2.1332	Marmara kıyıları
30) 14.10.1344	İstanbul
31) 20.3.1389	Sakız Adası
32) 16.11.1403	Anadolu'nun Güney kıyıları
33) 3.5.1481	Rodos Adası, Anadolunun Güney kıyıları
34) 1489	Anadolu'nun Güney kıyıları
35) 14.9.1509	İstanbul; Marmara kıyısı surlarını aşan dalgalar kentin bir çok yerlerini ve Galata'yı sular altında bırakır. Binlerce can kaybı olur.

Tarih	Yer	Geçen Yıllardan İtibaren Bölgesi ile İlgili Gemi kayıp ve kaybolan gemi harab olur.	İnceleme İHM (1981)
36) 5.4.1641	İstanbul	İstanbul, 136 gemi harab olur.	(1981) 1. Mih. 1. sayı
37) 30.11.1667	Izmir Körfezi	Izmir Körfezi	(1981) 1. Mih. 1. sayı
38) 10.7.1668	Izmir Körfezi	Izmir Körfezi	(1981) 1. Mih. 1. sayı
39) 22.5.1766	İstanbul	İstanbul	(1981) 1. Mih. 1. sayı
40) 23.5.1829	İstanbul	İstanbul	(1981) 1. Mih. 1. sayı
41) 28.2.1851	Fethiye Körfezi	Fethiye Körfezi	(1981) 1. Mih. 1. sayı
42) 3.4.1851	Fethiye Körfezi	Fethiye Körfezi	(1981) 1. Mih. 1. sayı
43) 23.5.1851	Rodos Adası	Rodos Adası	(1981) 1. Mih. 1. sayı
44) 12.5.1852	Izmir Körfezi	Izmir Körfezi	(1981) 1. Mih. 1. sayı
45) 8.9.1852	Izmir Körfezi	Izmir Körfezi	(1981) 1. Mih. 1. sayı
46) 9-13.2.1855	Fetfiye Körfezi	Fetfiye Körfezi	(1981) 1. Mih. 1. sayı
47) 13.12.1856	Sakız Adası	Sakız Adası	(1981) 1. Mih. 1. sayı
48) 2.2.1866	Sakız Adası	Sakız Adası	(1981) 1. Mih. 1. sayı
49) 19.4.1878	İzmit Körfezi	İzmit Körfezi	(1981) 1. Mih. 1. sayı
50) 10.5.1878	Anadolunun Güney kıyıları	Anadolunun Güney kıyıları	(1981) 1. Mih. 1. sayı

**TSUNAMI İLE İLGİLİ KAYNAKLAR**

- Ambraseys, N.N. (1962) Data for the Investigation of the Seismic sea waves in the Eastern Mediterranean. Bull. Seism. Soc. Ame. 52/4 (1962) 1. sayı
- Antonopoulos, J. (1972) Seismic sea waves in the Eastern Mediterranean (1500-1969). Ph. degree. Thesis, Not Published; Univ. London.
- Bolt, B.A. (1978) Earthquake a primer. Freeman Comp.
- Calvi, S. (1941) Türkiye ve bazı komşu ülkelerin Deprem katalogu. M.T.A.E. Rap. No. 276 Almanya Yayınlanmamış. (254 S. teksdi).
- Calvi, S. (1939) Bir zelzele kanunu Tanziminin lüzumu hak. rap. M.T.A.E.
- Anonim Collection Académique. Tome 6<sup>ème</sup> de la partie étrangère et 1<sup>er</sup> Tome de la physique Experimentale sépirée Dijon et Paris 1761.
- Francis, I. (1947) Bizans kaynaklarına göre Orta Şarkta vuku bulan zelzeleler. (1-1600). İ.Ü. Edb. Fak. Coğ. Bl. Bitirme Tezi.
- Gauroy, P. (1968) La Terre et ses cloères. Andre Bonne, Paris.

- Heck, N.H. (1947) List of seismic sea waves.  
Bull. seis. soc. Am. 269-288
- Jida, K. (1963) Intern. Union Geod. Geophys. Monograph. No. 24 Paris.
- Lane, F.W. (1968) The Elements Rage,  
Vol. 1 Earth and Air.  
Sphere Books Ltd. London.
- Mariantos, S. (1939) 2. ci Bin yilda Girit Adası ve Girit-Anadolu Dün-  
yası.  
II. ci Tarih Kongresi, Devlet Basimevi İst.
- Marinatos, S. (1939) Antiquity XII. 425-The Volcan Destruction of  
Minoan Creten.
- Moreira, V.S. etal (1966) Progress Report of the S.C. on Tsunami.  
E.S.C. Copenhagen.
- Moreira, V.S. (1971) "Earthquakes and Tsunami in the European Area"
- Schaeffer, C.F.A. (1948) Stratigraphie Comparée et Chronologie de  
l'Asie occidentale.  
Oxford Univ. Press, London.
- Scheidegger, A.E. (1975) Physical Aspects of Natural Catastrophes.  
Elsevier 1975.
- Tofini, P. (1969) La Planète Terre.  
Collection Marabout.
- Tsuruta, C. (1970) TSUNAMI (İngilizce teksir).
- Spar, J. (1962) Earth, sea an dAir Addison-Wesley Publ. Comp.

depremle ilgili çalışmaların genelde, zeminin dinamik özelliklerinin belirlenmesiyle başlayıp, bu dinamik özelliklerin nasıl meydana geldiğine ve hangeden kaynaklanıp, nihayet depremle ilgili laboratuuar testlerinin nasıl yapılmış olduğu konularına odaklanılmıştır.

## DEPREMLE İLGİLİ ZEMİN PARAMETRELERİNİN ELDE EDİLMESİNEDE KULLANILAN LABORATUAR DENEYLERİ

Kemal Özüdoğru(\*)

### SYNOPSIS

In the past 10 years a number of laboratory tests have been developed to determine the dynamic properties of soils which is required for earthquake and vibration problems.

There are five basic cyclic loading or vibratory tests to measure dynamic shear modulus and other soil parameters in the laboratory. These tests include :

- 1) The dynamic triaxial tests, 2) Cyclic simple shear tests, 3) Cyclic torsional shear tests, 4) Rezonant column tests, 5) Shake table tests. The importance and shortcomings of these tests are discussed in the paper.

### GİRİŞ

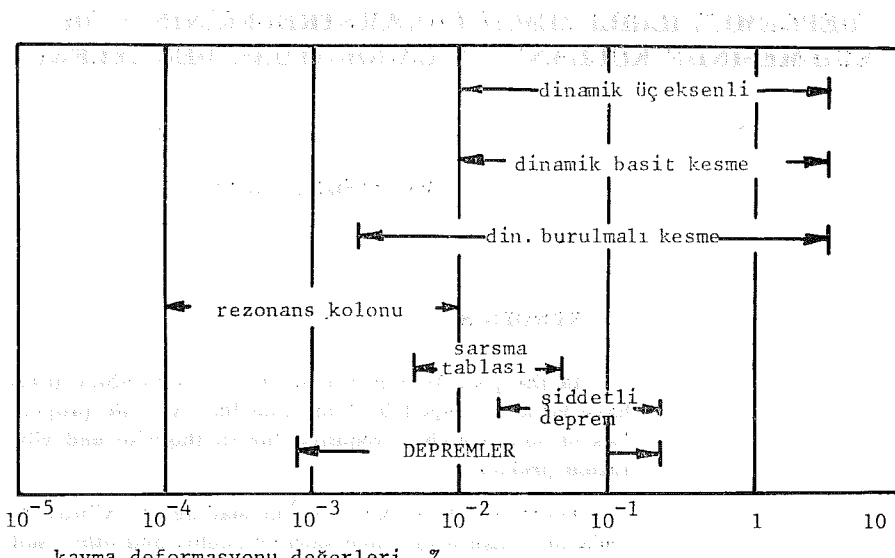
Şimdide kadar ve halen zeminin depremle ilgili dinamik özelliklerinin tayininde 5 tip laboratuuar deneyi yapılmaktadır. Bunlar;

- I. Dinamik üç eksenli deneyi
- II. Dinamik basit kesme deneyi
- III. Dinamik burulmalı kesme deneyi
- IV. Rezonans kolonu deneyi
- V. Sarsma tablosu deneyi

şeklinde sıralanabilirler. Numuneler bu deneylerde eksenel ve/veya yanal gerilmelere veya serbest titresimlerle, zorlanmış titresimlere tabi tutulurlar. Dinamik gerilmelerle yapılan yükleme sürecinde gerilme-deformasyon bağıntıları doğrudan doğruya ölçülebilir. Zorlanmış veya serbest titresimlere tabi tutularak yapılan deneylerde amaç, kayma modüllerinin elde edilmesidir. Depreme

(\*) İTÜ, İnşaat Fakültesi Zemin Mek. ve Tem. İng. Kürsüsü

İlgkin uygulamalarda bunlardan dinamik yükleme deneyleri büyük deformasyon seviyelerinde, serbest ve zorlanmış titresimlere tabi tutularak yapılan deneyler ise küçük deformasyon seviyelerinde daha faydalıdır (Şekil 1).



**Şekil 1. Laboratuarda kullanılan aletlerin deprem deformasyonlarına uygunluğu.**

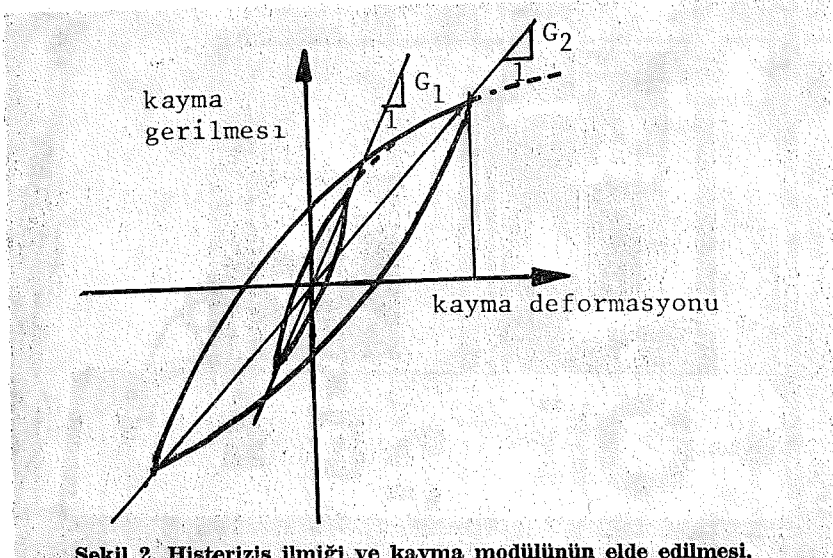
Genellikle laboratuuar deneylerindeki en önemli sorun örselenmemis numune elde edilmesidir. Özellikle orta katılıkta killerle, hassas killer ve siltler örselenmeden çok etkilenirler. Bu nedenle deney sonuçlarının değerlendirilmesinde mühendisin tecrübeşi önemli bir rol oynar.

### I. Dinamik Üç Eksenli Deneyi

Halen İ.T.Ü. İnşaat Fakültesi Zemin Mekaniği laboratuuarında zeminlerin depremle ilgili parameterlerinin araştırılmasında dinamik üç eksenli deneyleri kullanılmaktadır. Toğrol, Özüdoğru ve Güler (1977), Özüdoğru (1979). Bu deneylerde numuneye eksenel yükleme uygulanarak zeminin dinamik gerilme-deformasyon bağıntıları potansiyometrik kaydediciler vasıtasiyla doğrudan elde edilebilmektedir. Bu bağıntılardan zeminin Elastisite ve Kayma modülleri kolaylıkla hesaplanabilir. Özellikle eğer x—y iki kanallı kaydedici kullanırsak numuneye tatbik edilen dinamik deviyatör gerilmeler her yük tekrarında deformasyonla birlikte bir histerizis ilmiği çizerler (Şekil 2).

Bu ilmiğin uçlarını birleştiren doğrunun eğiminden  $G$  ve  $E$  elde edilebilir.  $E$  elde etmek için  $G = \frac{2(1-\mu)}{\mu}$  denklemi kullanılır. (1)

bağıntısından  $E$  kolaylıkla tayin edilebilir.



**Sekil 2. Histerizis ilmiği ve kayma modülünün elde edilmesi.**

İ.T.U. İnşaat Fakültesi Zemin Mekanığı Laboratuvarında yapılan araştırmalarda iki tip dinamik üç eksenli yükleme tekniği kullanılmaktadır (Şekil 3), (Şekil 4).

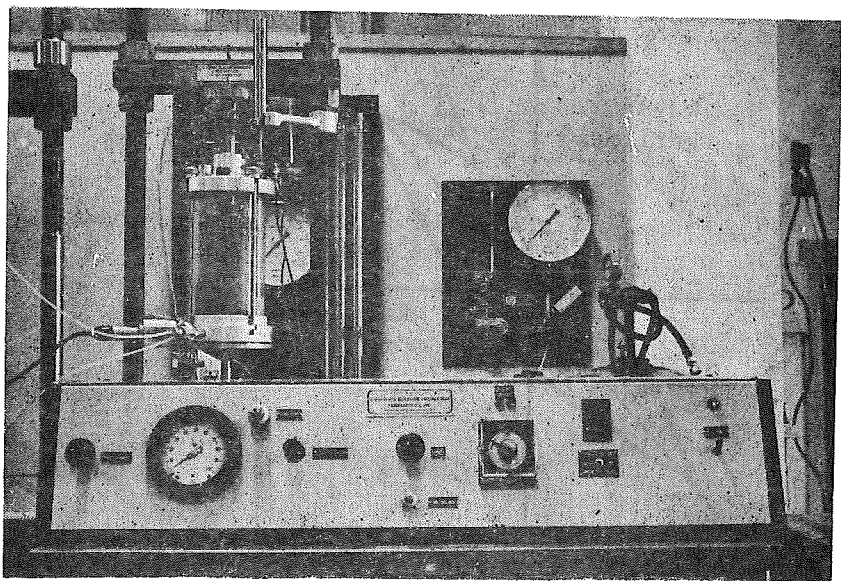
Üç eksenli aletin mühendislik pratiği bakımından çok yönlülüğü olmasına rağmen arazi gerilme şartlarının uygulanması bakımından aşağıda belirtilen sınırlırmalar söz konusudur.

- Arazide, başlangıçta, düşey olan büyük asal gerilme deprem esnasında düşeyle sağa ve/veya sola yaklaşık  $40^\circ$  açı yapar. Halbuki üç eksenli yüklemede asal gerilme ancak  $90^\circ$  lik açı değişmesi yapabilir.
- Laboratuarda üç eksenli şartlarında zemin numunesi her üç asal gerilme doğrultusunda deformasyona uğrar. Halbuki deprem sırasında zemin arazide büyük bir ihtimalle basit kaymaya veya tek yönlü olarak deformasyona maruz kalır.
- Numune bağlıları zemin numunesinin üniform olmayan gerilme ve deformasyonlara maruz kalmasına neden olurlar.

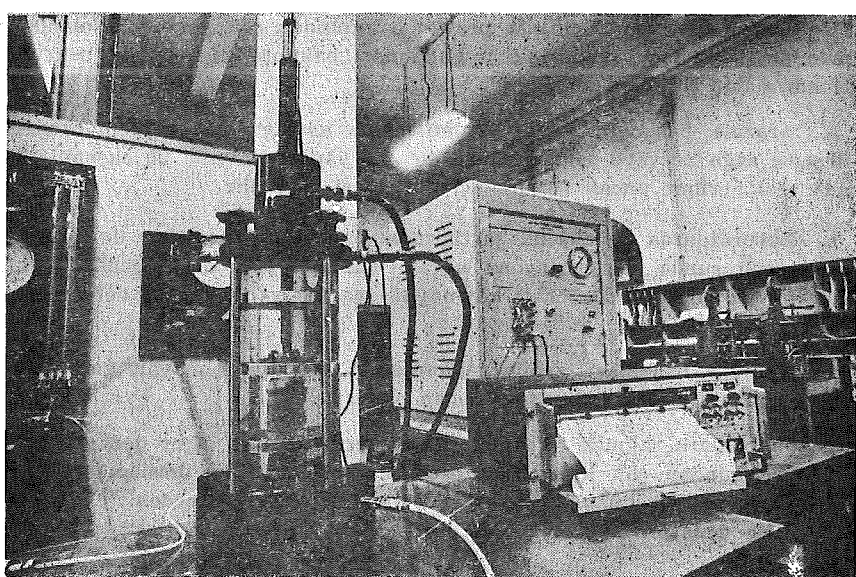
Bütün bunlara rağmen bu kabil eksikliklerin birçoğu diğer deneylerde de mevcut olduğundan çok kullanılma özelliği, örselenmiş ve örselenmemiş numune hazırlayabilme kolaylığı, deneylerin yapılmış kolaylığı nedeniyle en fazla tercih edilen deneylerdir.

## II. Dinamik Basit Kesme Deneyi

Zeminin depreme ilişkin özelliklerini ve sivilaşma karakteristiklerini test bit için son on yıl içinde üç tip basit kesme aleti gerçekleştirılmıştır. Bunlardan ikisi küçük boyutlu numunelerde üçüncüsü ise büyük boyutlu kil numunelerinde deney yapacak özelliktedir.



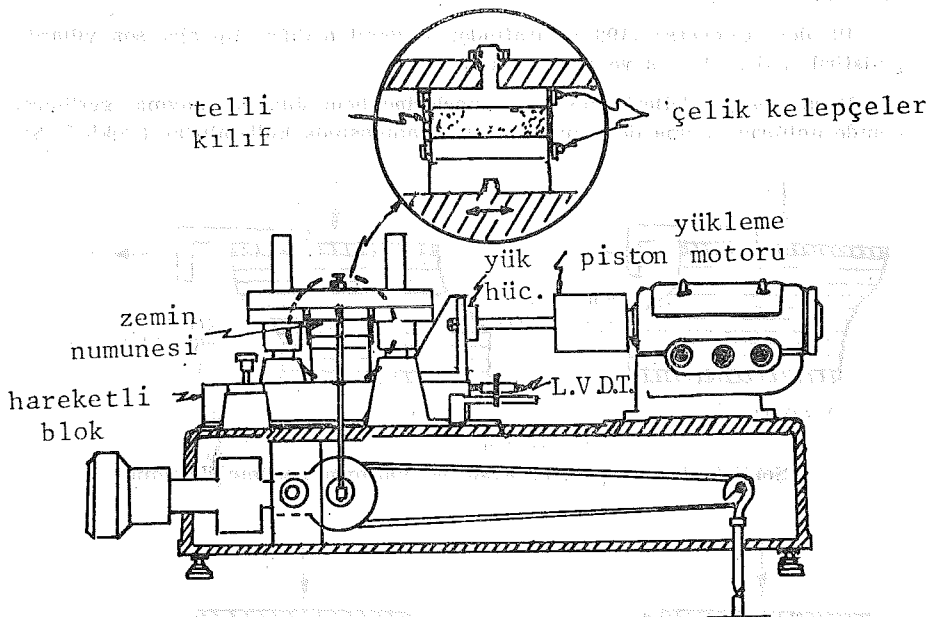
Şekil 3.\* Dinamik üç eksenli yükleme aleti (bir yönlü)



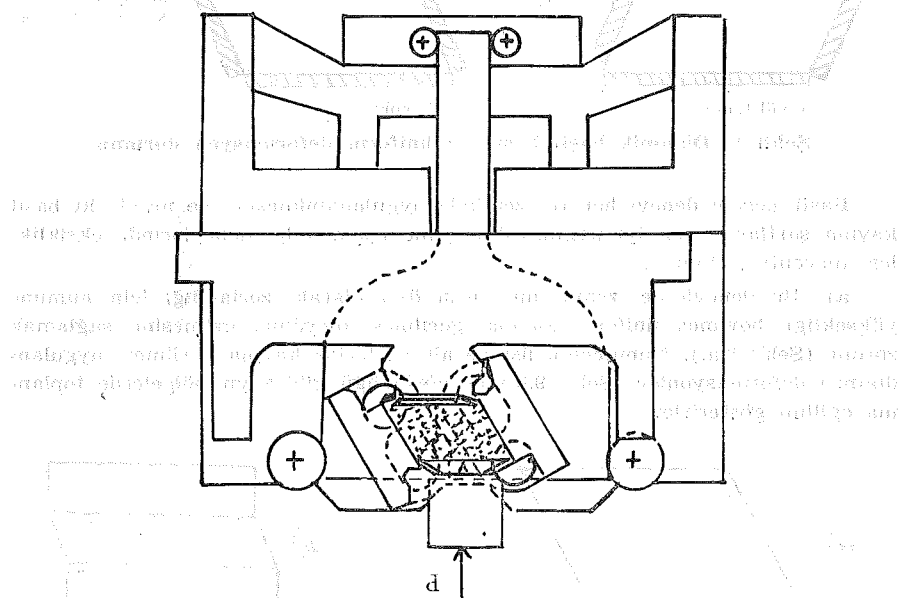
Şekil 4.\* Dinamik üç eksenli yükleme aleti (iki yönlü)

(\*) İ.T.U. İnşaat Fakültesi Zemin Mekanığı Laboratuari.

**1. Küçük Ölçekli deneyler** (alt tane) numune kesme aleti (Şekil 5).  
Deneylerde birinde numune kesiti dairesel (Şekil 5), diğerinde dikdörtgenlidir (Şekil 6).



Sekil 5.\* NGI geliştirilmiş dinamik basit kesme aleti.

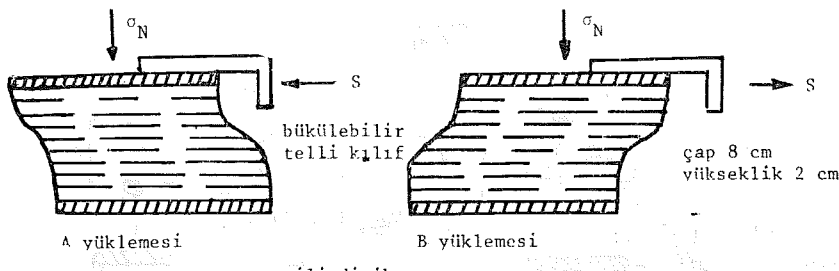


Sekil 6. Dikdörtgen kesitli dinamik basit kesme aleti.

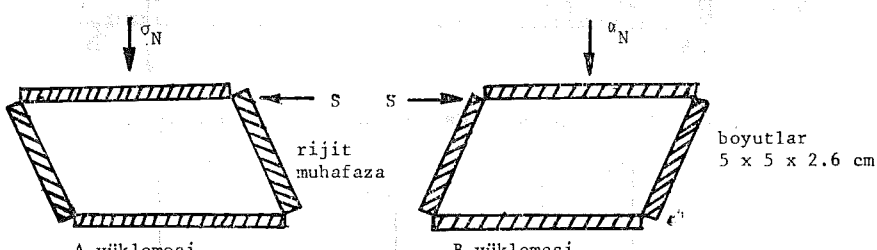
Dikdörtgen numunelere uygulanan ilk deneyler Seed ve Peacock (1968) tarafından yapılmıştır. Bu deneylerde arazide deprem sırasında basit kayma şartlarının ve sıvılaşma karakteristiklerinin üç eksenlidenden daha iyi elde edilmesi mümkündür.

İlk defa Converse (1961) tarafından kullanılan diğer tip alet son yıllarda geliştirilmiştir. Theiers ve Seed (1968).

Basit kesme aletleri zemin numunelerine hem üniform kayma gerilmesi hemde üniform kayma deformasyonu uygulanmasında kullanılırlar (Şekil 7, 8).



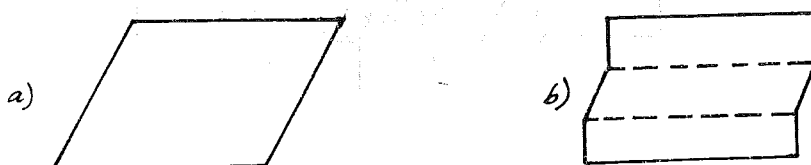
**Şekil 7. Dinamik basit kesmede üniform gerilme durumu**



**Şekil 8. Dinamik basit kesmede üniform deformasyon durumu**

Basit kesme deneyi her tip zeminde uygulanabilmesine ve arazideki basit kayma şartlarını çok iyi uygulayabilmesine rağmen bu deneylerinde eksiklikleri mevcutur. Bunlar;

a) Bu deneylerde zemin numunesi özel olarak zorlandığı için numune yüksekliği boyunca üniform kayma gerilmesi meydana gelmesini sağlamak zordur (Şekil 9.a.). Numunenin üst ve alt yüzlerine kayma gerilmesi uygulandığında deformasyonlar (Şekil 9.b.) de görüldüğü gibi zayıf bölgelerde toplanma eğilimi gösterirler.



**Şekil 9. Basit kesmede numune deformasyonları**

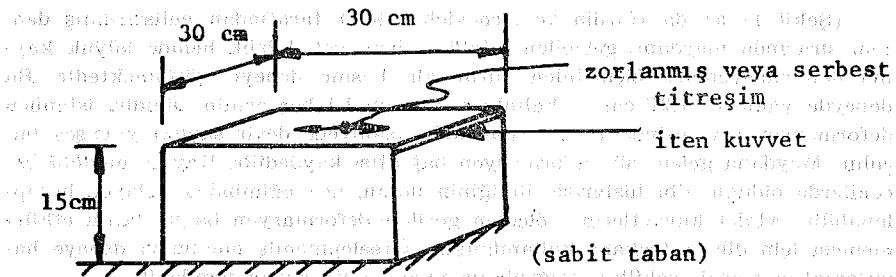
b) Numune genişliği boyunca uniform kayma gerilmesi uygulanmasında zorluk vardır.

c) Numunenin düşey yüzlerine kayma gerilmesi uygulanamaması köşelerde yakın yerlerde uniformluğun bozulmasına neden olur.

Bütün bunlara rağmen büyük deformasyonların meydana geldiği deprem hareketlerinin incelenmesinde başarıyla kullanılan aletlerdir.

## 2. Büyük Ölçekli Basit Kesme Deneyi

Yumuşak killerin dinamik özelliklerinin tayini küçük ölçekli aletlerle yapılmadığı için büyük ölçekli basit kesme aletleri getirilmiştir (Şekil 10).



**Şekil 10. Büyük ölçekli basit kesme deneyi**

Blok gevşelikte hazırlanan numunenin üst kısmında vibrasyonlu bir aktuatör bulunmaktadır. Aletin tabanı sabittir. Kovacs (1968) yaptığı deneylerde 30x30 cm boyuttunda 15 cm. yüksekliğinde yoğunlaşmış zemin numuneleri kullanmıştır.

Bu teknikle zemin ya serbest titreşime tabi tutulur veya deformasyona maruz bırakılır. Serbest titreşim uygulanması halinde dayanaksız zemin bloğuna yanal doğrultuda önceden tayin edilen miktar kadar deformasyon verilerek serbestce titresmeye bırakılır. Yer değiştirmenin sona erisi bir LVDT (Yer değiştirme transdükktörü) veya ivme ölçer ile ölçülür. Titreşimlere ait teorinin yardımıyla G kayma modülü elde edilebilir, Jacobsen ve Ayre (1958).

Titreşimin ilk modu için kayma modülü.

$$G = \frac{24 \gamma H^2}{g \cdot T^2} \quad (2)$$

bağıntısıyla hesaplanır. Burada

$\gamma$  = Zeminin birim hacim ağırlığı ( $\text{gr}/\text{cm}^3$ )

$H$  = Zemin blokunun yüksekliği (cm)

$g$  = Yerçekimi ivmesi ( $\text{cm}/\text{sn}^2$ )

$T$  = Serbest titreşimin peryodu (sn) dir.

Diger metotta ise zemin blokunun üst yüzüne iletirilmiş olan aktuatör yardımıyla blok yanal doğrultuda istenilen sayıda titreşime tabi tutulur. Kayma kuvveti yük hücresi (load-cell) ve yerdeğiştirme, transdükktör (LVDT), yardımıyla ölçülür. Kayma modülü küçük boyutlu aletlerde olduğu gibi gerilme-deformasyon eğrisinin eğiminden hesaplanır.

Bu deneylerde, 30x30 cm boyutunda örselenmemiş numune elde edilmesi mümkün olmadığı için kayma modülleri yoğunluklu numunelerde yapılan deneylerle elde edilir.

### III. Dinamik Burulmalı Kesme Deneyleri

Zeminlerin kayma modülünün elde edilmesinde kullanılan son on yıl içinde üç değişik tip dinamik burulmalı kesme aleti geliştirilmiştir. Bunlardan ikisinde zemin numunesine burulmalı dinamik yükler uygulanır, üçüncü de ise numune başlangıçta burulmaya tabi tutulduktan sonra serbestçe titresmeye bırakılır (Şekil 11 a, b, c.)

(Şekil 11 a) da Hardin ve Drnevich (1970) tarafından geliştirilmiş deprem sırasında meydana gelebilen nitelikde hem çok küçük hemde büyük kayma deformasyonları ölçülebilir burulmalı kesme deneyi görülmektedir. Bu deneyde yaklaşık 1.27 cm et kalınlığında uzun içi boş zemin silindiri istenilen deformasyon seviyesinde 1/12 frekansında (sanlıyede devir sayısı) yavaşça burulur. Meydana gelen yük-deformasyon bağıntısı kaydedilir. Kayma modülü öncüklerde olduğu gibi histerizis ilminin uçtan, uca eğiminden kolayca hesaplanabilir. Atalet kuvvetlerinin ölçülen gerilme-deformasyon bağıntılarını etkilememesi için düşük frekans kullanılmıştır. Örselenmemiş numuneyi deneye hazırlamakta zorluk çekilirse yoğunluklu numune ile deney yapılabilir.

Diğer bir tip burulmalı yükleme deneyi (Şekil 11 b) de görülmektedir. Zaavert (1967) tarafından geliştirilen ve her çeşit (örselenmiş, örselenmemiş) zemin de uygulanabilen bir deneydir. Başlangıçta içi dolu zemin silindiri bir ucundan burulur ve serbest titresime bırakılır. Silindirin burulan ucuna yerlestiren kütleler "bir serbestlik dereceli" bir sistem yaratırlar. Bu sisteme atalet kütleler, rıjittiği ise zemin sağlar. Numunenin serbest titresim sırasındaki frekansı ölçülür ve "bir serbestlik dereceli" sistemin tabii periyodu kullanılarak kayma modülü

$$G = \frac{W_{nc}^2 \cdot K}{1 - \frac{W_{nc}^2}{W_{ni}^2}} \quad (3)$$

bağıntısıyla hesaplanır. Burada;

$$W_{nc} = \frac{W_{dc}}{1 - D_c^2}, \quad W_{ni} = \frac{W_{di}}{1 - D_i^2}$$

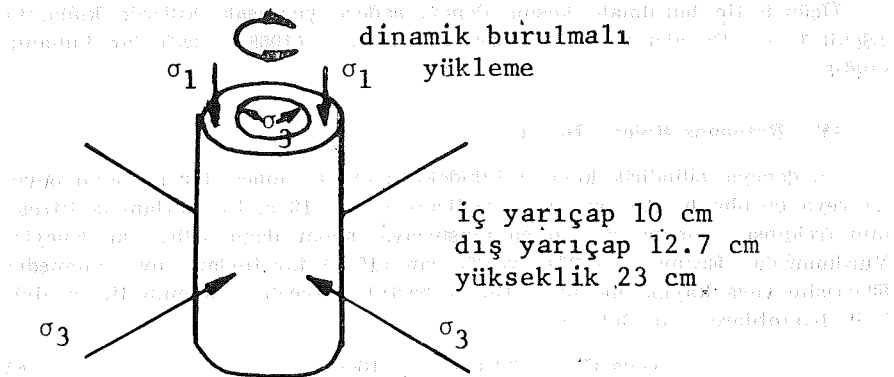
dir. Bu bağıntılarda

$K$  = Sistemin geometrisine bağlı bir karakteristik

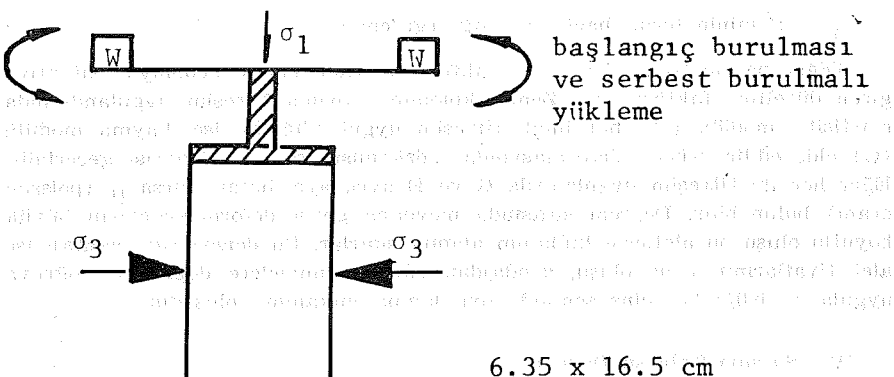
$W_{ni}$  = Hem aletin (i), hemde sistemin (c) tabii frekansı

$D$  = Hem aletin (i), hemde sistemin (c) kritik sönüm oranı.

Bu anlatılan deneyde konvansiyonel üç eksenli hücresi kullanıldığı için bütün deneyler içinde en ekonomik ve kullanışlı olanıdır. Normal üç eksenli deneyime ait eleştiriler bu deneyler için de geçerlidir. Zaavert bu aletle yaklaşık % 0.2 ye kadar kayma deformasyonları uygulayabilmistiir.

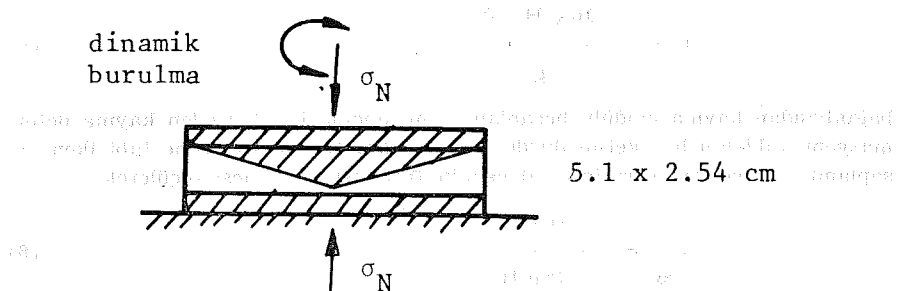


içi boş silindir  
a. düşük frekansta burulmalı  
dinamik yükleme



6.35 x 16.5 cm

b. burulmali kolon yükleme deneyi (serbest titresimli)



c. burulmalı konik tabla  
(sadece yumuşak killer için)

**Şekil 11.** Burulmalı kesme deneyleri

Üçüncü tip burulmalı kesme deneyi sadece yumuşak killerde kullanılır (Şekil 11 c). Bu alet ilk kez Krizek ve Franklin (1968) tarafından kullanılmıştır.

#### IV. Rezonans Kolonu Deneyi

Bu deneyle silindirik kolon şeklindeki zemin numunesi bir ucundan boyuna veya burulmalı titresimlerle titrestirilir (Şekil 12 a, b). Zorlanmış titresimin frekansı rezonans durumuna ulaşınca kadar değiştirilir. Bu deneyler Yurdumuzda Erguvanlı (1974) ve Tezcan (1974) tarafından uygulanmıştır. Elastisite veya kayma modülü "Bir serbestlik dereceli" sistemin titresimiyle ilgili bağıntılardan faydalananarak

$$E \text{ veya } G = 2.39 f^2 H^2 \cdot \gamma \cdot 10^{-5} \quad (4)$$

bağıntısıyla elde edilir. Burada,

$f$  = Rezonans frekansı ( $E$  için boyuna titresimin  $G$  için burulmalı titresimin) ( $H_z$ )

$H$  = Zemin silindirinin boyu (cm)

$\gamma$  = Zeminin birim hacim ağırlığı (gr/cm<sup>3</sup>)

Diger parametreler baslik ve kilifin ataletinin etkisi nedeniyle bağıntiya giren düzeltme faktörleridir. Zemin kolonuna boyuna titresim uygulandığında elastisite modülü ( $E$ ), burulmalı titresim uygulandığında ise kayma modülü ( $G$ ) elde edilir. Küçük deformasyonlar söz konusu ise (1) bağıntısı geçerlidir. Eğer her iki titresim uygulanırsa  $G$  ve  $E$  ayrı ayrı hesaplanırsa  $\mu$  (poisson crani) bulunabilir. Deprem sırasında meydana gelen deformasyonların büyük boyutlu oluşu bu aletlerin kullanım alanını sınırlar. Bu deneylerin avantajı ise alet fiyatlarının ucuz oluşu, sondajdan çıkan numunelere doğrudan doğruya uygulanabilirliği her cins zeminde uygulanma imkânının olusudur.

#### V. Sarsma Tablosu Deneyi

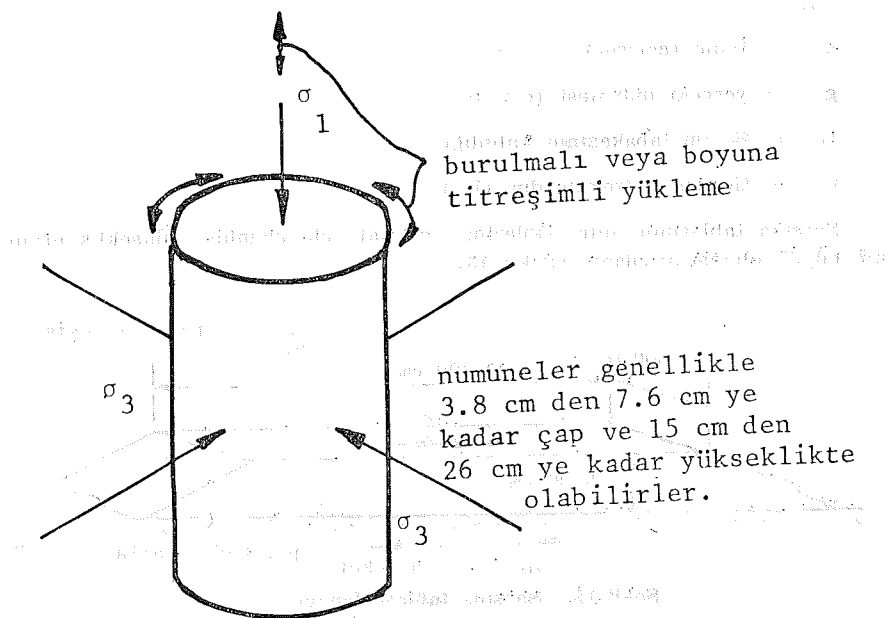
Serbest titresim uygulayarak yapılan bu deneylerde çok büyük boyutta numune gerektiğinden araştırma amaçları dışında çok az kullanılmıştır. Oncekkile killerin kayma modüllerinin tesbitinde kullanılmışlardır. Genel olarak kullanılması sırasında önce numune tabanı titrestirilir. Sonra titresim kesilerek sistemin davranışları tesbit edilir. İlk Modun frekansı ölçülerek,

$$G = \frac{16 \gamma H^2 \cdot f^2}{g} \quad (5)$$

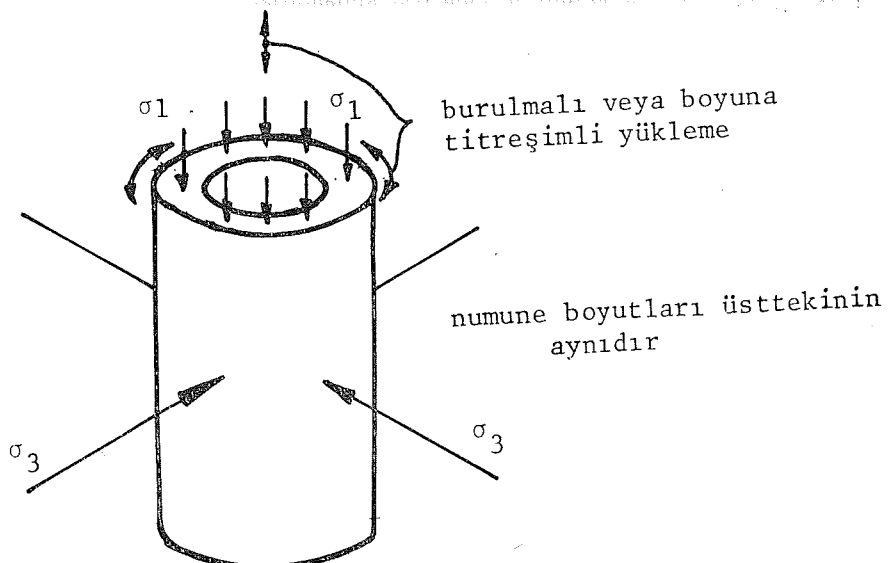
bağıntısından kayma modülü hesaplanır. Bu modüle tekabül eden kayma deformasyonu tabanın hareketini durdurmadan, yani sürekli titregime tabi iken hesaplanır. Bu peryod süresince titresimin frekansı ve ivmesi ölçülerek

$$\gamma_{xy} = \frac{81.7 a}{f^2 g H} \quad (6)$$

bağıntısından kayma deformasyonu hesaplanabilir. Burada;



açıklıkta nadiracıkta, genellikle 3.8 cm ile 7.6 cm arası  
en büyük a. içi dolu silindir. İncelemelerin eninde son 30'lu yıllarda  
etkinleştirilmiş, ölçümüne ilişkin çok fazla çalışma yapılmıştır. Bu tür testlerin  
yapılışına ve ölçümlerinin yapılmasına dair belirli bir standart mevcuttur. Bu  
testlerdeki teknolojilerin gelişmesiyle birlikte, geneldeki teknolojiyi



b. içi boş silindir

Şekil 12. Rezonans kolonu deneyleri

$\gamma_{xy}$  = Kayma deformasyonu (%)

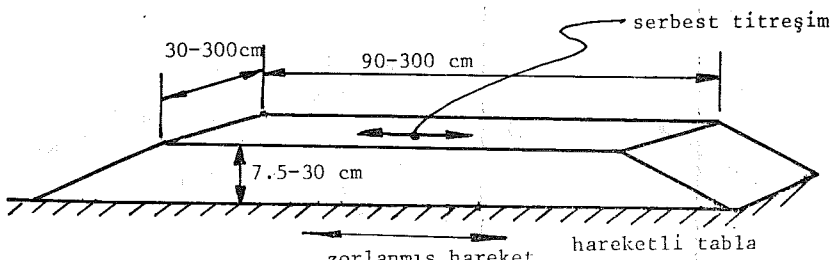
a = İvme (cm/sn<sup>2</sup>)

g = yerçekim imivmesi (cm/sn<sup>2</sup>)

H = Zemin tabakasının kalınlığı

f = titresimin frekansıdır. (Hz)

Sarsma tablasının sınır etkilerini azaltmak için uzunluk, yükseklik oranıın büyük olması arzulanır (Şekil 13).



Şekil 13. Sarsma tablası deneyi

Örneğin 30 cm. yüksekliğinde bir zemin numunesi kullanılacaksa tablanın boyunun 300 cm. olması arzulanır. Oysa bu boyutta uniform yoğunlukta numune hazırlamak oldukça zordur. Aynı zamanda numunenin doyurulması ve bu durumunu muhafaza etmesi de büyük zorluklar çıkarmaktadır. Bu nedenle bu tür deneyler sadece araştırma amacıyla kullanılırlar.

## REFERANSLAR

- Conserve, F.J., (1961). "Stress-Deformation Relations for soft Saturated Silt Under Low Frequency Oscillating Direct-Shear Forces", Special Technical Pub. No. 305, Symposium on Soil Dynamics, ASTM sf. 15.19
- Erguvanlı, A., (1975) "Kohezyonlu Zeminlerin Dinamik Özellikleri", Doktora Tezi, İ.T.Ü., İstanbul
- Hardin, B.O., Drnevich, V.P., (1970) "Shear Modulus and Damping in Soils" Soil mech. Series No. 1 Univ. of Ky., College of Eng.. Julv.
- Jacobsen, L.S., Ayre, R.S., (1958) "Engineering Vibrations", McGraw-Hill Book, Co, New York.
- Kovacs, W.D., Seed, H.B., and Chan, C.K., (1971) "Dynamic Moduli and Damping Ratios for a Soft Clay", Jour. of the soil mech. and Found. Div., ASCE, Vol 97. No. Sml, Jan., Sf. 59-75.
- Krizek, R.J., Franklin, A.G., (1968) "Torsional Shear Testing Technique for Dynamic Properties of Clay", Special Technical Pub. No. 450, Symposium on Vibration Effects of Earthquakes on Soils and Foundations, ASTM, Sf. 115-137.
- Özüdoğru, K.G., (1979) "Önceden Yüklenmiş Killerin Dinamik Davranışı" Doktora Tezi İ.T.Ü. İstanbul.
- Peacock, W.H., Seed, H.B., (1968) 'Sand Liquefaction Under Cyclic Loading Simple Shear Conditions" Jou. of the soil Mech. and Found. Div., ASCE, Vol. 94, No. SM3 May. sf. 689-708.
- Tezcan, S., (1974) "Toprak Barajlarının Deprem Analizi" Boğaziçi Üniversitesi Yayınları B.Ü.-74-33/001.
- Thiers, G.R., Seed., H.B., (1968) "Cyclic Stress-strain characteristics of Clay", Jour. of the soil mech. and Found. Div., ASCE, Vol 94, No. SM2, Mar., sf. 555-569.
- Toğrol, E., Özüdoğru, K., Güler, E., (1977) "Kohezyonlu Zeminlerin Tekrarlı Yükler altındaki Davranışı", TUBİTAK VI. Bilim Kongresi, Mühendislik araştırma grubu tebliğleri (İnşaat seksiyonu) Sf. 993-1000.
- Zeavert, L., (1967) "Free Vibration Torsion Tests to Determine the Shear Modulus of Elasticity on Soils", Proc. 3rd Panamerican Conf. on Soil Mech. and Found. Eng., Caracas, vol. 1. Sf. 111-129.

